

#### Instituto de Física Téorica Universidade Estadual Paulista

DISSERTAÇÃO DE MESTRADO

IFT-D.008/10

## Modelagem Estocástica de Opções de Câmbio no Brasil: Aplicação de Transformada Rápida de Fourier e Expansão Assintótica ao Modelo de Heston

André Borges Catalão

Orientador

Prof. Dr. Rogério Rosenfeld

Outubro de 2010

To achieve greatness, start where you are, use what you have, do what you can.

Arthur Ashe

Aos meus avós, Ida e Álvaro, e à minha esposa, Silvana.

## Agradecimentos

Agradeço inicialmente aos meus familiares e amigos, em especial minha esposa, Silvana, pelo constante apoio e carinho.

Agradeço também aos professores e colegas do IFT pelos ensinamentos e pelas agradáveis discussões de física e de ciência em geral.

Agradeço especialmente ao professor Rogério Rosenfeld pela excelente orientação, pela atenção e pela constante disposição em ensinar.

### Resumo

Neste trabalho estudamos a calibração de opções de câmbio no mercado brasileiro utilizando o processo estocástico proposto por Heston [Heston, 1993], como uma alternativa ao modelo de apreçamento de Black e Scholes [Black e Scholes,1973], onde as volatilidades implícitas de opções para diferentes preços de exercícios e prazos são incorporadas ad hoc. Comparamos dois métodos de apreçamento: o método de Carr e Madan [Carr e Madan, 1999], que emprega transfomada rápida de Fourier e função característica, e expansão assintótica para baixos valores de volatilidade da variância. Com a finalidade de analisar o domínio de aplicabilidade deste método, selecionamos períodos de alta volatilidade no mercado, correspondente à crise subprime de 2008, e baixa volatilidade, correspondente ao período subsequente. Adicionalmente, estudamos a incorporação de swaps de variância para melhorar a calibração do modelo.

**Palavras-Chaves**: volatilidade estocástica; processos estocásticos; modelo de Heston; modelo de Black e Scholes; expansão assintótica; função característica; transformada rápida de Fourier; swap de variância.

Área do conhecimento: Processos estocásticos; Finanças.

### Abstract

In this work we study the calibration of forex call options in the Brazilian market using the stochastic process proposed by Heston [Heston, 1993], as an alternative to the Black and Scholes [Black e Scholes,1973] pricing model, in which the implied option volatilities related to different strikes and maturities are incorporated in an ad hoc manner. We compare two pricing methods: one from Carr and Madan [Carr e Madan, 1999], which uses fast Fourier transform and characteristic function, and asymptotic expantion for low values of the volatility of variance. To analyze the applicability of this method, we select periods of high volatility in the market, related to the subprime crisis of 2008, and of low volatility, correspondent to the following period. In addition, we study the use of variance swaps to improve the calibration of the model.

# Sumário

1	Intr	odução	1		
	1.1	Introdução	. 1		
	1.2	Conceitos de mercado de opções	. 3		
	1.3	Conceitos de Processos Estocásticos	. 5		
<b>2</b>	O N	odelo de Black e Scholes	11		
	2.1	Introdução	. 11		
	2.2	As hipóteses de Black e Scholes	. 11		
		2.2.1 O Processo log-normal	. 12		
		2.2.2 A Equação de Black e Scholes	. 13		
		2.2.3 Função Característica de Black e Scholes	. 15		
		2.2.4 Desvios do Modelo de Black e Scholes	. 17		
3	O Modelo de Heston				
	3.1	Introdução	. 20		
	3.2	Modelo de Volatilidade Estocástica	. 20		
	3.3	Equação Diferencial para Função Característica	. 21		
	3.4	Função Característica	. 23		
		3.4.1 Equação para D	. 25		
		3.4.2 Equação para C	. 27		
4	Apı	cçamento de Opções via Funções Características	30		
	4.1	Introdução	. 30		
	4.2	O Formalismo de Carr e Madan	. 30		
	4.3	Método de Gauss-Legendre	. 33		
		4.3.1 Aplicação do Formalismo de Carr e Madan ao Modelo de Black			
		e Scholes	33		

5	$\mathbf{E}\mathbf{x}\mathbf{p}$	oansões Assintóticas em Heston		35		
	5.1	Introdução		35		
	5.2	Equações Envolvidas		35		
		5.2.1 Equação Diferencial		36		
		5.2.2 Equação Diferencial Modificada		40		
	5.3	Expansão Assintótica		42		
		5.3.1 Resumo das Equações Diferenciais		50		
		5.3.2 Solução da equação para $\tilde{C}^{(0)}$		51		
		5.3.3 O Modelo de Heston (Raiz Quadrada)		52		
	5.4	Comparação Entre o Método de Transformada Rápida de Fourier	е о			
		Método de Expansão Assintótica		58		
6	Swc	aps de Variância		61		
	6.1	Introdução		61		
	6.2	Swaps de Variância: Definição		61		
	6.3	Modelo Log-normal		63		
		6.3.1 Replicação Estática de Log-Contrato		64		
		6.3.2 Preço do Contrato de Variância		66		
	6.4	Modelo de Heston		66		
7	Calibração 69					
	7.1	Introdução		69		
	7.2	Descrição de Dados		69		
	7.3	Procedimento de Calibração		70		
	7.4	Resultados de calibrações		74		
		7.4.1 Calibração Pelo Procedimento Carr e Madan de Apreçamo	ento	75		
		7.4.2 Calibração Pelo Método de Expansão Assintótica	de			
		Apreçamento		90		
		7.4.3 Gráficos de Superfície de Volatilidade Calibrados		104		
		7.4.4 Aplicação de Parâmetros Calibrados a Pontos Fora da Am	ostra	114		
		7.4.5 Aplicação do Método FFT ao Modelo de Black e Scholes		116		
8	Cor	nclusões	1	120		
a	Δná	àndicas	1	123		

## Capítulo 1

## Introdução

## 1.1 Introdução

Em 1973, Black e Scholes [Black e Scholes,1973] apresentaram seu trabalho seminal, que passou a ser referência para o apreçamento de contratos denominados de opções vanillas. Merton [Merton, 1973] também realizou contribuições ao modelo e, em 1997, por seus trabalhos em teoria de apreçamento de opções, dividiu o Prêmio Nobel de Economia com Scholes. Desde a publicação do modelo de Black e Scholes, vários trabalhos foram desenvolvidos levando em conta modificações das hipóteses deste modelo para incorporar fatos estilizados do mercado.

Essencialmente, o modelo de Black e Scholes incorpora características de processos estocásticos inerentes à Física ao comportamento de ativos financeiros, através da adoção do processo log-normal. Dentre as hipóteses de Black e Scholes, aquela que damos particular atenção neste trabalho é a que pressupõe a adoção de uma única volatilidade de ativo para quaisquer preços de exercício e prazos de vencimento da opção. Notamos que o mercado de opções utiliza diferentes valores de volatilidades para diferentes preços de exercício e prazos. Rubinstein [Rubinstein, 1994] aponta que durante a crise da bolsa de 1987 as opções de venda com preços de exercício menores eram mais caras que as de preço de exercício maior, revelando a necessidade de diferentes volatilidades implícitas no modelo. A incorporação de diferentes volatilidades implícitas para diferentes preços de exercício e prazos leva à definição de uma superfície de volatilidade implícita (preço de exercício x prazo x volatilidade), conhecida como "sorriso", ou smile.

A forma de se incorporar esta dependência da volatilidade com preços de exercício e prazo é a modificação do processo do ativo sob o qual a opção é apreçada, que no modelo de Black e Scholes é tomado como log-normal. Uma das

possibilidades é a introdução de saltos, ou jumps, onde podemos citar o trabalho de Merton [Merton, 1976] e Cox e Ross [Cox e Ross, 1975]. Uma segunda possibilidade é o uso de modelos de volatilidade estocástica. Nesta classe de modelos, um processo estocástico para volatilidade é adotado. Neste sentido, podemos citar os trabalhos de Heston [Heston, 1993], Stein e Stein [Stein e Stein, 1991], e Hull e White [Hull e White, 1987 e 1988]. Tanto Heston quanto outros trabalhos, como, por exemplo, Bakshi [Bakshi et al. 1997] e Bates [Bates, 1996], empregam transformada de Fourier para avaliar opções¹. No mercado brasileiro, Nobrega [Nobrega, 2003] calibra opções de dólar para os períodos 2002-2003; Cunha e Lemgruber [Cunha e Lemgruber, 2003] utilizam taxas de juros estocásticas. Além disso, Caticha et al [Caticha et al. 2005] apresentam um estudo para o índice IBOVESPA a respeito da aplicabilidade do modelo de Heston para várias escalas de tempo.

Neste trabalho empregamos o modelo de Heston em calibrações de opções de câmbio (FX) no mercado brasileiro no período da crise subprime de 2008 e período posterior, em 2009. Nosso intuito é empregar o procedimento de Carr e Madan [Carr e Madan, 1999] para a avaliação de opções de compra européias de câmbio através de transformada de Fourier e comparar os resultados com um segundo procedimento: expansão assintótica para baixos valores de volatilidade da variância. A vantagem da possibilidade de utilizar este método advém do fato de apresentar solução analítica fechada, mais rápida que os métodos de transformada de Fourier ou Monte Carlo. Uma outra novidade neste trabalho foi a introdução de swaps de variância na calibração, com o intuito de estabilizar os parâmetros obtidos no processo de calibração. Para tanto, como o mercado brasileiro não tem liquidez suficiente para estes ativos, geramos preços de swaps sinteticamente através do modelo de Demeterfi et al [Demeterfi et al, 1999].

Iniciamos o estudo apresentando, ainda neste capítulo, conceitos básicos do mercado de opções e o alguns conceitos de cálculo estocástico, tais como o lema de Ito e a definição de martingal. Em seguida, no capítulo 2, discutimos alguns aspectos do modelo de Black e Scholes, descrevendo suas hipóteses e apontando a necessidade de se introduzir a superfície de volatilidade, o que motiva a introdução de modelos alternativos, como os de volatilidade estocástica.

Passamos, então, no capítulo 3, ao modelo de Heston de volatilidade estocástica. Começamos descrevendo o processo do ativo e da volatilidade e deduzimos a equação diferencial para a função característica e sua solução. No capítulo 4, empregamos o

<sup>&</sup>lt;sup>1</sup>Referências adicionais, inclusive a revisões sobre trabalhos na área, podem ser encontradas em [Fouque et al., 2000], pg. 56-57.

método de Carr e Madan para obter a solução do modelo de Heston a partir da função característica. Tal solução apresenta-se na forma de uma integral, que pode ser resolvida por transformada rápida de Fourier. No capítulo 5, introduzimos o método de expansão assintótica, inicialmente de forma geral - possibilitando inclusive solução para os modelos de Hull e White [Hull e White, 1987] e Stein e Stein - e depois particularizando para o modelo de Heston. Neste capítulo também deduzimos a equação diferencial para uma opção apreçada sob o modelo de Heston.

No capítulo 6 estudamos os swaps de variância sob o modelo de Demeterfi et al, que incorpora as hipóteses de Black e Scholes, e depois sob volatilidade estocástica sob o modelo de Heston, com o intuito de utilizá-los na calibração, no capítulo 7. Neste capítulo comparamos resultados sob o procedimento de Carr e Madan e sob expansão assintótica. Também mostramos a aplicabilidade do procedimento de Carr e Madan ao modelo de Black e Scholes. O capítulo 8 conclui. O capítulo 9 apresenta apêndices com desenvolvimentos a serem utilizados na expansão assintótica, no swap de variância; além de conceitos sobre funções affine (empregadas na solução da equação diferencial da função característica).

## 1.2 Conceitos de mercado de opções

Nesta seção introduzimos alguns conceitos referentes ao mercado de derivativos, a serem utilizados ao longo deste trabalho<sup>2</sup>.

- contrato derivativo: ativo cujo preço depende do valor de outro (ativo-base, ou ativo-objeto, ou underlying) em determinada data. Exemplos são contratos futuros e opções;
- contrato futuro: contrato derivativo onde o comprador obrigatoriamente compra em uma data futura (T) o ativo-base a um preço pré-estabelecido  $(S_T)$  na data de negociação. O resultado em T é dado por:

$$Futuro(T) = (S_T - S(T)), \tag{1.1}$$

onde S(t) é o valor do ativo no instante t.

O valor estimado hoje (t) de uma cotação futura de moeda é dada por:

<sup>&</sup>lt;sup>2</sup>Para maiores detalhes, o leitor pode consultar Hull [Hull, 1993].

$$F_t = S_t \frac{f_{dom\acute{e}stico}(T)}{f_{estrangeiro}(T)}, \tag{1.2}$$

onde  $f_{doméstico}(T)$  é o fator de juros referente ao mercado local e  $f_{estrangeiro}(T)$  é o fator de juros referente à moeda estrangeira, ambos para o vencimento (T).

• opção de compra vanilla (call option): contrato derivativo que dá ao detentor o direito (não o dever) de comprar do emissor numa determinada data T um ativo-base  $(S_T)$  por um preço de exercício (ou strike, K) caso o preço do ativo-base esteja maior que o preço de exercício nesta data. O resultado do contrato é dado por:

$$Call(T) = max(S_T - K, 0). \tag{1.3}$$

• opção de venda vanilla ( $put\ option$ ): contrato derivativo que dá ao detentor o direito (não o dever) de vender ao emissor numa determinada data T um ativo-base ( $S_T$ ) por um preço de exercício (ou strike, K) caso o preço do ativo-base esteja menor que o preço do ativo-base nesta data. O resultado do contrato é dado por:

$$Put(T) = max(K - S_T, 0). \tag{1.4}$$

- exercício: ato de executar o direito sobre uma opção;
- ullet opções européias: opções cujo exercício só pode ocorrer no vencimento T;
- opções americanas: opções cujo exercício pode ocorrer em qualquer momento até o vencimento T;
- opções dentro do dinheiro (in the money): diz-se de uma opção em situação que há possibilidade de exercício. Para uma call (put), corresponde a momentos em que S > K (S < K), ou delta, dado pela equação (7.2), maior (menor) que cinqüenta;
- opções fora do dinheiro (out of the money): diz-se de uma opção em situação que não há possibilidade de exercício. Para uma call (put), corresponde a momentos em que S < K (S > K), ou delta, dado pela equação (7.2), menor (maior) que cinqüenta;

• opções no dinheiro (at the money): diz-se de uma opção em situação S = K, ou delta, dado pela equação (7.2), igual a cinqüenta.

A seguir apresentamos alguns conceitos sobre Cálculo Estocástico.

#### 1.3 Conceitos de Processos Estocásticos

Apresentamos nesta seção alguns conceitos de Cálculo Estocástico. Iniciamos com uma introdução sobre processos de Wiener<sup>3</sup>. Em seguida, definimos o conceito de martingal. Finalmente, introduzimos o lema de Ito para uma função dependente de uma variável estocástica e, em seguida, generalizamos para o caso de várias variáveis.

#### Processos de Wiener

Um processo de Wiener é um tipo de processo estocástico de Markov (onde somente o valor presente da variável é relevante para definir o passo seguinte) cujo comportamento pode ser entendido ao se considerar suas variações em pequenos intervalos de tempo.

Considere o intervalo de tempo  $\Delta t$  e a variação  $\Delta z$  de uma variável que segue o processo de Wiener. Suas propriedades são:

#### • Propriedade 1

 $\Delta z$  relaciona-se com  $\Delta t$  por

$$\Delta z = \epsilon \sqrt{\Delta t},\tag{1.5}$$

onde  $\epsilon$  é uma variável aleatória normal padrão. Logo,

$$\epsilon \sim N(0, 1). \tag{1.6}$$

• Propriedade 2

<sup>&</sup>lt;sup>3</sup>Vide, por exemplo, [Hull, 1993]

Os valores de  $\Delta z$  para quaisquer intervalos de tempo curtos são independentes. Assim, num período de tempo [0,T], com  $N=T/\Delta t$ ,

$$z(T) - z(0) = \sum_{i=1}^{N} \epsilon_i \sqrt{\Delta t}.$$
 (1.7)

A média, a variância e o desvio-padrão, respectivamente, são dados por:

$$\langle z(T) - z(0) \rangle = 0$$
 (1.8)

$$Var(z(T) - z(0)) = N\Delta t = T$$
(1.9)

$$\sigma(z(T) - z(0)) = \sqrt{Var(z(T) - z(0))} = \sqrt{T}.$$
(1.10)

Para um processo

$$dx = adt + bdz (1.11)$$

temos:

$$\langle dx \rangle = adt$$
 (1.12)

$$Var(dx) = b^2 dt (1.13)$$

$$\sigma(dx) = b\sqrt{dt}. ag{1.14}$$

Considere agora a integral estocástica:

$$\int bdz = 0. \tag{1.15}$$

Diante da equação 1.8, concluímos que seu valor esperado é zero:

$$\langle \int bdz \rangle = 0. \tag{1.16}$$

### Martingal e Mercados Completos

Considere o processo estocástico  $X=(X_t, t \geq 0)$  sobre um espaço de probabilidade  $\Omega$  e suponha que a informação, representada pela filtração  $\mathcal{F}_s$ , seja conhecida no instante  $s^4$ .

O processo estocástico  $X=(X_t, t \geq 0)$  é chamado de Martingal em tempo contínuo com respeito à filtração  $(\mathcal{F}_t, t \geq 0)$  (escrevemos  $(X, (\mathcal{F}_t))$  se

- $E[X_t] < \infty$  para qualquer  $t \ge 0$ ;
- X é adaptado a  $(\mathcal{F}_t)^5$ ;
- $E(X_t|\mathcal{F}_s) = X_s$  para qualquer  $0 \le s \le t$ .

A última condição significa que  $X_s$  é a melhor predição de  $X_t$ , dado  $\mathcal{F}_s$ . Não é difícil verificar que

$$E(Y_{n+1}|\mathcal{F}_n) = 0 \tag{1.17}$$

com

$$Y_{n+1} = X_{n+1} - X_n, (1.18)$$

onde n = 0, 1, ...

Associada ao processo martingal, uma medida martingal equivalente (MME) sobre a filtração  $\mathcal{F}_T$  é requerida para assegurar que possamos replicar uma carteira ou proteger um derivativo unicamente sob não arbitragem. Neste caso, o mercado é completo (existem ativos-contingentes, que pagam uma unidade monetária para cada estado possível da natureza em T) e estamos sob a condição risco-neutra. Em um mercado incompleto, a condição de não-arbitragem não é suficiente para apreçar um derivativo unicamente e, conseqüentemente, vários preços são possíveis. Adicionalmente, o teorema de Girsanov mostra que sob a condição risco-neutra, a tendência do processo de um ativo é a taxa livre de risco<sup>6</sup>.

<sup>&</sup>lt;sup>4</sup>Definições mais precisas sobre os conceitos aqui expostos podem ser encontradas em Mikosch [Mikosch, 1998].

<sup>&</sup>lt;sup>5</sup>Intuitivamente, um processo  $X=(X_t, t \geq 0)$  é adaptado a uma filtração  $(\mathcal{F}_t, t \geq 0)$  se os subconjuntos do espaço de probabilidade que possibilitam a realização do processo estão contidos na filtração  $(\mathcal{F}_t, t \geq 0)$ .

<sup>&</sup>lt;sup>6</sup>Veja, por exemplo, [Björk, 2004].

#### Lema de Ito

Sejam:

- x: variável aleatória;
- dx: pequena mudança sobre a variável aleatória x;
- G: função contínua, diferenciável da variável x;
- $\bullet$  dG: pequena variação da função G.

Gostaríamos de escrever G como um processo estocástico na forma (1.11), ou seja:

$$dG = (.)dt + (.)dz. (1.19)$$

Sabemos da expansão de Taylor:

$$dG = \frac{\partial G}{\partial x}dx + \frac{1}{2}\frac{\partial^2 G}{\partial x^2}(dx)^2 + \dots$$
 (1.20)

e, se G depende de x e y:

$$dG = \frac{\partial G}{\partial x}dx + \frac{1}{2}\frac{\partial^2 G}{\partial x^2}(dx)^2 + \frac{\partial G}{\partial y}dy + \frac{1}{2}\frac{\partial^2 G}{\partial y^2}(dy)^2 + \frac{\partial^2 G}{\partial x \partial y}(dxdy) + \dots$$
 (1.21)

Um derivativo é uma função de uma variável (ativo-base) que segue um processo estocástico. Queremos estender (1.21) para abranger tais funções. Suponha que a variável x siga um processo de Ito:

$$dx = a(x,t)dt + b(x,t)dz. (1.22)$$

e G é uma função de x e t. Por (1.21), temos:

$$dG = \frac{\partial G}{\partial x}dx + \frac{1}{2}\frac{\partial^2 G}{\partial x^2}(dx)^2 + \frac{\partial G}{\partial t}dt + \frac{1}{2}\frac{\partial^2 G}{\partial t^2}(dt)^2 + \frac{\partial^2 G}{\partial x \partial t}(dxdt) + \dots$$
 (1.23)

O processo (1.22) pode ser escrito como

$$dx = a(x,t)dt + b(x,t)\epsilon\sqrt{dt}.$$
(1.24)

Logo,

$$(dx)^2 = b^2 \epsilon^2 dt + \mathcal{O}(> dt). \tag{1.25}$$

Então, o termo em  $dx^2$  tem uma dependência em dt que tem que ser considerada quando computamos (1.23) ao considerar temos que permitam escrevê-la na forma de um processo do tipo (1.19). Desta forma,

$$dG = \left(\frac{\partial G}{\partial x}a + \frac{1}{2}\frac{\partial^2 G}{\partial x^2}b^2 + \frac{\partial G}{\partial t}\right)dt + \frac{\partial G}{\partial x}bdz. \tag{1.26}$$

#### Generalização do Lema de Ito

Podemos generalizar o resultado (1.26) para uma função G que dependa de várias variáveis estocásticas do tipo (1.22). Indexando tais variáveis por i:

$$dx_i = a_i dt + b_i dz_i, (1.27)$$

ou ainda,

$$dx_i = a_i dt + b\epsilon_i \sqrt{dt}. (1.28)$$

A expansão de Taylor é

$$dG = \sum_{i} \frac{\partial G}{\partial x_{i}} dx_{i} + \frac{1}{2} \sum_{i,j} \frac{\partial^{2} G}{\partial x_{j} \partial x_{i}} (dx_{j} dx_{i})^{2} + \frac{\partial G}{\partial t} dt + \frac{1}{2} \sum_{i} \frac{\partial^{2} G}{\partial x_{i} \partial t} dt dx_{i} + \dots$$
 (1.29)

Para (1.28), temos

$$\lim_{\Delta t \to 0} (\Delta x_i)^2 = b_i^2 dt \tag{1.30}$$

$$\lim_{\Delta t \to 0} (\Delta x_i \Delta x_j) = \rho_{ij} b_i b_j dt, \qquad (1.31)$$

o que nos leva à

$$dG = \left(\sum_{i} \frac{\partial G}{\partial x_{i}} a_{i} + \frac{1}{2} \sum_{i,j} \frac{\partial^{2} G}{\partial x_{j} \partial x_{i}} \rho_{ij} b_{i} b_{j} + \frac{\partial G}{\partial t}\right) dt + \sum_{i} \frac{\partial G}{\partial x_{i}} b_{i} dz_{i}.$$
 (1.32)

No próximo capítulo descrevemos o modelo de Black e Scholes.

## Capítulo 2

## O Modelo de Black e Scholes

## 2.1 Introdução

Em 1973, Merton, Black e Scholes apresentaram uma equação diferencial para o preço de derivativos dependentes de ações que não pagassem dividendos, resultando em fórmulas fechadas para o apreçamento de opções européias de compra e venda sobre ações. Tal modelo aplica-se também às opções sobre moedas, mais precisamente descrito na formulação de Garman e Kohlhagen [Garman e Kohlhagen, 1983]. Iniciamos este capítulo enumerando as hipóteses do modelo e apresentamos, em seguida, de forma suscinta, o modelo de Black e Scholes para o apreçamento de contratos de opções européias de compra e venda. Apresentamos também a função característica para o modelo, a ser utilizada posteriormente no procedimento de Carr e Madan para apreçar opções de compra européias (além do que faremos para o modelo de Heston). Depois, enfatizamos a necessidade de se introduzir uma superfície de volatilidade de forma ad-hoc caso as hipóteses sobre o processo sejam mantidas, abrindo caminho para o modelo de Heston, onde esta superfície surge naturalmente.

### 2.2 As hipóteses de Black e Scholes

As hipóteses sob as quais o modelo de Black e Scholes é formulado são:

- 1. O ativo-base segue um processo log-normal;
- 2. A venda a descoberto de ativos é permitida;
- 3. Não há custos de transações e os ativos são negociáveis em qualquer volume;

- 4. Não há dividendos pagos pelo ativo-base durante o período de vigência do contrato derivativo;
- 5. Não há oportunidades de arbitragem;
- 6. A negociação e o hedge são contínuos;

### 2.2.1 O Processo log-normal

A primeira hipótese sob o modelo de Black e Scholes é a de que o ativo-base S segue um processo log-normal, com tendência constante  $\mu$  e volatilidade constante  $\sigma$ . Ou seja,

$$dS_t = S_t \mu dt + S_t \sigma dW_t, \tag{2.1}$$

onde  $W_t$  é um processo de Wiener<sup>1</sup>.

Aplicando o lema Ito para uma variável  $x_t = lnS_t$ , o processo é<sup>2</sup>:

$$dx_t = \left(\mu - \frac{\sigma^2}{2}\right)dt + \sigma dW_t. \tag{2.2}$$

Assim, a mudança em  $x_t$  entre hoje (t) e o vencimento (T) é normalmente distribuído com média  $\left(\mu - \frac{\sigma^2}{2}\right)(T-t)$  e variância  $\sigma^2(T-t)$ . De outra maneira, a mudança de  $lnS_t$  para  $lnS_T$  no intervalo T-t segue

$$lnS_T - lnS_t \sim N\left(\left(\mu - \frac{\sigma^2}{2}\right)(T - t), \sigma\sqrt{(T - t)}\right),$$
 (2.3)

ou

$$lnS_T \sim N\left(lnS_t + \left(\mu - \frac{\sigma^2}{2}\right)(T - t), \sigma\sqrt{(T - t)}\right).$$
 (2.4)

Desta maneira, a incerteza sobre lnS depende da raiz quadrada do tempo ao vencimento em consideração.

<sup>&</sup>lt;sup>1</sup>Veja a introdução sobre processos de Wiener, martingais e lema de Ito no capítulo 1.

<sup>&</sup>lt;sup>2</sup>Veja equação 6.7 para esta dedução.

#### 2.2.2 A Equação de Black e Scholes

A equação diferencial de Black e Scholes deve ser satisfeita para o preço de qualquer derivativo f sobre um ativo-base (ações ou câmbio, por exemplo) que não pague dividendos. Em uma de suas possíveis derivações, uma carteira  $\Pi$  (portfolio) sem risco é constituída a partir de uma posição no derivativo f e uma posição  $\Delta$  no ativo-base (S), que será o responsável por tornar a carteira livre de risco. Matematicamente, temos<sup>3</sup>:

$$\Pi = f + \Delta S. \tag{2.5}$$

Se tanto o ativo-base quanto o derivativo estão sob influência das mesmas fontes de incertezas, o retorno de tal carteira sem risco iguala-se à taxa de retorno livre de risco da economia, para que não haja arbitragem. Tal equação é:

$$\frac{\partial f}{\partial t} + rS\frac{\partial f}{\partial S} + \frac{1}{2}\sigma^2 S^2 \frac{\partial^2 f}{\partial S^2} = rf.$$

Conforme mencionado, a variação do preço do ativo-base segue a equação (2.1). Já o derivativo, dependente do ativo-base (S) e do tempo (t), tem uma variação dada pelo lema de Ito<sup>4</sup>:

$$df = \frac{\partial f}{\partial t}dt + \frac{\partial f}{\partial S}dS + \frac{1}{2}\frac{\partial^2 f}{\partial S^2}(dS)^2 + \mathcal{O}(dt^2)$$

$$= \frac{\partial f}{\partial t}dt + \frac{\partial f}{\partial S}\mu Sdt + \frac{\partial f}{\partial S}\sigma SdW_t + \frac{1}{2}\frac{\partial^2 f}{\partial S^2}(\sigma S)^2 dt + \mathcal{O}(dt^2)$$

$$= \left(\frac{\partial f}{\partial t} + \frac{\partial f}{\partial S}\mu S + \frac{1}{2}\frac{\partial^2 f}{\partial S^2}(\sigma S)^2\right)dt + \frac{\partial f}{\partial S}\sigma SdW_t + \mathcal{O}(dt^2). \tag{2.6}$$

Assim, ao impor que a carteira dada pela equação (2.5) seja livre de risco, queremos que sua variação resulte em uma renda fixa, isto é, em um investimento que rende juros livres de risco. Do contrário, poderíamos criar uma estratégia onde financiar-nos-íamos em renda fixa (se esta estiver a um preço menor que a carteira) e compraríamos a carteira livre de risco, e vice-versa. Então, dado um redimento à taxa de juros livre de risco em moeda doméstica r para um ativo denominado em

<sup>&</sup>lt;sup>3</sup>O leitor interessado pode consultar, por exemplo, [Hull, 1993], seção 10.7.

<sup>&</sup>lt;sup>4</sup>Apresentamos o lema de Ito no Capítulo 1, segundo [Hull, 1993].

moeda local (como é o caso da opção) e um rendimento dado pelo diferencial de taxas  $r - r_f$  para um ativo denominado em moeda estrangeira, resulta:

$$d\Pi = rfdt + (r - r_f)\Delta Sdt. \tag{2.7}$$

Por outro lado,

$$d\Pi = df + \Delta dS, \tag{2.8}$$

onde df é dado por (2.6) e dS é dado por (2.1), de forma que, juntando (2.7) e (2.8), e preservando os termos de primeira ordem em dt, temos:

$$\left(\frac{\partial f}{\partial t} + \frac{\partial f}{\partial S}\mu S + \frac{1}{2}\frac{\partial^2 f}{\partial S^2}(\sigma S)^2\right)dt + \frac{\partial f}{\partial S}\sigma SdW_t + \Delta(S_t\mu dt + S\sigma dW_t)$$

$$= rfdt + (r - r_f)\Delta Sdt \tag{2.9}$$

$$\left(\frac{\partial f}{\partial t} + \frac{\partial f}{\partial S}\mu S_t + \frac{1}{2}\frac{\partial^2 f}{\partial S^2}(\sigma S)^2 + \Delta S\mu - rf - \Delta(r - r_f)S\right)dt + \left(\frac{\partial f}{\partial S}\sigma S + \Delta\sigma S\right)dW_t = 0.$$
(2.10)

Para eliminar o risco, expresso no termo  $dW_t$ , determinamos a quantidade  $\Delta$ :

$$\Delta = -\frac{\partial f}{\partial S}.\tag{2.11}$$

Assumindo que estamos na medida livre de risco, a tendência do processo dado pela equação (2.1) é dado por  $\mu = r - r_f$ . Resta, então, após substituir esta quantidade no termo dt em (2.10):

$$\frac{\partial f}{\partial t} + \frac{1}{2} \frac{\partial^2 f}{\partial S^2} (\sigma S)^2 + \frac{\partial f}{\partial S} (r - r_f) S - r f = 0.$$
 (2.12)

Esta é a equação diferencial de Black e Scholes para um derivativo, dentro das hipóteses enumeradas acima. Ela pode ser transformada numa equação do calor da Física, onde S é análogo ao espaço<sup>5</sup>.

 $<sup>{}^{5}\</sup>mathrm{A}$  seqüência de transformações pode ser encontrada em [Wilmott, 1998].

Considere, portanto, como derivativo f a ser apreçado uma opção de compra européia C de strike K, que no seu vencimento paga

$$C_T = max(S_T - K, 0).$$
 (2.13)

Neste caso, (2.13) é vista como uma condição inicial para a equação (2.12). A solução da equação é:

$$C_t = SN(d_1) - Ke^{-r(T-t)}N(d_2),$$
 (2.14)

onde N é a função acumulada normal,  $d_1$  e  $d_2$  são dados por

$$d_{1} = \frac{\ln(F/K) + \frac{\sigma^{2}(T-t)}{2}}{\sigma\sqrt{T-t}}$$
 (2.15)

$$d_2 = d_1 - \sigma\sqrt{T - t},\tag{2.16}$$

e o futuro do ativo  $S_t$  é dado por  $F = S_t e^{(r-r_f)(T-t)}$ , com r a taxa doméstica contínua e  $r_f$  a taxa estrangeira contínua<sup>6</sup>. Para a opção de venda, que paga no vencimento

$$P_T = max(K - S_T, 0),$$
 (2.17)

a solução da equação é:

$$P_t = Ke^{-r(T-t)}N(-d_2) - SN(-d_1). (2.18)$$

#### 2.2.3 Função Característica de Black e Scholes

De forma geral, a função característica é a transformada de Fourier da função densidade de probabilidade da distribuição. Nesta seção deduzimos a função característica do modelo de Black e Scholes com o intuito de aplicar o formalismo de Carr e Madan para apreçar opções de compra européias sob este modelo, além da aplicação que faremos para o modelo de Heston.

Considere uma função  $\phi(x,t)$  (com T > t):

<sup>&</sup>lt;sup>6</sup>A função acumulada normal é dada por  $N(x) = \frac{1}{\sqrt{2\pi}} \int_0^x e^{-\frac{u^2}{2}} du$ 

$$\phi(x,t) = E[g(x(T)) \mid x(t)], \qquad (2.19)$$

onde a esperança é tomada na medida risco-neutra. Assim, consideramos  $\mu=r-r_f$  na equação 2.2 e aplicamos o Lema de Ito, coletando termos em primeira ordem em dt:

$$d\phi = \frac{\partial \phi}{\partial t}dt + \frac{\partial \phi}{\partial x}dx + \frac{1}{2}\frac{\partial^2 \phi}{\partial x^2}(dx)^2$$

$$= \frac{\partial \phi}{\partial t}dt + (r - r_f - \frac{1}{2}\sigma^2)\frac{\partial \phi}{\partial x}dt + \frac{1}{2}\sigma^2\frac{\partial^2 \phi}{\partial x^2}dt + \sigma\frac{\partial \phi}{\partial x}dW_t. \tag{2.20}$$

 $\phi$ é um martingal pela lei das expectativas iteradas, isto é:

$$E[\phi[x_t, t] | \mathcal{F}_s] = E\{E[g(x(T)) | \mathcal{F}_t] | \mathcal{F}_s\} = E[g(x(T)) | \mathcal{F}_s].$$
 (2.21)

Então  $d\phi$  também é martingal e devemos ter

$$E[d\phi] = 0. (2.22)$$

Tomando a esperança em 2.20, chegamos à equação diferencial para a função característica:

$$\frac{\partial \phi}{\partial t} + (r - r_f - \frac{1}{2}\sigma^2)\frac{\partial \phi}{\partial x} + \frac{1}{2}\sigma^2\frac{\partial^2 \phi}{\partial x^2} = 0.$$
 (2.23)

Sob a condição terminal:

$$\phi(x_T, T) = g(x). \tag{2.24}$$

Podemos escolher a função g como:

$$g(x) = e^{iux}. (2.25)$$

Isto torna  $\phi(x,t)$  a transformada de Fourier da função de densidade de probabilidade. Considerando que o processo 2.2 é *affine*, podemos escolher a solução na forma<sup>7</sup>:

<sup>&</sup>lt;sup>7</sup>Veja o Apêndice C no Capítulo 9.

$$\phi(x,\tau;u) = \exp(C(\tau;u) + iux), \tag{2.26}$$

com  $\tau = T - t$ . Tomando todas as derivadas em 2.23:

$$\phi_x = iu\phi$$

$$\phi_{xx} = -u^2 \phi$$

$$\phi_{\tau} = -C_{\tau}\phi.$$

Substituindo estes resultados em 2.23, e dividindo por  $\phi$  obtemos a equação diferencial:

$$i(r - r_f - \frac{\sigma^2}{2})u - \frac{\sigma^2}{2}u^2 - \frac{dC}{d\tau} = 0,$$
 (2.27)

com

$$C(\tau = 0) = 0. (2.28)$$

A solução desta equação é

$$C(\tau) = iu(r - r_f)\tau - \frac{1}{2}(u^2 + iu)\tau\sigma^2.$$
 (2.29)

Assim, a função característica de Black e Scholes é:

$$\phi(x,\tau;u) = \exp(iu(r - r_f)\tau + iux - \frac{1}{2}(u^2 + iu)\tau\sigma^2).$$
 (2.30)

O preço da opção de compra européia pode ser calculado pelas equações 4.8 e 4.10, conforme descrito no capítulo 4.

#### 2.2.4 Desvios do Modelo de Black e Scholes

Muitos derivativos são negociados e, portanto, apreçados, no mercado. Chama-se preço de mercado o preço obtido nesta situação e, adicionalmente, sempre que o preço de um derivativo é conhecido, pode-se computar a volatilidade implícita do modelo

de Black e Scholes. Verifica-se que há desvios entre os preços de mercado e os preços obtidos pelo modelo de Black e Scholes, levando à adoção de modificações no modelo. Nesta seção discutimos algumas delas, relativas à taxa de juros e volatilidade, sendo que, para esta última, procuramos motivar a adoção do modelo de Heston como uma possível solução do problema.

Inicialmente, notamos na solução da equação de Black e Scholes (2.14) que as variáveis taxa de juros r e volatilidade  $\sigma$  são constantes. Contudo, usualmente adotase a dependência temporal nestas variáveis, podendo ser de forma determinística ou estocástica. Enquanto as formulações estocásticas adotam um processo ad-hoc para a variável em questão, as formulações determinísticas procuram meios alternativos para ajustar as variáveis a dados de mercado.

No caso da formulação determinística da taxa de juros, emprega-se a estrutura a termo da taxa de juros<sup>8</sup>. Já no caso da volatilidade, para incorporar a dependência temporal de forma determinística, utiliza-se a superfície de volatilidade, obtida implicitamente a partir de preços de mercado, conhecida como smile. Uma característica adicional sobre a volatilidade, presente no smile, é que, além da dependência temporal, há uma dependência com relação ao preço de exercício (strike, denotado por K). Assim, o smile é uma superfície  $\sigma(K,T)$  com uma forma em geral diferente de uma reta, prevista pelo modelo original de Black e Scholes (vide figura 1).

Rubinstein apresenta exemplos de *smiles* de volatilidade para o índice de ações S&P500 da bolsa americana em 1987:

"One is tempted to hypothesize that the stock market crash of October 1987 changed the way market participants viewed index options. Out-of-the-money puts ... became valued much more highly, eventually leading to the ... situation where low striking price options had significantly higher implied volatilities than the high striking price options. The market's pricing of options since the crash seems to indicate an increasing "crash-o-phobia"..."

Vemos que, num mercado pessimista, a crença de que havia uma tendência de queda de preços de ações levou à procura por opções de venda (puts) fora do dinheiro (out-of-the-money), que correspondem a valores de preços de exercício baixos.

Portanto, a superfície de volatilidade surge como uma forma de fazer a solução de Black e Scholes corresponder a dados de mercado. Como mencionamos, uma

<sup>&</sup>lt;sup>8</sup>No Brasil representada pela curva de juros pré-fixados advinda dos futuros de DI.

#### Superfície de Volatilidade 31-dez-2008: Preço de Exercício (delta%) X Volatilidade

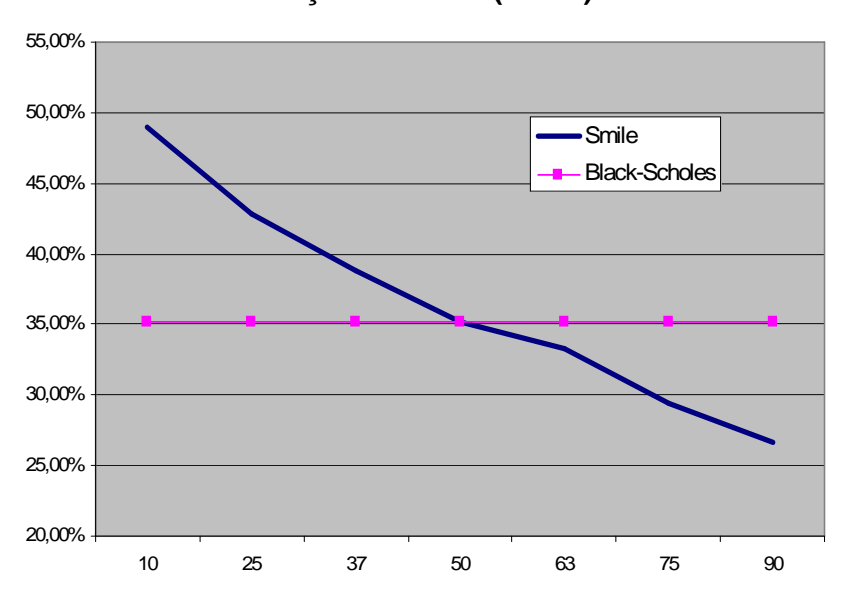


Figura 2.1: Superfície de volatilidade: comparação entre aquela prevista por Black e Scholes e a praticada pelo mercado.

outra forma de se obter uma volatilidade que dependa do preço do exercício e do tempo é introduzir um processo estocástico, tal como no procedimento adotado no modelo de Heston, ao qual nos voltamos no próximo capítulo.

## Capítulo 3

## O Modelo de Heston

## 3.1 Introdução

Neste capítulo apresentamos a formulação do modelo de Heston e sua representação em termos da função característica. Partimos das dinâmicas de preço e variância, construímos a equação diferencial de Kolmogorov avançada (ou de Fokker-Planck) através do lema de Ito e, aplicando a transformada de Fourier, chegamos à função característica.

### 3.2 Modelo de Volatilidade Estocástica

O modelo de Heston assume para o ativo à vista,  $S_t$ , um processo log-normal no instante t:

$$dS_t = S_t \mu dt + \sqrt{v_t} S_t dW_t^1, \tag{3.1}$$

onde  $dW_t^1$  é um processo de Wiener e  $\mu$  é a tendência (drift). Para o processo de volatilidade,  $\sqrt{v_t}$ , o modelo assume um processo do tipo Ornstein-Uhlenbeck:

$$d\sqrt{v_t} = -\beta\sqrt{v_t}dt + \delta dW_t^2, \tag{3.2}$$

onde  $dW_t^2$  é um processo de Wiener que apresenta correlação  $\rho$  com  $dW_t^1,$  de forma que

$$E[dW_t^1 dW_t^2] = \rho dt. (3.3)$$

Pode-se substituir a equação (3.2) por uma referente ao processo de variância  $v = g(t, W_t^2)^2$ , com  $g = \sqrt{v_t}(t, W_t^2)$ , aplicando o lema de Ito, colecionando termos de ordem não superiores a dt:

$$dv = 2g(t, W_t^2) \left( \frac{\partial g}{\partial t} dt + \frac{\partial g}{\partial W_t^2} dW_t^2 \right) + \frac{1}{2} \left\{ \left[ 2(\frac{\partial g}{\partial t})^2 + 2g \frac{\partial^2 g}{\partial t^2} \right] \underbrace{(dt)^2}_{O(dt^2)} + 2\left[ 2\frac{\partial g}{\partial t} \frac{\partial g}{\partial W_t^2} + 2g \frac{\partial^2 g}{\partial t \partial W_t^2} \right] \underbrace{dt dW_t^2}_{>O(dt)} + \left[ 2(\frac{\partial g}{\partial W_t^2})^2 + 2g \frac{\partial^2 g}{\partial (W_t^2)^2} \right] \underbrace{(dW_t^2)^2}_{O(dt)} \right\}$$

$$(3.4)$$

$$dv = 2 \times \sqrt{v} \left( \frac{\partial \sqrt{v}}{\partial t} dt + \frac{\partial \sqrt{v}}{\partial W_t^2} dW_t^2 \right) + \frac{1}{2} \left[ 2 \left( \frac{\partial \sqrt{v}}{\partial W_t^2} \right)^2 + 2 \times \sqrt{v} \underbrace{\frac{\partial^2 \sqrt{v}}{\partial (W_t^2)^2}}_{zero} \right] (dW_t^2)^2$$

$$= 2 \times \sqrt{v} \left( -\beta \sqrt{v} dt + \delta dW_t^2 \right) + \delta^2 dt \tag{3.5}$$

$$dv = (\delta^2 - 2\beta v) dt + 2\sqrt{v}\delta dW_t^2.$$
(3.6)

Reescrevemos esta equação na forma:

$$dv = \kappa (\theta - v) dt + \varepsilon \sqrt{v} dW_t^2, \qquad (3.7)$$

onde  $\kappa$  é a velocidade de reversão à média,  $\theta$  é a variância de longo prazo e  $\varepsilon$  é a volatilidade do processo de variância, comumente chamada de volatilidade da volatilidade. As equações (3.1) e (3.7) descrevem, portanto, um processo log-normal no ativo-base,  $S_t$ , e um processo de variância que reverte à uma média de longo prazo,  $\theta$ .

## 3.3 Equação Diferencial para Função Característica

Antes de prosseguir com a dedução da equação diferencial para uma função dependente de  $S_t$  e  $v_t$ , definimos  $x_t = lnS_t$  e, aplicando o lema de Ito em 3.1, temos (colecionando os termos que gerarão ordens de dt):

$$dx = \frac{\partial x}{\partial S}dS + \frac{1}{2}\frac{\partial^2 x}{\partial S^2}(dS)^2 = \frac{1}{S}dS - \frac{1}{2}\frac{1}{S^2}(\sqrt{v}SdW_t)^2 = (\mu - \frac{v}{2})dt + \sqrt{v}dW_t^1.$$
 (3.8)

Dado que  $x_t$  segue um processo risco-neutro,  $\mu = r - r_f$ , e escrevemos

$$dx = (r - r_f + u_1 v)dt + \sqrt{v}dW_t^1. \tag{3.9}$$

Também reescrevemos 3.7:

$$dv = (a - bv)dt + \varepsilon \sqrt{v}dW_t^2, \tag{3.10}$$

onde  $u_1 = -1/2$ ,  $a = \kappa \theta$ ,  $b = \kappa$ .

Considere uma função  $\phi(x, v, t)$  dada por (para um T > t):

$$\phi(x, v, t) = E[g(x(T), v(T)) \mid x(t), v(t)]. \tag{3.11}$$

Nosso objetivo agora é chegar à equação diferencial para  $\phi(x, v, t)$  e achar sua solução. Aplicando o lema de Ito a 3.11, temos:

$$d\phi = \frac{\partial \phi}{\partial t}dt + \frac{\partial \phi}{\partial x}dx + \frac{\partial \phi}{\partial v}dv + \frac{1}{2}\frac{\partial^2 \phi}{\partial x^2}(dx)^2 + \frac{1}{2}\frac{\partial^2 \phi}{\partial v^2}(dv)^2 + \frac{\partial^2 \phi}{\partial x \partial v}dxdv$$
$$= \frac{\partial \phi}{\partial t}dt + (r - r_f + u_1v)\frac{\partial \phi}{\partial x}dt + \sqrt{v}\frac{\partial \phi}{\partial x}dW_t^1 +$$
$$(a - bv)\frac{\partial \phi}{\partial v}dt + \varepsilon\sqrt{v}\frac{\partial \phi}{\partial v}dW_t^2 +$$

$$\frac{1}{2}(r - r_f + u_1 v)^2 \frac{\partial^2 \phi}{\partial x^2} (dt)^2 + 2\frac{1}{2}(r - r_f + u_1 v) \sqrt{v} \frac{\partial^2 \phi}{\partial x^2} dt dW_t^1 + \frac{1}{2} v \frac{\partial^2 \phi}{\partial x^2} (dW_t^1)^2 + \frac{1}{2} v \frac{\partial^2 \phi}{\partial x$$

$$\frac{1}{2}(a-bv)^{2}\frac{\partial^{2}\phi}{\partial v^{2}}(dt)^{2} + 2\frac{1}{2}(a-bv)\varepsilon\sqrt{v}\frac{\partial^{2}\phi}{\partial v^{2}}dtdW_{t}^{2} + \frac{1}{2}\varepsilon^{2}v\frac{\partial^{2}\phi}{\partial v^{2}}(dW_{t}^{2})^{2} + \varepsilon v\frac{\partial^{2}\phi}{\partial x\partial v}dW_{t}^{1}dW_{t}^{2}.$$
(3.12)

 $\phi$  é um martingal pela lei das expectativas iteradas, isto é:

$$E[\phi[x_t, v_t, t] | \mathcal{F}_s] = E\{E[g(x(T), v(T)) | \mathcal{F}_t] | \mathcal{F}_s\} = E[g(x(T), v(T)) | \mathcal{F}_s]. \quad (3.13)$$

Então  $d\phi$  também é martingal e devemos ter

$$E[d\phi] = 0. (3.14)$$

Tomando esperança em 3.12 (colecionando termos de primeira ordem em dt):

$$E(d\phi) =$$

$$\left[\frac{\partial \phi}{\partial t} + (r - r_f + u_1 v)\frac{\partial \phi}{\partial x} + (a - bv)\frac{\partial \phi}{\partial v} + \frac{1}{2}v\frac{\partial^2 \phi}{\partial x^2} + \frac{1}{2}\varepsilon^2 v\frac{\partial^2 \phi}{\partial v^2} + \rho\varepsilon v\frac{\partial^2 \phi}{\partial x \partial v}\right]dt.$$
(3.15)

O argumento de dt deve ser zero para termos 3.14. Então,

$$\frac{\partial \phi}{\partial t} + (r - r_f + u_1 v) \frac{\partial \phi}{\partial x} + (a - bv) \frac{\partial \phi}{\partial v} + \frac{1}{2} v \frac{\partial^2 \phi}{\partial x^2} + \frac{1}{2} \varepsilon^2 v \frac{\partial^2 \phi}{\partial v^2} + \rho \varepsilon v \frac{\partial^2 \phi}{\partial x \partial v} = 0. \quad (3.16)$$

Esta é a equação de avançada de Kolmogorov. A condição final é:

$$\phi(x_T, v_T, T) = g(x, v). \tag{3.17}$$

### 3.4 Função Característica

Se fizermos em 3.11

$$g(x,v) = e^{iux}, (3.18)$$

então  $\phi$  é a definição de função característica, pois esta é a transformada de Fourier da distribuição de probabilidade do processo, ou o valor médio de  $e^{iux}$ . Além disso,

a solução da equação 3.16 é a função característica. Devido ao fato de os processos 3.9 e 3.10 serem *affine*, podemos propor o formato da solução de 3.16 na forma<sup>1</sup>:

$$\phi(x, v, \tau; u) = \exp(C(\tau; u) + D(\tau; u)v + iux), \tag{3.19}$$

com  $\tau = T - t$ . Tomando todas as derivadas em 3.16<sup>2</sup>:

$$\phi_x = iu\phi$$

$$\phi_{xx} = -u^2 \phi$$

$$\phi_v = D\phi$$

$$\phi_{vv} = D^2 \phi$$

$$\phi_{xy} = iuD\phi$$

$$\phi_t = (C_t + vD_t)\phi.$$

Substituindo estes resultados em 3.16 e dividindo por  $\phi$ :

$$(C_t + vD_t) + iu(r - r_f + u_1v) + (a - bv)D - \frac{1}{2}vu^2 + \frac{1}{2}\varepsilon^2vD^2 + \rho\varepsilon viuD = 0.$$
 (3.20)

Reagrupando em dois termos, um dependente e outro independente de v:

$$v(-\frac{1}{2}u^2 + i\rho\varepsilon Du + \frac{1}{2}\varepsilon^2 D^2 + u_1 iu - bD + D_t) + (i(r - r_f)u + aD + C_t) = 0.$$
 (3.21)

Cada termo deve se anular. Desta forma, obtemos as equações diferenciais de Riccati:

<sup>&</sup>lt;sup>1</sup>Vide apêndice 9 para a definição de processos affine.

<sup>&</sup>lt;sup>2</sup>Aqui os sub-índices são derivadas.

$$-\frac{1}{2}u^{2} + i\rho\varepsilon uD + \frac{1}{2}\varepsilon^{2}D^{2} + iu_{1}u - bD + \frac{dD}{dt} = 0$$
 (3.22)

$$i(r - r_f)u + aD + \frac{dC}{dt} = 0 (3.23)$$

Utilizando  $\tau = T - t$ , obtemos:

$$\frac{1}{2}\varepsilon^2 D^2 + (i\rho\varepsilon u - b)D + \left(iu_1 u - \frac{1}{2}u^2\right) = \frac{dD}{d\tau}$$
(3.24)

$$i(r - r_f)u + aD = \frac{dC}{d\tau},\tag{3.25}$$

sujeitas às condições

$$C(0) = 0 \tag{3.26}$$

$$D(0) = 0. (3.27)$$

#### 3.4.1 Equação para D

De 3.24,

$$\frac{dD}{\frac{1}{2}\varepsilon^2 D^2 + D(i\rho\varepsilon u - b) + (iu_1u - \frac{1}{2}u^2)} = d\tau.$$
(3.28)

Reescrevemos o denominador, separando-o em dois termos. Para tanto, usamos as raízes advindas da equação de segundo grau associada ao denominador:

$$D = \frac{-(i\rho\varepsilon u - b) \pm \sqrt{(i\rho\varepsilon u - b)^2 - 4\frac{1}{2}\varepsilon^2(iu_1u - \frac{1}{2}u^2)}}{\varepsilon^2}$$
$$= \frac{(b - i\rho\varepsilon u) \pm \sqrt{(i\rho\varepsilon u - b)^2 - \varepsilon^2(2iu_1u - u^2)}}{\varepsilon^2}.$$
 (3.29)

Definamos

$$\hat{\phi} = \sqrt{(i\rho\varepsilon u - b)^2 - \varepsilon^2(2iu_1u - u^2)} \tag{3.30}$$

$$X^{+} = \frac{(b - i\rho\varepsilon u) + \hat{\phi}}{\varepsilon^{2}} \tag{3.31}$$

$$X^{-} = \frac{(b - i\rho\varepsilon u) - \hat{\phi}}{\varepsilon^{2}}$$
 (3.32)

$$\hat{g} = \frac{X^+}{X^-}. (3.33)$$

Então:

$$\frac{dD}{(D-X^+)(D-X^-)} = \frac{1}{2}\varepsilon^2 d\tau. \tag{3.34}$$

Separando esta equação em frações parciais:

$$\frac{A}{D-X^{+}} + \frac{B}{D-X^{-}} = \frac{1}{(D-X^{+})(D-X^{-})}$$

$$\Rightarrow A(D-X^{-}) + B(D-X^{+}) = 1$$

$$(A+B)D - (AX^{-} + BX^{+}) = 1$$

$$\Rightarrow A = -B$$

$$e A(X^{-} - X^{+}) = -1$$

$$\Rightarrow A = \frac{1}{X^{+} - X^{-}}.$$

Das definições de 3.31 e 3.32,

$$X^{+} - X^{-} = \frac{(b - i\rho\varepsilon u) + \hat{\phi}}{\varepsilon^{2}} - \frac{(b - i\rho\varepsilon u) - \hat{\phi}}{\varepsilon^{2}} = \frac{2\hat{\phi}}{\varepsilon^{2}}, \tag{3.35}$$

e de A e B:

$$A = \frac{\varepsilon^2}{2\hat{\phi}} \tag{3.36}$$

$$B = -\frac{\varepsilon^2}{2\hat{\phi}}. (3.37)$$

A equação 3.34 pode ser escrita como

$$\begin{split} \frac{\varepsilon^2 dD}{2\hat{\phi}(D-X^+)} - \frac{\varepsilon^2 dD}{2\hat{\phi}(D-X^-)} &= \frac{1}{2}\varepsilon^2 d\tau \\ \Rightarrow \frac{dD}{D-X^+} - \frac{dD}{D-X^-} &= \hat{\phi} d\tau. \end{split}$$

Portanto, integrando:

$$\ln(D - X^{+}) - \ln(D - X^{-}) = \hat{\phi}\tau + k, \tag{3.38}$$

onde k é uma constante que pode ser determinada mediante 3.27:

$$k = \ln(-X^+) - \ln(-X^-) = \ln\left(\frac{X^+}{X^-}\right) = \ln(\hat{g}).$$

Em 3.38,

$$\ln\left(\frac{D-X^{+}}{D-X^{-}}\right) = \hat{\phi}\tau + \ln\hat{g}$$
 
$$\frac{D-X^{+}}{D-X^{-}} = \hat{g}e^{\hat{\phi}\tau}$$
 
$$\Rightarrow D\left(1 - \hat{g}e^{\hat{\phi}\tau}\right) = X^{+} - \frac{X^{+}}{X^{-}}e^{\hat{\phi}\tau}X^{-}.$$

Finalmente,

$$D(\tau; u) = X^{+} \frac{1 - e^{\hat{\phi}\tau}}{1 - \hat{q}e^{\hat{\phi}\tau}}.$$
 (3.39)

### 3.4.2 Equação para C

Prosseguimos agora com a solução de 3.25, sujeita a 3.27. Iniciamos substituindo 3.39 em 3.25:

$$\frac{dC}{d\tau} = i(r - r_f)u + aX^{+} \frac{1 - e^{\hat{\phi}\tau}}{1 - \hat{q}e^{\hat{\phi}\tau}}$$
(3.40)

$$dC = i(r - r_f)ud\tau + aX^{+} \frac{1 - e^{\hat{\phi}\tau}}{1 - \hat{q}e^{\hat{\phi}\tau}}d\tau.$$
 (3.41)

Integremos primeiro o segundo termo de 3.41 fazendo a substituição  $x=e^{\hat{\phi}\tau}$  com  $dx=\hat{\phi}xd\tau$ 

$$\frac{1 - e^{\hat{\phi}\tau}}{1 - \hat{q}e^{\hat{\phi}\tau}}d\tau \to \frac{1 - x}{\hat{\phi}x(1 - \hat{q}x)}dx. \tag{3.42}$$

Separando em frações parciais:

$$\frac{A}{x} + \frac{B}{(1 - \hat{g}x)} = \frac{1 - x}{x(1 - \hat{g}x)}$$

$$A(1 - \hat{g}x) + Bx = 1 - x$$

$$\therefore A = 1 \tag{3.43}$$

$$-\hat{q} + B = -1 \Rightarrow B = \hat{q} - 1.$$
 (3.44)

Assim, integrando 3.42:

$$\frac{1}{\hat{\phi}} \int \frac{1-x}{x(1-\hat{g}x)} dx = \frac{1}{\hat{\phi}} \int \left(\frac{1}{x} + \frac{\hat{g}-1}{1-\hat{g}x}\right) dx = \frac{1}{\hat{\phi}} \left(\ln x - \left(\frac{\hat{g}-1}{\hat{g}}\right) \ln(1-\hat{g}x) + l\right)$$

$$= \tau - \frac{\hat{g} - 1}{\hat{g}\hat{\phi}} \ln\left(1 - \hat{g}e^{\hat{\phi}\tau}\right) + \hat{l},\tag{3.45}$$

onde l e  $\hat{l}$  são constantes. Integrando o primeiro termo de 3.41 e juntando 3.45:

$$C = i(r - r_f)u\tau + aX^+ \left(\tau - \frac{\hat{g} - 1}{\hat{g}\hat{\phi}} \ln\left(1 - \hat{g}e^{\hat{\phi}\tau}\right)\right) + m, \tag{3.46}$$

onde m é uma constante que determinaremos utilizando 3.27:

$$C(0) = -aX^{+}\frac{\hat{g}-1}{\hat{g}\hat{\phi}}\ln(1-\hat{g}) + m = 0$$

$$\therefore m = aX^{+} \frac{\hat{g} - 1}{\hat{g}\hat{\phi}} \ln (1 - \hat{g}).$$

Em 3.46,

$$C = i(r - r_f)u\tau + aX^+ \left(\tau - \frac{\hat{g} - 1}{\hat{g}\hat{\phi}}\ln\left(1 - \hat{g}e^{\hat{\phi}\tau}\right)\right) + aX^+ \frac{\hat{g} - 1}{\hat{g}\hat{\phi}}\ln\left(1 - \hat{g}\right)$$
$$C = i(r - r_f)u\tau + aX^+ \left(\tau - \frac{\hat{g} - 1}{\hat{g}\hat{\phi}}\ln\left(\frac{1 - \hat{g}e^{\hat{\phi}\tau}}{1 - \hat{g}}\right)\right).$$

Simplifiquemos o termo  $X^{+\frac{\hat{g}-1}{\hat{g}\hat{\phi}}}$  considerando 3.33 e 3.35:

$$X^{+} \frac{\hat{g} - 1}{\hat{g} \hat{\phi}} = X^{+} \frac{\frac{X^{+}}{X^{-}} - 1}{\frac{X^{+}}{X^{-}}} \frac{1}{\hat{\phi}} = \frac{X^{+} - X^{-}}{\hat{\phi}} = \frac{1}{\hat{\phi}} \frac{2\hat{\phi}}{\varepsilon^{2}} = \frac{2}{\varepsilon^{2}}.$$

Desta forma,

$$C(\tau; u) = i(r - r_f)u\tau + a\left(X^+\tau - \frac{2}{\varepsilon^2}\ln\left(\frac{1 - \hat{g}e^{\hat{\phi}\tau}}{1 - \hat{g}}\right)\right). \tag{3.47}$$

As equações 3.39 e 3.47 em 3.19 compõem a função característica do modelo de Heston. No próximo capítulo mostraremos como empregar tal função ao apreçamento de uma opção de compra sob o formalismo de Carr e Madan.

# Capítulo 4

# Apreçamento de Opções via Funções Características

### 4.1 Introdução

Iniciamos este capítulo apresentando o formalismo de Carr e Madan para o apreçamento de opções de compra, dada uma função característica. Chega-se à representação do preço da opção por uma integral. A seção seguinte mostra como calcular a integral utilizando o método de Gauss-Legendre. Apresentamos também uma aplicação ao modelo de Black e Scholes.

#### 4.2 O Formalismo de Carr e Madan

Seja uma opção de compra  $(call\ option)$  de  $strike\ K$ , cujo preço (payoff) pago no vencimento T é dado por:

$$C(T) = max(S_T - K, 0).$$
 (4.1)

Definamos, como na seção 3.3, o log-preço no vencimento,  $x_T = lnS_T$ . Adicionalmente, temos, para o *strike*, k = lnK. Seja  $q_T(x)$  a distribuição risconeutra do log-preço no vencimento. A transformada de Fourier desta distribuição representa a função característica:

$$\phi_T(u) = \int_{-\infty}^{\infty} e^{iux} q_T(x) dx. \tag{4.2}$$

O preço presente (t = 0) de uma opção de compra com vencimento T, em termos de log-preços, é dado pela integral:

$$C_T(k) = \int_{k}^{\infty} e^{-rT} (e^x - e^k) q_T(x) dx,$$
 (4.3)

sob o limite

$$\lim_{k \to -\infty} C_T(k) = x_0. \tag{4.4}$$

Para poder integrar 4.3, definamos um preço de opção modificado:

$$C_T(k) = e^{\alpha k} C_T(k), \tag{4.5}$$

com  $\alpha>0$  1. Definamos  $\psi_T(\nu)$  a transformada de Fourier de  $C_T(k)$ :

$$\psi_T(\nu) = \int_{-\infty}^{\infty} e^{i\nu k} C_T(k) dk. \tag{4.6}$$

Assim, o preço da opção de compra é (aplicando transformada inversa em 4.6):

$$C_T(k) = e^{-\alpha k} C_T(k) = \frac{e^{-\alpha k}}{2\pi} \int_{-\infty}^{\infty} e^{-i\nu k} \psi_T(\nu) d\nu.$$
 (4.7)

A função  $C_T(k)$  é real. Desta forma,  $\psi_T(\nu)$  é impar na parte imaginária, o que zera a integral, e par na parte real, o que não zera a integral. Assim,

$$C_T(k) = \frac{e^{-\alpha k}}{\pi} Re \int_0^\infty e^{-i\nu k} \psi_T(\nu) d\nu.$$
 (4.8)

Além disso, considerando 4.6 e 4.5:

<sup>&</sup>lt;sup>1</sup>Este parâmetro terá um caráter de controle de estabilidade em integrações. De fato, para que o preço da opção de compra  $C_T(k)$  seja integrável quadraticamente, ela deve decair rapidamente em 4.3 quando  $k \to -\infty$ . Contudo, quando  $k \to -\infty$  em 4.3, vemos que a função tende a  $\int_{-\infty}^{\infty} e^{-rT} e^x q_T(x) dx$ , que é o valor médio do preço do ativo-objeto em T, descontado pela taxa de juros, o que resulta no ativo-objeto em t=0, ou seja,  $S_0$ . Assim, para tornar a integral nula quando  $k \to -\infty$ , definimos  $C_T(k)$ .

$$\psi_T(\nu) = \int_{-\infty}^{\infty} e^{i\nu k} C_T(k) dk = \int_{-\infty}^{\infty} e^{i\nu k} \int_{k}^{\infty} e^{\alpha k} e^{-rT} (e^x - e^k) q_T(x) dx dk. \tag{4.9}$$

Mudamos os extremos de integração e resolvemos a integral em k:

$$\psi_{T}(\nu) = \int_{-\infty}^{\infty} e^{-rT} q_{T}(x) \int_{-\infty}^{x} (e^{x+\alpha k} - e^{(1+\alpha)k}) e^{i\nu k} dk dx$$

$$= \int_{-\infty}^{\infty} e^{-rT} q_{T}(x) \left[ \frac{e^{x+\alpha k+i\nu k}}{\alpha+i\nu} - \frac{e^{(\alpha+1+i\nu)k}}{1+\alpha+i\nu} \right]_{-\infty}^{x} dx$$

$$= \int_{-\infty}^{\infty} e^{-rT} q_{T}(x) \left[ \frac{e^{x(1+\alpha+i\nu)}}{\alpha+i\nu} - \frac{e^{(\alpha+1+i\nu)x}}{1+\alpha+i\nu} \right] dx$$

$$= e^{-rT} \int_{-\infty}^{\infty} q_{T}(x) \left[ \frac{e^{x(1+\alpha+i\nu)}}{(\alpha+i\nu)(1+\alpha+i\nu)} \right] dx$$

$$= e^{-rT} \int_{-\infty}^{\infty} q_{T}(x) \left[ \frac{e^{x(1+\alpha+i\nu)}}{(\alpha^{2}+2\alpha\nu i-\nu^{2}+\alpha+i\nu)} \right] dx$$

$$= e^{-rT} \int_{-\infty}^{\infty} q_{T}(x) \left[ \frac{e^{x(1+\alpha+i\nu)}}{(\alpha^{2}+\alpha-\nu^{2}+i\nu(2\alpha+1))} \right] dx$$

$$= e^{-rT} \int_{-\infty}^{\infty} q_{T}(x) \left[ \frac{e^{ix(-i(1+\alpha)+\nu)}}{(\alpha^{2}+\alpha-\nu^{2}+i\nu(2\alpha+1))} \right] dx$$

$$\therefore \psi_{T}(\nu) = e^{-rT} \frac{\phi_{T}(\nu-i(1+\alpha))}{(\alpha^{2}+\alpha-\nu^{2}+i\nu(2\alpha+1))}. \tag{4.10}$$

O valor da opção de compra é calculado usando 4.10 em 4.8. No caso do modelo de Heston, a função característica  $\phi_T$  é dada por 3.19 com 3.39 e 3.47. Na próxima subseção apresentamos o método de Gauss-Legendre para calcular a integral 4.8 e obter o preço da opção de compra.

### 4.3 Método de Gauss-Legendre

O método de Gauss-Legendre permite calcular a integral de uma função f(t) no intervalo  $[-1,1]^2$ . Para tanto, a integral é aproximada por uma soma, ponderada com pesos  $w_k$ , da função f(t), calculada em certos pontos, tomados como raízes de uma classe de polinômios - no caso, polinômios de Legendre de ordem n - no intervalo:

$$\int_{-1}^{1} f(t)dt = \sum_{k=1}^{n} w_k f(t_k). \tag{4.11}$$

Para cada n, o polinômio tem n raízes no intervalo [-1,1]. Uma integral definida no intervalo  $[x_1,x_2]$  pode ser realizada no intervalo [-1,1] através da transformação

$$y = \frac{2t - x_1 - x_2}{x_2 - x_1}. (4.12)$$

Desta forma,

$$\int_{x_1}^{x_2} f(t)dt = \int_{-1}^{1} \frac{x_2 - x_1}{2} f(\frac{x_2 - x_1}{2}y + \frac{x_2 + x_1}{2})dy.$$
 (4.13)

Portanto, trabalharemos com este integrando para calcular o preço da opção de compra descrito na equação 4.8, com  $x_1 = 0$  e  $x_2$  arbitrariamente grande. Para o parâmetro  $\alpha$ , utilizamos o valor sugerido em Carr e Madan,  $\alpha = 1,65$ .

# 4.3.1 Aplicação do Formalismo de Carr e Madan ao Modelo de Black e Scholes

No capítulo 7 descreveremos os dados empregados neste trabalho. Nesta subseção apresentaremos um exemplo de aplicação do formalismo apresentado neste capítulo à função característica 2.30, referente ao processo log-normal do modelo de Black e Scholes, comparando com a solução do modelo de Black e Scholes 2.14.

Consideremos o prazo de 12 meses (252 dias úteis), taxa de juros doméstica e estrangeira de 9,18% e 1,81%, respectivamente, em base anual (252 dias úteis), na composição contínua; preço do ativo à vista de 1.750,00 e preços de exercício correspondentes a deltas 25, 35, 50, 65, 75 e 85. Os dados estão nas tabelas das

<sup>&</sup>lt;sup>2</sup>Uma descrição do método pode ser encontrada em [Press et al, 1992].

figuras 4.1 e 4.2. Nesta tabela estão os cálculos referentes aos preços de exercício relativos aos deltas e às respectivas volatilidades.

A tabela da figura 4.3 mostra a comparação dos valores de preços de opções de compra européias de mercado, obtidos pela solução do modelo de Black e Scholes (equação 2.14), com os preços calculados pelas equações 4.8 e 4.10 sob a função característica 2.19<sup>3</sup>. Nota-se a proximidade de ambos os métodos.

dados	
vencimento (dias úteis)	252
taxa de juros local (a.a., base 252, contínua)	9,18%
taxa de juros estrangeira (a.a., base252, contínua)	1,81%
ativo à vista	1.750,00

Figura 4.1: Dados utilizados na comparação entre o apreçamento pelo método de transformada rápida de Fourier e pela solução do modelo de Black e Scholes.

dados						
delta	25,00	35,00	50,00	65,00	75,00	85,00
preços de exercício	2282,07	2104,23	1928,36	1795,55	1709,27	1609,22
volatilidades	23,75%	21,67%	19,49%	18,27%	17,90%	17,82%

Figura 4.2: Dados utilizados na comparação entre o apreçamento pelo método de transformada rápida de Fourier e pela solução do modelo de Black e Scholes.

Prazo (meses)	Conjunto	Preços de Opções de Compra delta					(Erro Quadrático)^0.5 x 1E5	
		25,00	35,00	50,00	65,00	75,00	85,00	
12	Mercado FFT	53,09 53,09	76,35 76,34	115,66 115,66	166,60 166,59	213,29 213,28	279,75 279,74	8,72

Figura 4.3: Comparação entre o apreçamento pelo método de transformada rápida de Fourier e pela solução do modelo de Black e Scholes (pontos de mercado).

No próximo capítulo, apresentaremos o método de expansão assintótica como uma forma alternativa, analítica, para apreçar a opção de compra sob o modelo de Heston quando a volatilidade da volatilidade ( $\varepsilon$ ) for pequena.

<sup>&</sup>lt;sup>3</sup>O erro é computado segundo a equação 7.4

# Capítulo 5

# Expansões Assintóticas em Heston

### 5.1 Introdução

Neste capítulo apresentamos um método de expansão assintótica para o preço de uma opção européia de compra sob o modelo de Heston, para pequenos valores de volatilidade da volatilidade ( $\varepsilon$ ), ou seja, pouco *smile*. A utilidade desta expansão é obter formas analíticas que não envolvam cálculos de integrais e, portanto, agilizam o processo de calibração. Seguimos o procedimento de Lipton [Lipton, 2001].

Inicialmente apresentamos as equações do processo de Heston, a equação diferencial para a o preço da opção de compra e redefinimos variáveis. Em seguida, trabalhamos a expansão.

### 5.2 Equações Envolvidas

Seja o futuro de moeda S com vencimento em T:

$$F_t = S_t e^{(r-r_f)(T-t)};$$
 (5.1)

calculemos dF utilizando 3.1 sob a condição risco-neutra, isto é,  $\mu=r-r_f$ :

$$dF = dSe^{(r-rf)(T-t)} - S(r-r_f)e^{(r-rf)(T-t)}dt$$

$$= S(r - r_f)e^{(r - r_f)(T - t)}dt - S(r - r_f)e^{(r - r_f)(T - t)}dt + S\sqrt{v}e^{(r - r_f)(T - t)}dW_t^1$$

$$= S\sqrt{v}e^{(r-rf)(T-t)}dW_t^1. \tag{5.2}$$

Assim, escrevemos no lugar do processo 3.1:

$$dF_t = F_t \sqrt{v_t} dW_t^1, \tag{5.3}$$

e de forma mais geral que em 3.7, escrevemos o processo da variância:

$$dv_t = \kappa \left(\theta - v_t\right) dt + \varepsilon v_t^{\xi} dW_t^2. \tag{5.4}$$

Adicionalmente, vale 3.3.

Há várias especializações de 5.4:  $\xi = 1/2$  refere-se ao modelo de Heston,  $\xi = 0$  refere-se ao modelo de Stein [Stein e Stein, 1991] e  $\xi = 1$  ao modelo de Hull-White [Hull e White, 1987]. Na próxima subseção apresentamos a equação diferencial, relacionada ao preço de uma opção, base para realizarmos nossa expansão.

#### 5.2.1 Equação Diferencial

Nesta subseção utilizamos argumentos de não-arbitragem e proteção (hedging) para chegar à equação diferencial do preço de uma opção de compra sob volatilidade estocástica.

Seja o preço de uma opção de compra  $C(S_t, v_t, T-t)$  em termos do ativo à vista  $S_t$ , da variância  $v_t$  e do tempo ao vencimento T-t. Aplicando o lema de Ito em vista de 3.1 e de 5.4, e coletando termos em primeira ordem em dt:

$$dC = -\frac{\partial C}{\partial \tau}dt + \frac{1}{2}vS^2\frac{\partial^2 C}{\partial S^2}(dW_t^1)^2 + \varepsilon Sv^{\frac{1}{2} + \xi}\frac{\partial^2 C}{\partial S\partial v}(dW_t^1dW_t^2) + S\mu\frac{\partial C}{\partial S}dt$$

$$+\frac{1}{2}\varepsilon^{2}v^{2\xi}\frac{\partial^{2}C}{\partial v^{2}}(dW_{t}^{2})^{2} + S\sqrt{v}\frac{\partial C}{\partial S}dW_{t}^{1} + \kappa\left(\theta - v\right)\frac{\partial C}{\partial v}dt + \varepsilon v^{\xi}\frac{\partial C}{\partial v}dW_{t}^{2}.$$
 (5.5)

Agora, em uma carteira com uma opção há duas fontes de incerteza: o ativobase,  $S_t$ , e a variância,  $v_t$ . Assim, para montar uma carteira  $\pi$  com uma opção C que resulte em uma renda fixa, protegida destes dois riscos, temos que incluir o ativobase e, como a variância não é um ativo diretamente negociável, uma outra opção  $V(S_t, v_t, T - t)$  de mesmo vencimento, cujo preço também depende da variância. Sejam  $\Delta$  e  $\Delta_1$  as quantidades destes dois ativos. Então, o valor da carteira em um instante t é dado por:

$$\pi_t = C_t - \Delta \cdot S_t - \Delta_1 \cdot V. \tag{5.6}$$

A variação da carteira deve resultar numa renda fixa<sup>1</sup>:

$$d\pi = (rC - \Delta \cdot (r - r_f) \cdot S - \Delta_1 \cdot r \cdot V)dt. \tag{5.7}$$

A variação do preço da opção V deve obedecer uma equação análoga à 5.5. Desta forma,

$$d\pi = dC - \Delta \cdot dS - \Delta_1 \cdot dV$$

$$=-\frac{\partial C}{\partial \tau}dt+\frac{1}{2}vS^2\frac{\partial^2 C}{\partial S^2}(dW_t^1)^2+\varepsilon Sv^{\frac{1}{2}+\xi}\frac{\partial^2 C}{\partial S\partial v}(dW_t^1dW_t^2)+S\mu\frac{\partial C}{\partial S}dt+\frac{1}{2}\varepsilon^2v^{2\xi}\frac{\partial^2 C}{\partial v^2}(dW_t^2)^2$$

$$+S\sqrt{v}\frac{\partial C}{\partial S}dW_{t}^{1}+\kappa\left(\theta-v\right)\frac{\partial C}{\partial v}dt+\varepsilon v^{\xi}\frac{\partial C}{\partial v}dW_{t}^{2}-\Delta\cdot S\sqrt{v}dW_{t}^{1}-\Delta\cdot S\mu dt$$

$$-\Delta_1[-\frac{\partial V}{\partial \tau}dt+\frac{1}{2}vS^2\frac{\partial^2 V}{\partial S^2}(dW_t^1)^2+\varepsilon Sv^{\frac{1}{2}+\xi}\frac{\partial^2 V}{\partial S\partial v}(dW_t^1dW_t^2)+S\mu\frac{\partial V}{\partial S}dt$$

$$+\frac{1}{2}\varepsilon^{2}v^{2\xi}\frac{\partial^{2}V}{\partial v^{2}}(dW_{t}^{2})^{2}+S\sqrt{v}\frac{\partial V}{\partial S}dW_{t}^{1}+\kappa\left(\theta-v\right)\frac{\partial V}{\partial v}dt+\varepsilon v^{\xi}\frac{\partial V}{\partial v}dW_{t}^{2}].\tag{5.8}$$

Agrupando termos e considerando 3.3:

$$\left[-\frac{\partial C}{\partial \tau}+\frac{1}{2}vS^2\frac{\partial^2 C}{\partial S^2}+\rho\varepsilon Sv^{\frac{1}{2}+\xi}\frac{\partial^2 C}{\partial S\partial v}+\frac{1}{2}\varepsilon^2v^{2\xi}\frac{\partial^2 C}{\partial v^2}+\kappa\left(\theta-v\right)\frac{\partial C}{\partial v}+S\mu\frac{\partial C}{\partial S}\right]dt$$

 $<sup>^{1}\</sup>mathrm{O}$  ativo dólar rende ao diferencial de taxas, ao passo que a parte em reais rende à taxa interna.

$$-\Delta \cdot S\mu dt$$

$$-\Delta_{1}\left[-\frac{\partial V}{\partial \tau}+\frac{1}{2}vS^{2}\frac{\partial^{2} V}{\partial S^{2}}+\rho\varepsilon Sv^{\frac{1}{2}+\xi}\frac{\partial^{2} V}{\partial S\partial v}+\frac{1}{2}\varepsilon^{2}v^{2\xi}\frac{\partial^{2} V}{\partial v^{2}}+\kappa\left(\theta-v\right)\frac{\partial V}{\partial v}+S\mu\frac{\partial V}{\partial S}\right]dt$$

$$+ \left[ S \sqrt{v} \frac{\partial C}{\partial S} - \Delta \cdot S \sqrt{v} - \Delta_1 \cdot S \sqrt{v} \frac{\partial V}{\partial S} \right] dW_t^1 + \left[ \varepsilon v^{\xi} \frac{\partial C}{\partial v} - \Delta_1 \cdot \varepsilon v^{\xi} \frac{\partial V}{\partial v} \right] dW_t^2$$

$$= (rC - \Delta \cdot (r - r_f) \cdot S - \Delta_1 \cdot r \cdot V)dt. \tag{5.9}$$

Para a parte do hedging com relação ao ativo-base, impõe-se:

$$\frac{\partial C}{\partial S} - \Delta - \Delta_1 \cdot \frac{\partial V}{\partial S} = 0. \tag{5.10}$$

Para eliminar o risco devido à variância:

$$\frac{\partial C}{\partial v} - \Delta_1 \cdot \frac{\partial V}{\partial v} = 0. \tag{5.11}$$

Desta forma,

$$\Delta_1 = \frac{\frac{\partial C}{\partial v}}{\frac{\partial V}{\partial v}} e \Delta = \frac{\partial C}{\partial S} - \frac{\frac{\partial C}{\partial v}}{\frac{\partial V}{\partial v}} \cdot \frac{\partial V}{\partial S}.$$
 (5.12)

Substituindo  $\Delta_1$ e  $\Delta$  em ambos os lados de 5.9,

$$\left[ -\frac{\partial C}{\partial \tau} + \frac{1}{2}vS^2 \frac{\partial^2 C}{\partial S^2} + \rho \varepsilon S v^{\frac{1}{2} + \xi} \frac{\partial^2 C}{\partial S \partial v} + \frac{1}{2} \varepsilon^2 v^{2\xi} \frac{\partial^2 C}{\partial v^2} + \kappa \left( \theta - v \right) \frac{\partial C}{\partial v} + S \mu \frac{\partial C}{\partial S} \right]$$

$$-\frac{\frac{\partial C}{\partial v}}{\frac{\partial V}{\partial v}} \left[ -\frac{\partial V}{\partial \tau} + \frac{1}{2} v S^2 \frac{\partial^2 V}{\partial S^2} + \rho \varepsilon S v^{\frac{1}{2} + \xi} \frac{\partial^2 V}{\partial S \partial v} + \frac{1}{2} \varepsilon^2 v^{2\xi} \frac{\partial^2 V}{\partial v^2} + \kappa \left(\theta - v\right) \frac{\partial V}{\partial v} + S \mu \frac{\partial V}{\partial S} \right] - \left( \frac{\partial C}{\partial S} - \frac{\frac{\partial C}{\partial v}}{\frac{\partial V}{\partial S}} \cdot \frac{\partial V}{\partial S} \right) \cdot S \mu =$$

$$rC - (r - r_f) \cdot \frac{\partial C}{\partial S} \cdot S + (r - r_f) \cdot \frac{\frac{\partial C}{\partial v}}{\frac{\partial V}{\partial v}} \cdot \frac{\partial V}{\partial S} \cdot S - r \cdot \frac{\frac{\partial C}{\partial v}}{\frac{\partial V}{\partial v}} \cdot V.$$

Reagrupando,

$$\frac{(r-r_f)\frac{\partial C}{\partial S} \cdot S - \frac{\partial C}{\partial \tau} + \frac{1}{2}vS^2\frac{\partial^2 C}{\partial S^2} + \rho\varepsilon Sv^{\frac{1}{2} + \xi}\frac{\partial^2 C}{\partial S\partial v} + \frac{1}{2}\varepsilon^2v^{2\xi}\frac{\partial^2 C}{\partial v^2} + \kappa\left(\theta - v\right)\frac{\partial C}{\partial v} - rC}{\frac{\partial C}{\partial v_t}} = \frac{\partial C}{\partial v_t} + \frac$$

$$\frac{(r-r_f)\frac{\partial V}{\partial S} \cdot S - \frac{\partial V}{\partial \tau} + \frac{1}{2}vS^2\frac{\partial^2 V}{\partial S^2} + \rho\varepsilon Sv^{\frac{1}{2} + \xi}\frac{\partial^2 V}{\partial S\partial v} + \frac{1}{2}\varepsilon^2v^{2\xi}\frac{\partial^2 V}{\partial v^2} + \kappa(\theta - v)\frac{\partial V}{\partial v} - rV}{\frac{\partial V}{\partial v}}.$$
(5.13)

Para esta equação ser válida para quaisquer opções C e V, deve ser igual à uma constante  $\lambda$ , chamada de preço de risco da volatilidade. Chega-se à:

$$(r - r_f) \cdot \frac{\partial C}{\partial S} \cdot S - rC - \frac{\partial C}{\partial \tau} + \frac{1}{2} v S^2 \frac{\partial^2 C}{\partial S^2} + \rho \varepsilon S v^{\frac{1}{2} + \xi} \frac{\partial^2 C}{\partial S \partial v} + \frac{1}{2} \varepsilon^2 v^{2\xi} \frac{\partial^2 C}{\partial v^2} + [\kappa (\theta - v) - \lambda] \frac{\partial C}{\partial v} = 0.$$
 (5.14)

[Heston, 1993] considera para calibrações  $\lambda=0$ . Na realidade, por  $\lambda$  e  $\kappa\theta$  em  $[\kappa\,(\theta-v)-\lambda]$  serem constantes, podemos juntá-los, definindo um novo preço de risco  $\lambda'$  que se relaciona com  $\lambda$  através de  $\lambda=\kappa\lambda'$ , de forma a termos  $[\kappa\,(\theta-\lambda'-v)]$ . Estaremos calibrando, portanto, a contante  $\theta-\lambda'$ . Podemos, então, fixar  $\lambda=0$  e absorver em  $\theta$  o efeito. Fazendo isto, temos a equação para o preço de uma opção de compra:

$$(r - r_f) \cdot \frac{\partial C}{\partial S} \cdot S - rC - \frac{\partial C}{\partial \tau} + \frac{1}{2} v S^2 \frac{\partial^2 C}{\partial S^2} + \rho \varepsilon S v^{\frac{1}{2} + \xi} \frac{\partial^2 C}{\partial S \partial v} + \frac{1}{2} \varepsilon^2 v^{2\xi} \frac{\partial^2 C}{\partial v^2} + [\kappa (\theta - v)] \frac{\partial C}{\partial v} = 0.$$
 (5.15)

Conforme [Lipton, 2001], escrevemos uma equação análoga à 5.15 em termos do futuro 5.1 e da variável  $\tilde{C}(\tau, F_t)$ , relacionada à  $C(\tau, S_t)$  por

$$C(\tau, S_t) = e^{-r\tau} \tilde{C}(\tau, F_t). \tag{5.16}$$

A dedução procede como naquela que levou à 5.15 mas, ao usarmos a variável  $F_t$ , devido à equação 5.3 não ter o termo de tendência ( $\mu$ ), na dedução desta nova equação diferencial o termo  $\mu = r - r_f$  não comparece. Adicionalmente, temos:

$$\frac{\partial}{\partial S}(.) = \frac{\partial}{\partial F}(.)\frac{\partial F}{\partial S} = e^{(r-r_f)\tau}\frac{\partial}{\partial F}(.) = \frac{F}{S}\frac{\partial}{\partial F}(.)$$
 (5.17)

$$\frac{\partial^2}{\partial S^2}(.) = \frac{\partial}{\partial S} \left[ \frac{\partial}{\partial F} (.) \frac{\partial F}{\partial S} \right] \frac{\partial F}{\partial S} = e^{2(r-r_f)\tau} \frac{\partial^2}{\partial F^2} (.) = \frac{F^2}{S^2} \frac{\partial^2}{\partial F^2} (.)$$
 (5.18)

$$\frac{\partial C}{\partial \tau} = -re^{-r\tau} \tilde{C}(\tau, F_t) + e^{-r\tau} \frac{\partial \tilde{C}(\tau, F_t)}{\partial \tau}, \tag{5.19}$$

de forma que

$$-\frac{\partial \tilde{C}}{\partial \tau} + \frac{1}{2}vF^2\frac{\partial^2 \tilde{C}}{\partial F^2} + \rho \varepsilon F v^{\frac{1}{2} + \xi} \frac{\partial^2 \tilde{C}}{\partial F \partial v} + \frac{1}{2}\varepsilon^2 v^{2\xi} \frac{\partial^2 \tilde{C}}{\partial v^2} + [\kappa (\theta - v)] \frac{\partial \tilde{C}}{\partial v} = 0.$$
 (5.20)

$$\tilde{C}(0, F, v) = \max(F - K, 0).$$
 (5.21)

Tendo em vista 5.20, na próxima subseção definimos novas variáveis de modo a expressar a equação 5.20 numa forma conveniente a desenvolver a expansão assintótica para pequenos valores de volatilidade da variância ( $\varepsilon$ ).

#### 5.2.2 Equação Diferencial Modificada

Iniciamos esta parte definindo algumas variáveis e escrevemos 5.20 em termos das mesmas. Primeiro, introduzimos

$$\vartheta = \alpha v + \beta \tag{5.22}$$

$$v = \frac{\vartheta - \beta}{\alpha},\tag{5.23}$$

onde  $\alpha$  e  $\beta$  são dependentes do tempo. A equação que define o processo  $d\vartheta$  é dada por (usando a notação ' = d/dt):

$$d\vartheta = v\alpha'dt + \beta'dt + \alpha dv$$

$$= v\alpha'dt + \beta'dt + \alpha[\kappa(\theta - v_t)dt + \varepsilon v_t^{\xi}dW_t^2]$$

$$= \frac{\vartheta \alpha' - \beta \alpha'}{\alpha} dt + \beta' dt + \alpha \kappa \theta dt - \alpha \kappa \frac{(\vartheta - \beta)}{\alpha} dt + \alpha \varepsilon \left(\frac{\vartheta - \beta}{\alpha}\right)^{\xi} dW_t^2$$

$$\therefore d\vartheta = \left[ \left( \frac{\alpha'}{\alpha} - \kappa \right) \vartheta + \frac{\alpha \beta' - \alpha' \beta}{\alpha} + \kappa \theta \alpha + \kappa \beta \right] dt + \alpha^{1-\xi} \varepsilon (\vartheta - \beta)^{\xi} dW_t^2. \tag{5.24}$$

Escolhemos  $\alpha$  e  $\beta$  de forma que a tendência é anulada e tornamos a variável  $\vartheta$  em uma variável martingal:

$$\alpha' - \kappa \alpha = 0;$$
  $\alpha(T) = 1$ 

$$\beta' + \kappa \theta \alpha = 0; \qquad \beta(T) = 0 \tag{5.25}$$

$$d\vartheta = \alpha^{1-\xi} \varepsilon (\vartheta - \beta)^{\xi} dW_t^2. \tag{5.26}$$

De 5.3 e 5.23,

$$\frac{dF}{F} = \alpha^{-1/2} (\vartheta - \beta)^{1/2} dW_t^1.$$
 (5.27)

Reescrevemos 5.20 em termos de F e  $\vartheta$ . Para tanto, podemos inicialmente aplicar o lema de Ito à  $C(\tau, S, \vartheta)$ . Isto levará à uma equação semelhante à 5.15, sem o último termo  $[\kappa (\theta - v)] \frac{\partial C}{\partial v}$ , pois este advinha de dt do processo 5.4, o qual não existe em 5.26. Além disso, os fatores em frente das derivadas são modificados, de forma a resultar em:

$$(r - r_f) \cdot \frac{\partial C}{\partial S} \cdot S - rC - \frac{\partial C}{\partial \tau} + \frac{1}{2}\alpha^{-1}(\vartheta - \beta)S^2 \frac{\partial^2 C}{\partial S^2} + \rho \varepsilon S \alpha^{\frac{1}{2} - \xi}(\vartheta - \beta)^{\xi + \frac{1}{2}} \frac{\partial^2 C}{\partial S \partial \vartheta} + \frac{1}{2}\varepsilon^2 \alpha^{2 - 2\xi}(\vartheta - \beta)^{2\xi} \frac{\partial^2 C}{\partial \vartheta^2} = 0.$$
 (5.28)

Ao escrever para a variável  $\tilde{C}(\tau, F, \vartheta_t) = e^{r\tau}C(\tau, F, \vartheta)$ , passa-se por um desenvolvimento semelhante ao das equações 5.17 a 5.19. Chega-se à:

$$-\frac{\partial \tilde{C}}{\partial \tau} + \frac{1}{2}\alpha^{-1}(\vartheta - \beta)F^{2}\frac{\partial^{2}\tilde{C}}{\partial F^{2}} + \rho\varepsilon F\alpha^{\frac{1}{2}-\xi}(\vartheta_{t} - \beta)^{\xi + \frac{1}{2}}\frac{\partial^{2}\tilde{C}}{\partial F\partial\vartheta} + \frac{1}{2}\varepsilon^{2}\alpha^{2-2\xi}(\vartheta - \beta)^{2\xi}\frac{\partial^{2}\tilde{C}}{\partial\vartheta^{2}} = 0.$$
 (5.29)

Tendo em vista 5.29, na próxima subseção apresentamos a expansão do preço de uma opção de compra para pequenos valores de volatilidade da variância ( $\varepsilon$ ).

### 5.3 Expansão Assintótica

Tomando por base a equação 5.29, nesta seção apresentamos a expansão assintótica do preço de uma opção de compra para pequenos valores de volatilidade da variância  $(\varepsilon)$  até segunda ordem:

$$\tilde{C} = \tilde{C}^{(0)} + \varepsilon \tilde{C}^{(1)} + \varepsilon^2 \tilde{C}^{(2)}. \tag{5.30}$$

O termo  $\tilde{C}^{(0)}$ , como veremos adiante, é a solução de Black e Scholes com coeficientes dependentes do tempo deterministicamente.

Definamos os seguintes operadores:

$$D = F \partial_F \tag{5.31}$$

$$\mathcal{L}^{(0)} = \partial_{\tau} - \frac{1}{2}\alpha^{-1}(\vartheta - \beta)D(D - 1)$$

$$(5.32)$$

$$\mathcal{L}^{(1)} = -\rho \alpha^{1/2 - \xi} (\vartheta - \beta)^{1/2 + \xi} D \partial_{\vartheta}$$
 (5.33)

$$\mathcal{L}^{(2)} = -\frac{1}{2}\alpha^{2-2\xi}(\vartheta - \beta)^{2\xi}\partial_{\vartheta}^{2},\tag{5.34}$$

onde, de 5.31:

$$D(D-1) = F\partial_F(F\partial_F - 1) = F^2\partial_{FF} + F\partial_F - F\partial_F = F^2\partial_{FF}.$$
 (5.35)

Substituindo 5.30 em 5.29 e colecionando termos de potências de  $\varepsilon$ , obtemos<sup>2</sup>:

$$\mathcal{L}^{(0)}\tilde{C}^{(0)} = 0, \qquad \tilde{C}^{(0)}(0) = \max(F - K, 0) \tag{5.36}$$

$$\mathcal{L}^{(0)}\tilde{C}^{(1)} + \mathcal{L}^{(1)}\tilde{C}^{(0)} = 0, \qquad \tilde{C}^{(1)}(0) = 0 \tag{5.37}$$

$$\mathcal{L}^{(0)}\tilde{C}^{(2)} + \mathcal{L}^{(1)}\tilde{C}^{(1)} + \mathcal{L}^{(2)}\tilde{C}^{(0)} = 0, \qquad \tilde{C}^{(2)}(0) = 0. \tag{5.38}$$

Apresentamos agora duas relações de comutação a serem utilizadas, cujas demonstrações podem ser encontradas no apêndice . A primeira  $\acute{e}^3$ 

$$[D, \mathcal{L}^{(0)}] = D\mathcal{L}^{(0)} - \mathcal{L}^{(0)}D = 0. \tag{5.39}$$

A outra relação é

$$[\partial_{\vartheta}, \mathcal{L}^{(0)}] = \partial_{\vartheta} \mathcal{L}^{(0)} - \mathcal{L}^{(0)} \partial_{\vartheta} = -\frac{1}{2} \alpha^{-1} D(D-1). \tag{5.40}$$

A idéia é, conhecendo  $\tilde{C}^{(0)}$ , expressar em termos de  $\tilde{C}^{(0)}$  e derivadas  $D\tilde{C}^{(0)}$ , etc., os valores de  $\tilde{C}^{(0)}_{\vartheta}$  e  $\tilde{C}^{(0)}_{\vartheta\vartheta}$ , bem como de  $\tilde{C}^{(1)}$  e  $\tilde{C}^{(2)}$ . Para o caso das derivadas  $\tilde{C}^{(0)}_{\vartheta\vartheta}$  e  $\tilde{C}^{(0)}_{\vartheta\vartheta}$ , utilizaremos as relações de comutação, enquanto que para os termos  $\tilde{C}^{(1)}$  e  $\tilde{C}^{(2)}$  empregaremos as equações 5.37 e 5.38.

Comecemos com  $\tilde{C}_{\vartheta}^{(0)}$ . Da equação 5.40,

$$\left[\partial_{\vartheta} \mathcal{L}^{(0)} - \mathcal{L}^{(0)} \partial_{\vartheta}\right] \tilde{C}^{(0)} = -\frac{1}{2} \alpha^{-1} D(D-1) \tilde{C}^{(0)},$$

pela equação 5.36,

$$\mathcal{L}^{(0)}\partial_{\vartheta}\tilde{C}^{(0)} - \frac{1}{2}\alpha^{-1}D(D-1)\tilde{C}^{(0)} = 0.$$
 (5.41)

<sup>&</sup>lt;sup>2</sup>As condições de contorno abaixo advêm de  $\tilde{C}(0) = \tilde{C}^{(0)}(0) + \varepsilon \tilde{C}^{(1)}(0) + \varepsilon^2 \tilde{C}^{(2)}(0) = \max(F - K, 0)$ .

<sup>&</sup>lt;sup>3</sup>Esta relação significa que se  $\tilde{C}$  é solução de  $\mathcal{L}^{(0)}\tilde{C}=0$ , então sua derivada com relação a F também é solução.

Propomos o ansatz

$$\tilde{C}_{\vartheta}^{(0)} = h_1 D(D-1) \tilde{C}^{(0)}, \tag{5.42}$$

onde  $h_1$  depende somente da variável  $\tau$ :  $h_1(\tau)$ . Pela substituição de 5.42 em 5.41, achamos a equação para  $h_1$ . De fato, considerando que o operador  $\mathcal{L}^{(0)}$  atravessa os operadores D e só  $\partial \tau$  atua em  $h_1$ , temos, usando 5.32:

$$\mathcal{L}^{(0)}\tilde{C}_{\vartheta}^{(0)} - \frac{1}{2}\alpha^{-1}D(D-1)\tilde{C}^{(0)} = \mathcal{L}^{(0)}\left[h_1D(D-1)\tilde{C}^{(0)}\right] - \frac{1}{2}\alpha^{-1}D(D-1)\tilde{C}^{(0)}$$

$$= (\mathcal{L}^{(0)}h_1) D(D-1)\tilde{C}^{(0)} + h_1 \mathcal{L}^{(0)} \left(D(D-1)\tilde{C}^{(0)}\right) - \frac{1}{2}\alpha^{-1}D(D-1)\tilde{C}^{(0)}$$

$$= \left[ (\partial_{\tau}h_1) - \frac{h_1}{2}\alpha^{-1}(\vartheta - \beta)D(D-1) \right] D(D-1)\tilde{C}^{(0)}$$

$$+ h_1 \mathcal{L}^{(0)} \left(D(D-1)\tilde{C}^{(0)}\right) - \frac{1}{2}\alpha^{-1}D(D-1)\tilde{C}^{(0)}. \tag{5.43}$$

$$\left(D(D-1)\mathcal{L}^{(0)}\tilde{C}^{(0)}\right) = 0$$

Agrupando termos em  $D(D-1)\tilde{C}^{(0)}$ :

$$\partial_{\tau} h_1 - \frac{1}{2} \alpha^{-1} = 0 \tag{5.44}$$

$$h_1(0)=0.$$

Passemos para  $\tilde{C}_{\eta\eta}^{(0)}$ . Temos

$$\mathcal{L}^{(0)}\tilde{C}_{\vartheta\vartheta}^{(0)} - \alpha^{-1}D(D-1)\tilde{C}_{\vartheta}^{(0)} = \underbrace{\left(\mathcal{L}^{(0)}\partial_{\vartheta}\right)}_{comuta\tilde{\zeta}ao2} \tilde{C}_{\vartheta}^{(0)} - \alpha^{-1}D(D-1)\tilde{C}_{\vartheta}^{(0)}$$
$$= \left[\partial_{\vartheta}\mathcal{L}^{(0)} + \frac{1}{2}\alpha^{-1}D(D-1)\right]\tilde{C}_{\vartheta}^{(0)} - \alpha^{-1}D(D-1)\tilde{C}_{\vartheta}^{(0)}$$

$$= \partial_{\vartheta} \underbrace{\left(\mathcal{L}^{(0)}\tilde{C}_{\vartheta}^{(0)}\right)}_{=\frac{1}{2}\alpha^{-1}D(D-1)\tilde{C}_{\vartheta}^{(0)}} + \frac{1}{2}\alpha^{-1}D(D-1)\tilde{C}_{\vartheta}^{(0)} - \alpha^{-1}D(D-1)\tilde{C}_{\vartheta}^{(0)} = 0,$$

onde na terceira passagem utilizamos a equação 5.41. Portanto,

$$\mathcal{L}^{(0)}\tilde{C}_{\vartheta\vartheta}^{(0)} - \alpha^{-1}D(D-1)\tilde{C}_{\vartheta}^{(0)} = 0. \tag{5.45}$$

Utilizando o ansatz anterior e sabendo que  $h_1$  não depende de  $\vartheta$ , podemos escrever:

$$\tilde{C}_{\vartheta\vartheta}^{(0)} = \partial_{\vartheta}(\tilde{C}_{\vartheta}^{(0)}) = \partial_{\vartheta}(h_1 D(D-1)\tilde{C}^{(0)}) = h_1 D(D-1)\partial_{\vartheta}\tilde{C}^{(0)}$$

$$\therefore \tilde{C}_{\vartheta\vartheta}^{(0)} = [h_1 D(D-1)]^2 \tilde{C}^{(0)}. \tag{5.46}$$

Achemos a equação para  $\tilde{C}^{(1)}$ . Da equação 5.37, substituindo 5.33:

$$\mathcal{L}^{(0)}\tilde{C}^{(1)} - \rho \alpha^{1/2 - \xi} (\vartheta - \beta)^{1/2 + \xi} D \partial_{\vartheta} \tilde{C}^{(0)} = 0.$$
 (5.47)

Utilizando 5.42,

$$\mathcal{L}^{(0)}\tilde{C}^{(1)} - \rho \alpha^{1/2 - \xi} (\vartheta - \beta)^{1/2 + \xi} h_1 D^2 (D - 1) \tilde{C}^{(0)} = 0.$$
 (5.48)

Propomos o ansatz:

$$\tilde{C}^{(1)} = f_1^{(1)} D^2 (D - 1) \tilde{C}^{(0)}. \tag{5.49}$$

Passagens semelhantes àquelas feitas em 5.43 levam, ao colecionar termos em  $D^2(D-1)\tilde{C}^{(0)}$ , à equação:

$$\partial_{\tau} \left( f_1^{(1)} \right) - \rho \alpha^{1/2 - \xi} (\vartheta - \beta)^{1/2 + \xi} h_1 = 0$$
 (5.50)

$$f_1^{(1)}(0) = 0, \quad para \quad \tilde{C}^{(1)}(0) = 0.$$
 (5.51)

Computemos  $\tilde{C}_{\vartheta}^{(1)}$ . Derivemos o lado esquerdo da equação 5.37 com relação à  $\vartheta$  e utilizemos 5.40 no primeiro termo e 5.33 no segundo:

$$\partial_{\vartheta} \left( \mathcal{L}^{(0)} \tilde{C}^{(1)} \right) + \partial_{\vartheta} \left( \mathcal{L}^{(1)} \tilde{C}^{(0)} \right) = 0 \Rightarrow \left[ \mathcal{L}^{(0)} \partial_{\vartheta} - \frac{1}{2} \alpha^{-1} D(D - 1) \right] \tilde{C}^{(1)}$$
$$+ \partial_{\vartheta} \left( -\rho \alpha^{1/2 - \xi} (\vartheta - \beta)^{1/2 + \xi} D \partial_{\vartheta} \tilde{C}^{(0)} \right).$$

Utilizando 5.42 no último termo e 5.49 no segundo:

$$= \left[ \mathcal{L}^{(0)} \tilde{C}_{\vartheta}^{(1)} - \frac{1}{2} \alpha^{-1} D(D-1) f_1^{(1)} D^2(D-1) \tilde{C}^{(0)} \right]$$

$$+ \partial_{\vartheta} \left( -\rho \alpha^{1/2 - \xi} (\vartheta - \beta)^{1/2 + \xi} D^2 h_1(D-1) \tilde{C}^{(0)} \right)$$

$$= \left[ \mathcal{L}^{(0)} \tilde{C}_{\vartheta}^{(1)} - \frac{1}{2} \alpha^{-1} f_1^{(1)} D^3(D-1)^2 \tilde{C}^{(0)} \right]$$

$$-\rho \alpha^{1/2 - \xi} (1/2 + \xi) (\vartheta - \beta)^{-1/2 + \xi} D^2 h_1(D-1) \tilde{C}^{(0)}$$

$$- \left( \rho \alpha^{1/2 - \xi} (\vartheta - \beta)^{1/2 + \xi} D^2 h_1(D-1) \tilde{C}_{\vartheta}^{(0)} \right).$$

Novamente empregando 5.42 no último termo:

$$= \left[ \mathcal{L}^{(0)} \tilde{C}_{\vartheta}^{(1)} - \frac{1}{2} \alpha^{-1} f_1^{(1)} D^3 (D-1)^2 \tilde{C}^{(0)} \right]$$
$$-\rho \alpha^{1/2-\xi} \left( 1/2 + \xi \right) (\vartheta - \beta)^{-1/2+\xi} h_1 D^2 (D-1) \tilde{C}^{(0)}$$
$$- \left( \rho \alpha^{1/2-\xi} (\vartheta - \beta)^{1/2+\xi} h_1^2 D^3 (D-1)^2 \tilde{C}^{(0)} \right) = 0.$$

Portanto,

$$\mathcal{L}^{(0)}\tilde{C}_{\vartheta}^{(1)} - \left[\rho\alpha^{1/2-\xi}(\vartheta-\beta)^{1/2+\xi}h_1^2 + \frac{1}{2}\alpha^{-1}f_1^{(1)}\right]D^3(D-1)^2\tilde{C}^{(0)}$$
$$-\rho\alpha^{1/2-\xi}\left(1/2+\xi\right)(\vartheta-\beta)^{-1/2+\xi}h_1D^2(D-1)\tilde{C}^{(0)} = 0, \tag{5.52}$$

onde  $\mathcal{L}^{(0)}$  é dado por 5.32. Escolhemos o ansatz para  $\tilde{C}_{\vartheta}^{(1)}$ :

$$\tilde{C}_{\vartheta}^{(1)} = h_3 D^3 (D-1)^2 \tilde{C}^{(0)} + h_2 D^2 (D-1) \tilde{C}^{(0)}. \tag{5.53}$$

Substituindo em 5.52, aplicando 5.32 e 5.36 e agrupando termos:

$$\left[\partial_{\tau}h_{3} - \rho\alpha^{1/2-\xi}(\vartheta - \beta)^{1/2+\xi}h_{1}^{2} - \frac{1}{2}\alpha^{-1}f_{1}^{(1)}\right]D^{3}(D-1)^{2}\tilde{C}^{(0)}$$

$$+h_{3}D^{3}(D-1)^{2}\mathcal{L}_{2ero}^{(0)}\tilde{C}^{(0)} + h_{2}D^{2}(D-1)\mathcal{L}_{2ero}^{(0)}\tilde{C}^{(0)}$$

$$+ \left[\partial_{\tau}h_{2} - \rho\alpha^{1/2-\xi}(1/2+\xi)(\vartheta - \beta)^{-1/2+\xi}h_{1}\right]D^{2}(D-1)\tilde{C}^{(0)} = 0.$$

Assim,

$$\left[\partial_{\tau}h_{3} - \rho\alpha^{1/2-\xi}(\vartheta-\beta)^{1/2+\xi}h_{1}^{2} - \frac{1}{2}\alpha^{-1}f_{1}^{(1)}\right]D^{3}(D-1)^{2}\tilde{C}^{(0)}$$

$$+ \left[ \partial_{\tau} h_2 - \rho \alpha^{1/2 - \xi} \left( 1/2 + \xi \right) (\vartheta - \beta)^{-1/2 + \xi} h_1 \right] D^2(D - 1) \tilde{C}^{(0)} = 0.$$
 (5.54)

Agrupando termos em  $D^3(D-1)^2$  e  $D^2(D-1)$ , podemos escrever:

$$\partial_{\tau} h_2 - \rho \alpha^{1/2 - \xi} (1/2 + \xi) (\vartheta - \beta)^{-1/2 + \xi} h_1 = 0, \qquad h_2(0) = 0$$
 (5.55)

$$\partial_{\tau} h_3 - \rho \alpha^{1/2 - \xi} (\vartheta - \beta)^{1/2 + \xi} h_1^2 - \frac{1}{2} \alpha^{-1} f_1^{(1)} = 0 \qquad h_3(0) = 0, \tag{5.56}$$

onde, por 5.53, vê-se que as condições iniciais sobre  $h_2$  e  $h_3$  preservam  $\tilde{C}_{\vartheta}^{(1)} = 0$ . Voltemo-nos agora para  $\tilde{C}^{(2)}$ . De 5.38, utilizando 5.33 e 5.34, temos:

$$\mathcal{L}^{(0)}\tilde{C}^{(2)} - \rho \alpha^{1/2 - \xi} (\vartheta - \beta)^{1/2 + \xi} D \partial_{\vartheta} \tilde{C}^{(1)} - \frac{1}{2} \alpha^{2 - 2\xi} (\vartheta - \beta)^{2\xi} \partial_{\vartheta}^{2} \tilde{C}^{(0)} = 0.$$
 (5.57)

Utilizando 5.53 e 5.46:

$$\mathcal{L}^{(0)}\tilde{C}^{(2)} - \rho \alpha^{1/2 - \xi} (\vartheta - \beta)^{1/2 + \xi} h_3 D^4 (D - 1)^2 \tilde{C}^{(0)}$$

$$-\rho \alpha^{1/2-\xi} (\vartheta - \beta)^{1/2+\xi} h_2 D^3 (D-1) \tilde{C}^{(0)}$$

$$-\frac{1}{2} \alpha^{2-2\xi} (\vartheta - \beta)^{2\xi} \left[ h_1 D(D-1) \right]^2 \tilde{C}^{(0)} = 0.$$
(5.58)

Propomos o ansatz:

$$\tilde{C}^{(2)} = f_3^{(2)} D^4 (D-1)^2 \tilde{C}^{(0)} + f_2^{(2)} D^3 (D-1) \tilde{C}^{(0)} + f_1^{(2)} D^2 (D-1)^2 \tilde{C}^{(0)}.$$
 (5.59)

Em seguida, aplicamos 5.32 em 5.59 e usamos 5.36 e também o fato de que  $f_3^{(2)}$ ,  $f_2^{(2)}$  e  $f_1^{(2)}$  dependem só de  $\tau$ , de forma que a atuação de  $\mathcal{L}^{(0)}$  sobre os mesmos resulta na aplicação de  $\partial_{\tau}$ . Além disso, como já mencionamos, o operador  $\mathcal{L}^{(0)}$  atravessa os operadores D e só atua em  $\tilde{C}^{(0)}$ , onde usamos 5.32:

$$\underbrace{\mathcal{L}^{(0)}\left(f_{3}^{(2)}\right)}_{\partial_{\tau}f_{3}^{(2)}} D^{4}(D-1)^{2}\tilde{C}^{(0)} + \underbrace{\mathcal{L}^{(0)}\left(f_{2}^{(2)}\right)}_{\partial_{\tau}f_{2}^{(2)}} D^{3}(D-1)\tilde{C}^{(0)} + \underbrace{\mathcal{L}^{(0)}\left(f_{1}^{(2)}\right)}_{\partial_{\tau}f_{1}^{(2)}} D^{2}(D-1)^{2}\tilde{C}^{(0)} + f_{3}^{(2)}D^{4}(D-1)^{2}\underbrace{\mathcal{L}^{(0)}\left(\tilde{C}^{(0)}\right)}_{0} + \underbrace{f_{2}^{(2)}D^{3}(D-1)\underbrace{\mathcal{L}^{(0)}\left(\tilde{C}^{(0)}\right)}_{0} + f_{1}^{(2)}D^{2}(D-1)^{2}\underbrace{\mathcal{L}^{(0)}\left(\tilde{C}^{(0)}\right)}_{0}}_{0} -\rho\alpha^{1/2-\xi}(\vartheta-\beta)^{1/2+\xi}h_{3}D^{4}(D-1)^{2}\tilde{C}^{(0)} - \rho\alpha^{1/2-\xi}(\vartheta-\beta)^{1/2+\xi}h_{2}D^{3}(D-1)\tilde{C}^{(0)} - \frac{1}{2}\alpha^{2-2\xi}(\vartheta-\beta)^{2\xi}\left[h_{1}D(D-1)\right]^{2}\tilde{C}^{(0)} = 0. \tag{5.60}$$

Agrupando termos segundo as potências de  $D^4(D-1)^2$ ,  $D^3(D-1)$  e  $D^2(D-1)^2$  concluímos que

$$\partial_{\tau} f_3^{(2)} - \rho \alpha^{1/2 - \xi} (\vartheta - \beta)^{1/2 + \xi} h_3 = 0, \qquad f_3^{(2)}(0) = 0 \tag{5.61}$$

$$\partial_{\tau} f_2^{(2)} - \rho \alpha^{1/2 - \xi} (\vartheta - \beta)^{1/2 + \xi} h_2 = 0, \qquad f_2^{(2)}(0) = 0 \tag{5.62}$$

$$\partial_{\tau} f_1^{(2)} - \frac{1}{2} \alpha^{2-2\xi} (\vartheta - \beta)^{2\xi} h_1^2 = 0, \qquad f_1^{(2)}(0) = 0, \tag{5.63}$$

onde, diante de 5.59, estas condições iniciais implicam em  $\tilde{C}^{(2)}=0$ .

Agora, notamos que vale a relação:

$$f_3^{(2)} = \frac{1}{2} \left( f_1^{(1)} \right)^2. \tag{5.64}$$

De fato, de 5.61,

$$-\rho \alpha^{1/2-\xi} (\vartheta - \beta)^{1/2+\xi} = \frac{\partial_{\tau} f_3^{(2)}}{h_3},\tag{5.65}$$

e de 5.50,

$$-\rho \alpha^{1/2-\xi} (\vartheta - \beta)^{1/2+\xi} = \frac{\partial_{\tau} f_1^{(1)}}{h_1}$$
 (5.66)

$$\therefore \frac{\partial_{\tau} f_3^{(2)}}{h_3} = \frac{\partial_{\tau} f_1^{(1)}}{h_1}.$$
 (5.67)

Utilizando 5.66 no segundo termo de 5.56 e 5.44 no terceiro termo de 5.56:

$$\partial_{\tau} h_3 - \left(\partial_{\tau} f_1^{(1)}\right) h_1 - \left(\partial_{\tau} h_1\right) f_1^{(1)} = 0$$

$$\therefore \partial_{\tau} h_3 - \partial_{\tau} \left( f_1^{(1)} h_1 \right) = 0.$$

Diante das condições iniciais de 5.44 e 5.56, conclui-se que

$$h_3 = f_1^{(1)} h_1. (5.68)$$

Em 5.67,

$$\partial_{\tau} f_3^{(2)} = f_1^{(1)} \partial_{\tau} f_1^{(1)}, \tag{5.69}$$

e diante das condições iniciais de 5.61 e 5.50, chegamos a

$$f_3^{(2)} = \frac{1}{2} \left( f_1^{(1)} \right)^2. \tag{5.70}$$

A seguir apresentamos um resumo das equações diferenciais a serem resolvidas.

#### 5.3.1 Resumo das Equações Diferenciais

$$\frac{\partial \alpha}{\partial \tau} + \kappa \alpha = 0; \qquad \alpha(0) = 1$$
 (5.71)

$$\frac{\partial \beta}{\partial \tau} - \kappa \theta \alpha = 0; \qquad \beta(0) = 0 \tag{5.72}$$

Note que as derivadas estão em  $\tau$  e não em t nas equações 5.71 e 5.72.

$$\partial \tau h_1 - \frac{1}{2} \alpha^{-1} = 0 (5.73)$$

$$h_1(0) = 0.$$

$$\partial_{\tau} \left( f_1^{(1)} \right) - \rho \alpha^{1/2 - \xi} (\vartheta - \beta)^{1/2 + \xi} h_1 = 0$$
 (5.74)

$$f_1^{(1)}(0) = 0, para \tilde{C}^{(1)}(0) = 0.$$
 (5.75)

$$\partial_{\tau} h_2 - \rho \alpha^{1/2 - \xi} (1/2 + \xi) (\vartheta - \beta)^{-1/2 + \xi} h_1 = 0, \qquad h_2(0) = 0$$
 (5.76)

$$\partial_{\tau} h_3 - \rho \alpha^{1/2 - \xi} (\vartheta - \beta)^{1/2 + \xi} h_1^2 - \frac{1}{2} \alpha^{-1} f_1^{(1)} = 0 \qquad h_3(0) = 0$$
 (5.77)

$$\partial_{\tau} f_3^{(2)} - \rho \alpha^{1/2 - \xi} (\vartheta - \beta)^{1/2 + \xi} h_3 = 0, \qquad f_3^{(2)}(0) = 0 \tag{5.78}$$

$$\partial_{\tau} f_2^{(2)} - \rho \alpha^{1/2 - \xi} (\vartheta - \beta)^{1/2 + \xi} h_2 = 0, \qquad f_2^{(2)}(0) = 0 \tag{5.79}$$

$$\partial_{\tau} f_1^{(2)} - \frac{1}{2} \alpha^{2-2\xi} (\vartheta - \beta)^{2\xi} h_1^2 = 0, \qquad f_1^{(2)}(0) = 0$$
 (5.80)

$$f_3^{(2)} = \frac{1}{2} \left( f_1^{(1)} \right)^2. \tag{5.81}$$

Dada a equação 5.81, se  $f_1^{(1)}$  já tiver sido obtido, a equação 5.78 para  $f_3^{(2)}$  não precisa ser resolvida. Como  $h_3$  seria obtido para resolvê-la, via 5.77, esta equação também não precisa ser resolvida. Então, são sete equações diferenciais a serem resolvidas.

### 5.3.2 Solução da equação para $ilde{C}^{(0)}$

A equação 5.36 é uma equação de Black e Scholes com coeficientes dependentes do tempo, com solução na forma  $\tilde{C}^{(0)}(\tau,F,\vartheta)=\tilde{C}(\tau,F,K,\sigma_{t,T}^{(0)})^4$ . A volatilidade  $\sigma_{t,T}^{(0)}$  é dada pela integral em [t,T] do coeficiente  $\alpha^{-1}(\vartheta-\beta)$  da equação:

$$\sigma_{t,T}^{(0)} = \sqrt{\frac{\int_t^T \alpha^{-1}(\vartheta - \beta)ds}{T - t}}.$$
 (5.82)

Dada 5.71,

$$\frac{d\alpha}{\alpha} = -\kappa d\tau \quad \alpha(0) = 1$$

$$\int_{\alpha}^{\alpha(0)} \frac{d\alpha}{\alpha} = -\kappa \int_{\tau}^{0} d\tau'$$

$$ln\alpha(0) - ln\alpha = -\kappa(0 - \tau)$$

$$\alpha = e^{-\kappa \tau}. (5.83)$$

De 5.72, utilizando 5.83:

$$d\beta = \kappa\theta\alpha d\tau$$

$$=\kappa\theta e^{-\kappa\tau}d\tau$$

 $<sup>{}^4\</sup>tilde{C}^{(0)}$ será escrita explicitamente mais adiante.

$$\int_{\beta}^{\beta(0)} d\beta = \int_{\tau}^{0} \kappa \theta e^{-\kappa \tau'} d\tau'$$

$$\beta(0) - \beta = \kappa \theta \frac{(1 - e^{-\kappa \tau})}{\kappa}$$

$$\beta = \theta (1 - e^{-\kappa \tau}). \tag{5.84}$$

Usando 5.83 e 5.84 na integral de 5.82:

$$\begin{split} \int_t^T \alpha^{-1}(\vartheta - \beta) ds &= \int_t^T e^{\kappa(t-s)} (\vartheta - \theta(1 - e^{-\kappa(T-s)})) ds \\ &= \int_t^T e^{\kappa(t-s)} (\vartheta - \theta) + \theta ds \\ &= \left[ -e^{\kappa(t-s)} (\vartheta - \theta) \frac{1}{\kappa} + \theta s \right]_t^T \\ &= (\vartheta - \theta) \left[ -\frac{1}{\kappa} + \frac{1}{\kappa} e^{\kappa(T-t)} \right] + \theta(T-t) = (\vartheta - \theta) \frac{1}{\kappa} \left( e^{\kappa \tau} - 1 \right) + \theta \tau. \end{split}$$

Assim,

$$\sigma_{t,T}^{(0)} = \sqrt{\frac{\int_t^T \alpha^{-1}(\vartheta - \beta)ds}{T - t}} = \sqrt{(\vartheta - \theta)\frac{1}{\kappa\tau}(e^{\kappa\tau} - 1) + \theta}.$$
 (5.85)

Na próxima subseção resolveremos as equações diferenciais para o caso do processo sob raiz quadrada ( $\xi = 1/2$ ), corespondente ao modelo de Heston.

### 5.3.3 O Modelo de Heston (Raiz Quadrada)

Particularizamos agora as equações para o caso  $\xi = 1/2$ . Inicialmente, valem as equações 5.83 e 5.84. Deste modo, resolvemos as equações apresentadas na seção 5.3.1.

• Solução de  $h_1$ .

Dada a equação 5.73:

$$\frac{dh_1}{d\tau} = \frac{1}{2}e^{\kappa\tau}, \qquad h_1(0) = 0$$

$$\int_{h_1(\tau)}^{h_1(0)} dh_1 = \left[ \frac{1}{2} e^{\kappa \tau} \frac{1}{\kappa} \right]_{\tau}^{0}$$

$$h_1 = \frac{1}{2} \left( e^{\kappa \tau} - 1 \right) \frac{1}{\kappa}.$$
(5.86)

• Solução de  $f_1^{(1)}$ .

A equação 5.74 para  $\xi = 1/2$  é dada por

$$\partial_{\tau} \left( f_1^{(1)} \right) = \rho(\vartheta - \beta) h_1, \tag{5.87}$$

$$f_1^{(1)}(0) = 0. (5.88)$$

Substituindo 5.86 e 5.84:

$$\partial_{\tau} \left( f_1^{(1)} \right) = \rho (\vartheta - \theta (1 - e^{-\kappa \tau})) \frac{1}{2} \left( e^{\kappa \tau} - 1 \right) \frac{1}{\kappa},$$

chegamos à integral

$$\int_{f_{1}^{(1)}(\tau)}^{f_{1}^{(1)}(0)} df_{1}^{(1)} = \int_{\tau}^{0} \rho \vartheta \frac{1}{2} \left( e^{\kappa \tau} - 1 \right) \frac{1}{\kappa} - \rho \theta \frac{1}{2} \left( e^{\kappa \tau} - 1 \right) \frac{1}{\kappa} + \rho \theta \frac{1}{2} \left( 1 - e^{-\kappa \tau} \right) \frac{1}{\kappa} d\tau.$$

Resolvendo sob a condição 5.88 e defindo  $g_1^{(1)}$ :

$$f_1^{(1)} = \rho \vartheta \frac{1}{2} \left( e^{\kappa \tau} - 1 - \kappa \tau \right) \frac{1}{\kappa^2} - \rho \theta \frac{1}{2} \left( e^{\kappa \tau} - e^{-\kappa \tau} - 2\kappa \tau \right) \frac{1}{\kappa^2} \equiv \rho g_1^{(1)}. \tag{5.89}$$

• Solução de  $h_2$ .

Em seguida, a equação 5.76 para  $\xi=1/2$ , levando em conta 5.84 e 5.86 é:

$$\partial_{\tau} h_2 = \rho h_1 = \rho \frac{1}{2\kappa} \left( e^{\kappa \tau} - 1 \right) \tag{5.90}$$

$$h_2(0) = 0, (5.91)$$

o que leva à integral

$$\int_{h_2(\tau)}^{h_2(0)} dh_2 = \int_{\tau}^{0} \rho \frac{1}{2\kappa} \left( e^{\kappa \tau} - 1 \right) d\tau.$$

A integração sob a condição 5.91 nos dá  $h_2(\tau)$ :

$$h_2(\tau) = \rho \frac{1}{2\kappa^2} \left( e^{\kappa \tau} - 1 - \kappa \tau \right). \tag{5.92}$$

• Solução de  $f_1^{(2)}$ .

Sob  $\xi = 1/2$ , a equação 5.80 pode ser escrita como

$$\partial_{\tau} f_1^{(2)} = \frac{1}{2} \alpha (\vartheta - \beta) (h_1)^2$$
 (5.93)

$$f_1^{(2)}(0) = 0. (5.94)$$

Substituindo 5.83, 5.84 e 5.86, temos:

$$\partial_{\tau} f_{1}^{(2)} = \frac{1}{2} e^{-\kappa \tau} \left[ \vartheta - \theta (1 - e^{-\kappa \tau}) \right] \left[ \frac{1}{2} \left( e^{\kappa \tau} - 1 \right) \frac{1}{\kappa} \right]^{2}$$

$$= \frac{\vartheta}{8\kappa^2} \left( e^{\kappa\tau} - 2 + e^{-\kappa\tau} \right) - \frac{\theta}{8\kappa^2} \left( e^{\kappa\tau} - 2 + e^{-\kappa\tau} - 1 + 2e^{-\kappa\tau} - e^{-2\kappa\tau} \right). \tag{5.95}$$

Integrando sob 5.94:

$$\int_{f_1^{(2)}(\tau)}^{f_1^{(2)}(0)} df_1^{(2)} = \left[ \frac{\vartheta}{8\kappa^3} \left( e^{\kappa\tau} - 2\kappa\tau - e^{-\kappa\tau} \right) - \frac{\theta}{16\kappa^3} \left( 2e^{\kappa\tau} - 6\kappa\tau - 6e^{-\kappa\tau} + e^{-2\kappa\tau} \right) \right]_{\tau}^{0}, \tag{5.96}$$

resultando em

$$f_1^{(2)} = \frac{\vartheta}{8\kappa^3} \left( e^{\kappa\tau} - 2\kappa\tau - e^{-\kappa\tau} \right) - \frac{\theta}{16\kappa^3} \left( 2e^{\kappa\tau} - 6\kappa\tau - 6e^{-\kappa\tau} + e^{-2\kappa\tau} + 3 \right). \tag{5.97}$$

• Solução de  $f_2^{(2)}$ .

Sob $\xi=1/2,$ e utilizando 5.84 e 5.92, a equação 5.79 torna-se:

$$\partial_{\tau} f_2^{(2)} = \rho \left[ \vartheta - \theta (1 - e^{-\kappa \tau}) \right] \left[ \rho \frac{1}{2\kappa^2} \left( e^{\kappa \tau} - 1 - \kappa \tau \right) \right]$$
$$= \frac{\rho^2 \vartheta}{2\kappa^2} \left( e^{\kappa \tau} - 1 - \kappa \tau \right) - \frac{\rho^2 \theta}{2\kappa^2} \left( e^{\kappa \tau} - 2 - \kappa \tau + e^{-\kappa \tau} + \kappa \tau e^{-\kappa \tau} \right). \tag{5.98}$$

$$f_2^{(2)}(0) = 0. (5.99)$$

Integramos sob 5.99:

$$\int_{f_2^{(2)}(0)}^{f_2^{(2)}(0)} df_2^{(2)} = \int_{\tau}^0 \frac{\rho^2 \vartheta}{2\kappa^2} \left( e^{\kappa \tau} - 1 - \kappa \tau \right) - \frac{\rho^2 \theta}{2\kappa^2} \left( e^{\kappa \tau} - 2 - \kappa \tau + e^{-\kappa \tau} + \kappa \tau e^{-\kappa \tau} \right) d\tau$$

$$f_2^{(2)} = \left\{ \frac{\rho^2 \vartheta}{4\kappa^3} \left( 2e^{\kappa \tau} - 2\kappa \tau - \kappa^2 \tau^2 \right) - \frac{\rho^2 \theta}{4\kappa^3} \left( 2e^{\kappa \tau} - 4\kappa \tau - \kappa^2 \tau^2 - 2e^{-\kappa \tau} \right) \right\}_{\tau}^{0}$$

$$- \frac{\rho^2 \theta}{4\kappa^3} \int_{\tau}^0 \kappa \tau e^{-\kappa \tau} 2\kappa d\tau. \tag{5.100}$$

Integrando por partes esta última integral, obtemos:

$$\int_{\tau}^{0} \kappa \tau e^{-\kappa \tau} 2\kappa d\tau = 2\kappa \tau e^{-\kappa \tau} - 2 + 2e^{-\kappa \tau}.$$
 (5.101)

Inserindo em 5.100, chegamos à equação para  $f_2^{(2)}$  e definimos  $g_2^{(2)}$ :

$$f_2^{(2)} = \left\{ \frac{\rho^2 \vartheta}{4\kappa^3} \left( 2e^{\kappa \tau} - 2\kappa \tau - \kappa^2 \tau^2 - 2 \right) - \frac{\rho^2 \theta}{4\kappa^3} \left( 2e^{\kappa \tau} - 4\kappa \tau - \kappa^2 \tau^2 + 2 - 2(2 + \kappa \tau)e^{-\kappa \tau} \right) \right\}$$

$$\equiv \rho^2 g_2^{(2)}. \tag{5.102}$$

- Solução para  $f_3^{(2)}$ .

De 5.81 e 5.89, podemos escrever a solução para  $f_3^{(2)}$ :

$$f_3^{(2)} = \frac{1}{2} (f_1^{(1)})^2 \equiv \frac{1}{2} \rho^2 \left(g_1^{(1)}\right)^2.$$
 (5.103)

•  $\sigma_{t,T}^{(0)}$  em termos de  $\nu$ .

Consideremos 5.22, 5.83 e 5.84 em 5.85:

$$\vartheta = e^{-\kappa\tau}\nu + \theta(1 - e^{-\kappa\tau})$$

$$\therefore \sigma_{t,T}^{(0)} = \sqrt{(\vartheta - \theta)\frac{1}{\kappa\tau}(e^{\kappa\tau} - 1) + \theta}$$

$$= \sqrt{(e^{-\kappa\tau}\nu - \theta e^{-\kappa\tau})\frac{1}{\kappa\tau}(e^{\kappa\tau} - 1) + \theta}$$

$$\sigma_{t,T}^{(0)} = \sqrt{(\nu - \theta)\frac{1}{\kappa\tau}(1 - e^{-\kappa\tau}) + \theta}$$
(5.104)

Definamos:

$$\gamma \equiv (\nu - \theta) \frac{1}{\kappa \tau} \left( 1 - e^{-\kappa \tau} \right) + \theta \tag{5.105}$$

e

$$d_{\pm} = d_{\pm}(\gamma, F/K) = \frac{\ln(F/K)}{\sqrt{\gamma}} \pm \frac{\sqrt{\gamma}}{\sqrt{2}}$$
 (5.106)

$$d_{+} = d_{-} + \sqrt{\gamma}. \tag{5.107}$$

A seguir escrevemos as expressões de  $\tilde{C}^{(0)}$ ,  $\tilde{C}^{(1)}$ e  $\tilde{C}^{(2)}$  para o processo do tipo  $\xi = 1/2$ . Empregaremos algumas identidades referentes ao uso do operador D, demonstradas no apêndice A do capítulo 9.

#### • Expressão para $\tilde{C}^{(0)}$ .

Conforme visto na subseção 5.3.2, a equação 5.36 para  $\tilde{C}^{(0)}$  é do tipo de Black e Scholes para o caso de coeficientes dependentes do tempo e a volatilidade segue 5.104. Assim, escrevemos explicitamente:

$$\tilde{C}^{(0)}(\tau, F, \nu) = FN(d_{+}) - KN(d_{-}), \tag{5.108}$$

onde  $d_+$  e  $d_-$  seguem 5.106.

• Expressão para  $\tilde{C}^{(1)}$ .

Podemos chegar à solução de  $\tilde{C}^{(1)}$  a partir da equação 5.49, da equação 5.108 para  $\tilde{C}^{(0)}$ , e da equação 5.89. De fato,

$$\tilde{C}^{(1)} = f_1^{(1)} D^2 (D - 1) \tilde{C}^{(0)}$$
(5.109)

$$f_1^{(1)} = \rho g_1^{(1)}$$
.

Então, do capítulo 9, equação 9.28:

$$\tilde{C}^{(1)} = \frac{-\rho g_1^{(1)} d_-}{\gamma} K N'(d_-). \tag{5.110}$$

 $\bullet \;$  Expressão para  $\tilde{C}^{(2)}.$ 

Passamos agora a escrever a forma de  $\tilde{C}^{(2)}$  para o processo  $\xi=1/2$  através do cálculo dos termos que constam na equação 5.59, de forma análoga ao que foi feito para  $\tilde{C}^{(1)}$ . Os cômputos de tais termos são detalhados no capítulo 9, apêndice A. As expressões para  $f_3^{(2)}$ ,  $f_2^{(2)}$  e  $f_1^{(2)}$  já foram obtidas em 5.103, 5.102 e 5.97, respectivamente.

$$\tilde{C}^{(2)} = f_3^{(2)} D^4 (D-1)^2 \tilde{C}^{(0)} + f_2^{(2)} D^3 (D-1) \tilde{C}^{(0)} + f_1^{(2)} D^2 (D-1)^2 \tilde{C}^{(0)}$$

De 9.34, 9.30 e 9.29, temos:

$$\tilde{C}^{(2)} = \left[ f_3^{(2)} \frac{1}{\gamma^2 \sqrt{\gamma}} \left( 3 - 3d_-^2 - 3d_- d_+ + d_-^3 d_+ \right) - f_2^{(2)} \frac{1}{\gamma \sqrt{\gamma}} \left( 1 - d_-^2 \right) + f_1^{(2)} \frac{1}{\gamma \sqrt{\gamma}} \left( d_- d_+ - 1 \right) \right] KN'(d_-).$$
(5.111)

Assim, ao determinar os termos  $\tilde{C}^{(0)}$ ,  $\tilde{C}^{(1)}$  e  $\tilde{C}^{(2)}$  via, respectivamente, 5.108, 5.110 e 5.111, chegamos à equação da expansão assintótica 5.30. O preço da opção C é obtido de acordo com a definição da variável  $\tilde{C}(\tau, F_t, \vartheta_t) = e^{r\tau}C(\tau, F_t, \vartheta_t)$ . Implementamos o preço da opção por expansão assintótica num programa Visual Basic (VBA).

Na próxima seção apresentamos um teste de comparação entre o método da transformada rápida de Fourier pelo procedimento de Carr e Madan e o método de expansão assintótica.

# 5.4 Comparação Entre o Método de Transformada Rápida de Fourier e o Método de Expansão Assintótica

Conforme mencionamos neste capítulo, o método de expansão assintótica pressupõe que a volatilidade da variância  $(\varepsilon)$  seja pequena. Nesta seção apresentamos um exemplo de comparação entre os métodos de transformada rápida de Fourier (FFT) e de expansão assintótica com o intuito de avaliar o comportamento deste método com relação ao parâmetro de volatilidade da variância  $(\varepsilon)$ .

Para tanto, inicialmente, fixamos os dados de mercado (vencimento, preço de exercício, juros e ativo à vista) e os parâmetros de velocidade de reversão à média  $(\kappa)$ , variância de longo prazo  $(\theta)$ , correlação  $(\rho)$  e variância inicial  $(v_0)^5$ . Em seguida, com estes dados, calculamos os preços das opções de câmbio sob os métodos FFT e de expansão assintótica para os seguintes valores do parâmetro de volatilidade da variância  $(\varepsilon)$ : 0,01, 0,1, 0,5 e 1,0.

Consideremos o prazo de 9 meses (189 dias úteis), preço de exercício de 1.763,91 (correspondente a um delta de 65%) e ativo à vista de 1.750,00. O resumo dos dados e dos valores fixados para os parâmetros encontra-se na figura da tabela 5.1.

dados					
vencimento (dias úteis)	189,00				
taxa de juros local (a.a, base 252, contínua)	8,60%				
taxa de juros estrangeira (a.a, base 252, contínua)	1,63%				
ativo à vista (dolar)	1.750,00				
preço de exercício (delta 65%)	1.763,91				
Parâmetros fixados					
Volatilidade inicial	0,17110				
Variância de longo prazo ( $\theta$ )	0,25143				
velocidade de reversão à média (κ)	0,18076				
correlação (ρ)	0,47188				

Figura 5.1: Dados utilizados na comparação entre preços calculados pelos métodos de transformada rápida de Fourier (FFT) e expansão assintótica.

A comparação entre os preços obtidos pelos métodos da transformada de Fourier e expansão assintótica está na tabela da figura 5.2. Como esperado, os preços obtidos pelo método da expansão assintótica são tão mais próximos daqueles obtidos pelo método da transformada de Fourier quanto menor for a volatilidade da variância  $(\varepsilon)$ .

volatilidada da variância (a)	Preço			
volatilidade da variância (ε)	FFT	Expansão Assintótica		
0,01	163,09	163,02		
0,1	161,79	161,73		
0,5	146,33	144,01		
1	127,56	94,37		

Figura 5.2: Comparação entre preços calculados pelos métodos de transformada rápida de Fourier (FFT) e expansão assintótica.

<sup>&</sup>lt;sup>5</sup>Calculada como o quadrado da volatilidade inicial.

No próximo capítulo, apresentamos o modelo de apreçamento do swap de variância, tanto sob o modelo de Demeterfi  $et\ al$ , mas utilizando smile, como sob o de Heston, para que possamos utilizar este instrumento na calibração.

### Capítulo 6

### Swaps de Variância

#### 6.1 Introdução

Neste capítulo descrevemos o apreçamento de *swaps* de variância, a serem empregados na calibração. Inicialmente descrevemos o contrato e, em seguida, apresentamos o modelo de Demeterfi *et al*, que utiliza a hipótese de Black e Scholes para a log-normalidade da distribuição de probabilidade do preço do ativo-base, e o modelo a partir do processo do modelo de Heston. No caso do primeiro desenvolvimento, modificá-lo-emos para podermos aplicar a superfície de volatilidade.

### 6.2 Swaps de Variância: Definição

Opções são a forma de um agente se expor ao preço do ativo-base, bem como à sua volatilidade pelo período de existência do contrato. Contudo, são poucas as formas de se obter exposição somente à volatilidade. Uma delas é negociar contratos de volatilidade, propriamente ditos. Outra forma, mais sutil, é investir em contratos de variância.

Swaps de variância permitem ao agente econômico se expor tão somente à variância de um ativo, na medida em que permitem a negociação da variância ocorrida em um determinado período. O payoff deste contrato expressa a variância anualizada dos retornos do ativo-base num período de tempo, observando uma certa freqüência, por exemplo, diária. O detentor do swap de variância recebe N \$ para cada ponto que a variância realizada dos retornos do ativo-base,  $V_R^2$ , exceder a variância fixada no contrato pelo strike,  $K_{Var}$ . Matematicamente:

$$Payoff = (V_R^2 - K_{Var}) \times N. (6.1)$$

Ou seja, se o agente julga que a variância  $V_R^2$  dos retornos, medida até o vencimento do contrato, em T, será maior (menor) que a estipulada no contrato,  $K_{Var}$ , ele compra (vende) tal contrato e recebe um valor positivo. Contratualmente, ao longo do tempo [0,T] observam-se os valores de fechamento,  $S_j$ , oficialmente divulgados para os preços do ativo-base, e computa-se<sup>1</sup>:

$$V_R^2 T = \sum_{j=1}^T \left[ Ln \left( \frac{S_j}{S_{j-1}} \right) \right]^2 = \sum_{j=1}^T \left[ r_j \right]^2, \tag{6.2}$$

onde  $r_j = Ln\left(\frac{S_j}{S_{j-1}}\right)$  é o retorno relativo do período j-1 ao j.

Os contratos de *swaps* de variância podem ser negociados entre clientes diretamente (contratos de balcão, onde as condições do contrato não são padronizadas) ou em bolsa, operando-se um índice padronizado. Por exemplo, o índice VIX (*Volatility Index*) da bolsa de Chicago mostra a expectativa de volatilidade do índice de bolsa S&P500 para um prazo de 30 dias. Um índice deste tipo tem a utilidade de medir o risco de mercado ao representar um "termômetro" de mercado<sup>2</sup>. No Brasil tem-se trabalhado para que um índice semelhante seja introduzido e contratos sejam negociados sobre o mesmo na bolsa de valores.

Para apreçar contratos de swaps de variância, estamos tão somente interessados no cômputo do valor esperado de  $V_R^2$ , pois as outras quantidades, incluindo  $K_{Var}$ , são conhecidas na data de operação do contrato. De fato, o valor presente do contrato sob uma distribuição risco-neutra é:

$$Valor(t) = E\left[e^{-rT}(V_R^2 - K_{Var}) \times N\right] = e^{-rT}(E[V_R^2] - K_{Var}) \times N.$$
 (6.3)

O "valor justo" do contrato é o valor do strike  $K_{var}$  para o qual o contrato tem valor presente nulo, ou seja,

$$K_{var} = E[V_R^2]. (6.4)$$

<sup>&</sup>lt;sup>1</sup>Para o ativo-base representado pelo dólar, tais valores podem ser a PTAX divulgada pelo Banco Central do Brasil, ou a taxa à vista do dolar comercial.

<sup>&</sup>lt;sup>2</sup>Investor fear gauge.

A seguir, discutimos como avaliar  $E[V_R^2]$ , primeiramente sob o modelo de Demeterfi et al, que se baseia na hipótese de que a densidade de probabilidade do preço do ativo-base é log-normal, e, em segundo lugar, sob o modelo de Heston<sup>3</sup>.

### 6.3 Modelo Log-normal

No desenvolvimento a seguir para o preço de um swap de variância, assumimos que o ativo-base,  $S_t$ , segue um modelo log-normal de preço, ou seja:

$$\frac{dS_t}{S_t} = \mu(t,.)dt + \sigma(t,.)dW_t, \tag{6.5}$$

onde  $\mu$ , como já vimos, representa a tendência, ou drift, do processo e  $\sigma$  representa a variância anualizada. Aqui, tanto  $\mu$ , quanto  $\sigma$ , são funções arbitrárias de tempo e outros parâmetros.<sup>4</sup>

A variância teórica realizada sob o período [0,T] é dada por

$$V^{2} = \frac{1}{T} \int_{0}^{T} \sigma^{2}(t, .) dt.$$
 (6.6)

Pelo lema de Ito, considerando uma função  $f(S_t) = lnS_t$ :

$$df = \frac{\partial f}{\partial S_t} dS_t + \frac{1}{2} \frac{\partial^2 f}{\partial S_t^2} (dS_t)^2.$$

Considerando o processo 6.5, e que  $E[(dW_t)^2] \sim dt$ , da mesma forma que em 3.8, temos:

$$d(\ln S_t) = \frac{1}{S_t} dS_t + \frac{1}{2} \left[ -\frac{1}{S_t^2} (dS_t)^2 \right]$$

$$= \frac{1}{S_t} \left( S_t \mu dt + S_t \sigma dW_t \right) - \frac{1}{2} \frac{1}{S_t^2} S_t^2 \sigma^2 dt$$

$$= \left( \mu - \frac{\sigma^2}{2} \right) dt + \sigma dW_t. \tag{6.7}$$

Subtraindo 6.7 de 6.5:

<sup>&</sup>lt;sup>3</sup>Aqui torna-se clara a facilidade de se utilizar swaps de variância, ao invés de swaps de volatilidade: estes requerem avaliar  $E[\sqrt{V_R^2}]$ , enquanto que aqueles requerem  $E[V_R^2]$ .

<sup>&</sup>lt;sup>4</sup>Esta observação possibilita o uso de *smile* para a função  $\sigma$  e também o uso de modelos de volatilidade local de forma a termos  $\sigma(S,t)$ , como em Dupire ([Dupire, 1994]).

$$\frac{dS_t}{S_t} - d(\ln S_t) = \frac{\sigma^2}{2}dt. \tag{6.8}$$

Aplicando em 6.6:

$$V^{2} = \frac{2}{T} \left[ \underbrace{\left( \int_{0}^{T} \frac{dS_{t}}{S_{t}} \right)}_{A} - \underbrace{ln \left( \frac{S_{T}}{S_{0}} \right)}_{B} \right]. \tag{6.9}$$

O termo A correponde ao rebalanceamento contínuo de uma posição de  $1/S_t$  ativos. Já o termo B representa uma posição estática sobre um log-contrato, que paga o logaritmo de um retorno total. O "valor justo" do contrato de swap de variância é dado, então, por:

$$K_{var} = E[V^2] = E\left\{\frac{2}{T}\left[\left(\int_0^T \frac{dS_t}{S_t}\right) - \ln\left(\frac{S_T}{S_0}\right)\right]\right\}.$$
 (6.10)

O primeiro termo pode ser calculado resolvendo a integral estocástica sob o processo  $6.5^5$ :

$$E\left[\int_0^T \frac{dS_t}{S_t}\right] = E\left[\int_0^T \mu dt + \int_0^T \sigma dW_t\right] = E\left[\int_0^T \mu dt\right] = (r - r_f)T. \tag{6.11}$$

Sobre o segundo termo, como o log-contrato não é negociado no mercado, temos que replicá-lo através de uma carteira de opções de compra e venda. É o que faremos na subseção a seguir.

#### 6.3.1 Replicação Estática de Log-Contrato

Inicialmente, notamos que vale a relação:

$$ln\left(\frac{S_T}{S_0}\right) = ln\left(\frac{S_T}{S^*}\right) + ln\left(\frac{S^*}{S_0}\right). \tag{6.12}$$

O segundo termo do lado direito não depende do preço final da opção e, portanto, pode ser tratado como constante. Logo, precisamos nos preocupar com a replicação do primeiro termo. Do Teorema Fundamental do Cálculo, segue a seguinte relação<sup>6</sup>

<sup>&</sup>lt;sup>5</sup>Consideramos a valoração risco-neutra, onde  $\mu = r - r_f$ .

<sup>&</sup>lt;sup>6</sup>Demonstraremos tal relação no Capítulo 9, Apêndice B.

$$f(U) = f(K) + f'(K) \underbrace{(U - K)^{+} - (K - U)^{+}}_{A} + \underbrace{\int_{K}^{\infty} f''(z)(U - z)^{+} dz}_{A} + \underbrace{\int_{0}^{K} f''(z)(z - U)^{+} dz}_{A}.$$
(6.13)

Aplicando esta equação para avaliar  $ln\left(\frac{S_T}{S^*}\right)$ , temos:

$$f(z) = -ln(z)$$

$$\therefore f'(z) = -1/z \quad e \quad f''(z) = 1/z^2. \tag{6.14}$$

Também fazemos  $U \to S_T$  e  $K \to S^*$  em 6.13. O termo A resulta em (U - K), ou, depois da substituição, em  $(S_T - S^*)$ . Assim,

$$-lnS_T = -lnS^* - \frac{1}{S^*}[S_T - S^*] +$$

$$\int_{S^*}^{\infty} \frac{1}{z^2} (S_T - z)^+ dz + \int_0^{S^*} \frac{1}{z^2} (z - S_T)^+ dz$$

ou

$$-\ln\frac{S_T}{S^*} = \underbrace{-\frac{1}{S^*}[S_T - S^*]}_{A} + \underbrace{\int_{S^*}^{\infty} \frac{1}{z^2}(S_T - z)^+ dz}_{B} + \underbrace{\int_{0}^{S^*} \frac{1}{z^2}(z - S_T)^+ dz}_{C}$$
(6.15)

Ao tomar expectativas sobre esta equação, temos as seguintes interpretações para os termos:

- A: posição vendida em um contrato futuro com preço de exercício  $S^*$ . Temos o futuro em T dado por  $S_T = S_0 e^{(r-r_f)T} \equiv Fwd_T$ ;
- B: posição comprada de  $1/z^2$  opções de compra (calls) com preços de exercício (strike) entre  $S^*$  e  $\infty$ :  $\int_{S^*}^{\infty} \frac{1}{z^2} Call(Fwd_T, strike = z, T, \sigma, r, r_f) dz$ ;
- C: posição comprada de  $1/z^2$  opções de venda (puts) com preços de exercício (strike) entre 0 e  $S^*$  e :  $\int_0^{S^*} \frac{1}{z^2} Put(Fwd_T, strike = z, T, \sigma, r, r_f) dz$ .

Agora voltamos ao preço do contrato de variância.

#### 6.3.2 Preço do Contrato de Variância

Voltando à 6.10, para o "valor justo" do contrato de variância, não descontado, sob 6.11, 6.12 e 6.15, podemos escrever:

$$K_{var} = E[V^2] = \frac{2}{T} \left\{ (r - r_f)T - \left( \frac{S_0 e^{(r - r_f)T}}{S^*} - 1 \right) - \ln \left( \frac{S^*}{S_0} \right) + e^{rT} \left[ \int_0^{S^*} \frac{1}{z^2} Put(Fwd_T, strike = z, T, \sigma, r, r_f) dz \right] + e^{rT} \left[ \int_{S^*}^{\infty} \frac{1}{z^2} Call(Fwd_T, strike = z, T, \sigma, r, r_f) dz \right] \right\}.$$
 (6.16)

Sobre a equação 6.16, convém notar alguns pontos:

- Primeiro, as opções de compra (calls) e venda (puts) são apreçadas segundo Black and Scholes e levam em conta o smile e volatilidade;<sup>7</sup>
- A escolha de  $S^*$  é arbitrária e fazemos  $S^* = Fwd_T$ ;
- O cômputo das integrais é feito numericamente. Notamos que
  - Ao fazer  $S^* = Fwd_T$ , estamos lidando com opções de compra e de venda "fora do dinheiro". Ao lidar com regiões de integração  $[0, S^*]$  para puts e  $[S^*, \infty]$  para calls, haverá regiões em que estas opções tendem a zero  $(z \to 0$  para puts e  $z \to \infty$  para calls);
  - Na proximidade do vencimento, o intervado de integração onde tais opções têm valor fica significativamente menor, e um melhor refinamento na integração (dz) é requerido.

#### 6.4 Modelo de Heston

Para obter o apreçamento de *swaps* de variância segundo o modelo de Heston, calcularemos o "valor justo" do *swap* sob a dinâmica dada por 3.1, 3.7 e 3.3. Temos:

<sup>&</sup>lt;sup>7</sup>Na equação 6.16 colocamos o fator de juros  $e^{rT}$  pois a equação não está descontada e assume-se na notação Call(.) e Put(.) que os preços são descontados.

$$K_{var} = E[V^2] = \frac{1}{T} \int_0^T E[v_t] dt.$$
 (6.17)

Precisamos calcular o valor esperado  $E[v_t]$  a partir da equação integral advinda do processo 3.7:

$$v_{t} = v_{0} + \kappa \int_{0}^{t} (\theta - v_{t'}) dt' + \varepsilon \int_{0}^{t} \sqrt{v_{t'}} dW_{t'}^{2}, \tag{6.18}$$

ou seja, precisamos de

$$E[v_t] = v_0 + \kappa \int_0^t (\theta - E[v_{t'}])dt'. \tag{6.19}$$

A partir desta equação, podemos achar  $E[v_t]$  se montarmos uma equação diferencial para este termo. De fato,

$$\frac{dE[v_t]}{dt} = \kappa(\theta - E[v_t]). \tag{6.20}$$

Resolvendo-a:

$$\frac{dE[v_t]}{(\theta - E[v_t])} = \kappa dt$$

$$u = \theta - E[v_t], \qquad du = -dE[v_t]$$

$$-\frac{du}{u} = \kappa dt$$

$$u = e^{-\kappa(t - t_0)} u_0$$

$$\theta - E[v_t] = e^{-\kappa(t - t_0)} (\theta - \underbrace{E[v_0]}_{v_0})$$

$$E[v_t] = e^{-\kappa(t - t_0)}(v_0 - \theta) + \theta.$$
 (6.21)

Voltando à equação 6.17 para o "preço justo" de um swap de variância:

$$K_{var} = E[V^{2}] = \frac{1}{T} \int_{0}^{T} E[v_{t}] dt =$$

$$= \frac{1}{T} \int_{0}^{T} e^{-\kappa(t-t_{0})} (v_{0} - \theta) + \theta dt$$

$$= \frac{1 - e^{-\kappa(T-t_{0})}}{\kappa T} (v_{0} - \theta) + \theta.$$
(6.22)

Esta equação representa, além do "preço justo", a fórmula de apreçamento para um swap de variância sob modelo de Heston, ao descontarmos pelo fator de juros.

No próximo capítulo passamos a descrever como obter parâmetros do modelo de Heston a partir do procedimento de calibração de opções, que utilizará o ferramental de *swaps* de variância, exposto nesta seção.

# Capítulo 7

# Calibração

# 7.1 Introdução

Neste capítulo apresentamos o procedimento de calibração dos parâmetros do modelo de Heston usando preços de mercado de opções de câmbio, bem como preços de swaps de variância criados sinteticamente através de opções de câmbio de compra e de venda. Começamos apresentando a descrição de dados e, em seguida, passamos ao procedimento propriamente dito. Depois, apresentamos os resultados obtidos. Além da calibração envolvendo o modelo de Heston apresentamos resultados do método FFT para o modelo de Black e Scholes.

# 7.2 Descrição de Dados

Os dados utilizados no procedimento de calibração envolvem:

- Cotações de taxa de câmbio comercial R\$/USD de fechamento extraídos do provedor Reuters;
- 2. Para curva de juros doméstica utilizamos a curva "pré" (taxa x prazo), obtida a partir do fechamento de contratos futuros de DI da BM&F <sup>1</sup>;
- 3. Para curva de juros estrangeira utilizamos a curva de cupom cambial (taxa x prazo) advinda do mercado de estratégia FRA (forward rate agreement) de cupom da BM&F;

<sup>&</sup>lt;sup>1</sup>Os dados BM&F provêm do endereço eletrônico www.bovespa.com.br.

4. Cotações de opções de compra européias de dólar negociadas na BM&F (preço de fechamento, vencimento, preço de exercício);

Trabalharemos com taxas no formato contínuo. Dado um fator de juros (f), a taxa contínua (r) referente ao vencimento T é obtida pela relação:

$$f(T) = e^{r(T-t)}. (7.1)$$

A partir das cotações de opções de compra calculamos volatilidades implícitas com base nos demais dados de mercado: curva de juros pré, cupom e taxa de câmbio.

### 7.3 Procedimento de Calibração

O objetivo desta seção é descrever como serão obtidos, via calibração, os parâmetros envolvidos no modelo de Heston:

- 1.  $\rho$ : correlação;
- 2.  $\varepsilon$ : volatilidade da variância;
- 3.  $\theta$ : variância de longo prazo;
- 4.  $\kappa$ : velocidade de reversão à média;
- 5.  $v_0$ : variância inicial.

Apresentamos duas propostas de calibração: uma empregando a valoração do modelo de Heston pela formulação de Peter Carr e Madan, com o auxílio da integral (4.8) e de (4.10), aplicando o método de Gauss-Legendre para avaliar a integral; e outra empregando expansão assintótica apresentada em [Lipton, 2001], de acordo com a equação (5.30) e a relação entre C e  $\tilde{C}$  (isto é,  $\tilde{C}(\tau, F_t, \vartheta_t) = e^{r\tau}C(\tau, F_t, \vartheta_t)$ ), apresentadas na seção 5.3, particularizadas para o processo de Heston  $\xi = 1/2$ .

O método de expansão assintótica, em seu domínio de validade ( $\varepsilon \to 0$ ), por envolver equações fechadas, representa um procedimento de cálculo mais rápido que o método de Carr e Madan, que requer o cálculo numérico da integral (4.8). Comparamos os resultados dos dois métodos em três diferentes situações de mercado, a saber:

1. 10/10/2008;

- 2. 21/07/2009 e
- $3. \ 20/10/2009.$

A primeira data representa o auge da crise dos títulos subprime, onde esperamos encontrar um regime de alta volatilidade de variância ( $\varepsilon$ ). As duas outras representam períodos de abrandamento de volatilidade após a passagem da crise, com uma menor inclinação da superfície de volatilidade.

Primeiro construímos o conjunto de dados a partir dos quais obteremos os parâmetros. Partimos de preços de fechamento de opções européias de compra (calls) de dólar para gerar uma superfície de volatilidade implícita e pontos de preços de swap de variância. Mais especificamente, a partir de tais dados de preços de opções, construímos uma superfície de volatilidade implícita  $(\sigma)$  por vencimento (T)e preço de exercício (K) no formato delta  $(\Delta(K))$ , de forma a termos  $\sigma(T,\Delta(K))$ . Isto é feito tomando-se os pontos {preço, preço de exercício, vencimento} disponíveis e invertendo a equação de preço de Black e Scholes (2.14) para a obtenção da volatilidade implícita, utilizando taxas pré e cupom com mesmo vencimento dos pontos. A partir destes dados (volatilidade implícita, preço de exercício no formato delta e vencimento), podemos construir a superfície, por interpolação, tanto na dimensão de prazos de vencimento, quanto na dimensão de delta. Quanto aos swaps de variância, uma vez em condições de calcular preços de qualquer opção de compra (call) e venda (put) a partir da superfície de volatilidade implícita, podemos gerar preços "sintéticos" de swaps de variância, segundo a equação (6.16). Para um dado vencimento (T) em questão, será de utilidade na calibração dispormos de preços de swap de variância para os vencimentos T e T+1  $dia^2$ .

Assim, após selecionar um conjunto de prazos de interesse  $\{T\}$ , o procedimento de construção de dados para calibração resume-se a :

- Fixar um prazo de vencimento T;
- Coletar dados de mercado de taxas de pré e cupom para este prazo;
- A partir de preços de opções européias de compra de dólar (organizados segundo {preço, preço de exercício, vencimento}) e dados de taxas pré e cupom relativos a este prazo, obter volatilidades implícitas invertendo a equação (2.14)<sup>3</sup>;

<sup>&</sup>lt;sup>2</sup>Porque o swap de variância no modelo de Heston depende de  $\kappa$  e  $\theta$ . Consequentemente, trabalhar com dois swaps nos fornece dois parâmetros calibrados.

<sup>&</sup>lt;sup>3</sup>Isto pode ser feito via Newton-Raphson.

• A partir da volatilidade implícita, convertemos os preços de exercício (K) para o formato delta  $(\Delta(K,T))$ . Isto é feito com a relação:

$$\Delta(K,T) = \frac{N(d_1)}{f_{cupom}(T)},\tag{7.2}$$

onde  $d_1$  é dado por (2.15) e  $f_{cupom}(T)$  é o fator de cupom cambial para o vencimento T.

- Por interpolação, construir uma superfície de volatilidade implícita  $(\sigma(T, \Delta(K)))$  para pontos-padrão de delta  $(25-35-50-65-75-85)^4$ ;
- Calcular preços  $C^i_{mercado}(T)$  de opções européias de compra para os pontospadrão de delta (25-35-50-65-75-85);
- Calcular o preço  $sint\'etico~P^{VS}_{mercado}(T)$  de um swap de variância de vencimento T de acordo com a equação (6.16). Adicionalmente, com a mesma equação, construir o preço  $sint\'etico~P^{VS}_{mercado}(T+1d)$  de um swap de variância com vencimento T+1 dia;
- Repetir o procedimento para outro vencimento do conjunto  $\{T\}$ .

Com relação ao procedimento de calibração, estabelecemos uma função erro em um problema de minimização que represente a distância quadrática entre pontos de mercado e os pontos calculados pelo modelo de Heston.

Contudo, sabemos que há vários conjuntos possíveis  $S = \{\hat{\rho}, \hat{\varepsilon}, \hat{\theta}, \hat{\kappa}, \hat{v}_0\}$  que reproduzem um dado conjunto de preços de mercado dentro de uma margem de tolerância pré-estabelecida, dependendo do conjunto inicial de parâmetros  $S_0$  que inicia a calibração. Ou seja, partindo de um certo conjunto inicial  $S_0$ , podendo chegar a um conjunto calibrado possível S. Tivéssemos partido de outro conjunto  $S'_0$ , poderíamos obter um outro conjunto S' dentro da margem de erro. Em outras palavras, há vários mínimos locais, o que abre a possibilidade de que os conjuntos de calibração sejam instáveis.

Para minimizar esse efeito, notamos que, sob o processo de Heston, o preço do swap de variância de vencimento T, dado pela equação (6.22), envolve somente os parâmetros  $\kappa$  e  $\theta$ . Assim, podemos inicialmente calibrar estes dois parâmetros com dois swaps de variância, um com vencimento T e outro com vencimento T+1 dia,

<sup>&</sup>lt;sup>4</sup>Interpolamos linearmente no tempo e por *spline* entre deltas.

minimizando uma função erro que envolva os preços calculados a partir do modelo de Heston, dados pela equação (6.22), contra os preços dos *swaps* sintéticos gerados no procedimento de construção de dados pela equação (6.16). O envolvimento de dois prazos é necessário pois precisamos de dois pontos para calibrar de forma exata dois parâmetros. Assumimos, pois, que há estabilidade destes parâmetros de um dia para o outro.

Com relação à variância inicial,  $v_0$ , podemos fixá-la como o quadrado da volatilidade de curto prazo (dois dias), advinda da superfície de volatilidade. Para os demais parâmetros,  $\rho$  e  $\varepsilon$ , poderíamos fazer uso de duas opções de compra obtidas da superfície de volatilidade e calibrá-las contra os valores teóricos calculados pela equação (4.8) ou (5.30) tendo fixados  $\kappa$  e  $\theta$ . Contudo, adotamos o procedimento de considerar os parâmetros calibrados  $\hat{\kappa}$  e  $\hat{\theta}$ , obtidos pela calibração dos swaps, como valores iniciais para a calibração envolvendo opções de compra vanilas.

Portanto, o procedimento de calibração pode ser esquematizado da seguinte forma:

- Atribuir à variância inicial  $(v_0)$ , na maioria dos casos, o valor do quadrado da volatilidade implícita de curto prazo (dois dias), obtido pela superfície construída:
- Fixar um prazo de vencimento T;
- Estabelecer um conjunto inicial de calibração  $s_0 = \{\kappa, \theta\}_0$  para a calibração dos swaps de variância;
- Selecionar e fixar preços  $P^{VS}_{mercado}(T)$  e  $P^{VS}_{mercado}(T+1d)$  de swaps de variância sintéticos, calculados pela equação (6.16), para os prazos T e T+1 dia, respectivamente, conforme mencionado no procedimento de geração de dados descrito acima;
- Calcular preços teóricos  $P_{teórico}^{VS}(T)$  e  $P_{teórico}^{VS}(T+1d)$  de swaps de variância sob o processo do modelo de Heston através da equação (6.22) para os prazos T e T+1 dia, respectivamente;
- Através do ajuste de preços teóricos dos swaps de variância aos preços fixos de mercado dos mesmos, obter parâmetros calibrados  $s^T = \{\hat{\kappa}, \hat{\theta}\}^T$  a partir de<sup>5</sup>

<sup>&</sup>lt;sup>5</sup>Utilizamos o otimizador do Microsoft Excel, que utiliza o método de Gradiente Reduzido Generalizado (*Generalized Reduced Gradient*).

$$\min_{s} \left[ \left( \frac{P_{mercado}^{VS}(T) - P_{te\acute{o}rico}^{VS}(T)}{P_{mercado}^{VS}(T)} \right)^{2} + \left( \frac{P_{mercado}^{VS}(T+1d) - P_{te\acute{o}rico}^{VS}(T+1d)}{P_{mercado}^{VS}(T+1d)} \right)^{2} \right]; (7.3)$$

- Estabelecer um conjunto inicial de calibração  $S_0 = \{\rho, \varepsilon, \{s\}\}_0$ ;
- Selecionar e fixar preços de opções de compra,  $C^i_{mercado}(T)$ , com vencimento no prazo T, para o deltas (i = 25, 35, 50, 65, 75, 85), computados segundo o procedimento de geração de dados descrito acima;
- Calcular preços teóricos,  $C^i_{teórico}(T)$ , de opções de compra com vencimento no prazo T, para o deltas (i=25,35,50,65,75,85) segundo o modelo de Heston pela equação (4.8), ou pela equação (5.30) e a relação entre C e  $\tilde{C}$ , conforme a abordagem for por Carr e Madan ou por expansão assintótica, respectivamente;
- Através do ajuste de preços teóricos das opções de compra aos preços fixos de mercado dos mesmos, obter parâmetros calibrados  $S^T = \{\hat{\rho}, \hat{\varepsilon}, \hat{\kappa}, \hat{\theta}\}^T$  a partir de

$$\min_{S} \left\{ \sum_{i=25, 35, 50, 65, 75, 85} \left[ \left( \frac{C_{mercado}^{i}(T) - C_{te\acute{o}rico}^{i}(T)}{C_{mercado}^{i}(T)} \right)^{2} \right] \right\}; \tag{7.4}$$

• Repetir o procedimento para outro vencimento do conjunto  $\{T\}$ .

A seguir apresentamos os resultados obtidos segundo os procedimentos de Carr e Madan e de expansão assintótica.

### 7.4 Resultados de calibrações

Nesta seção apresentamos os resultados das calibrações. Apresentaremos os resultados em duas sub-seções: uma para o procedimento de Carr e Madan e outra para a expansão assintótica. Em cada caso, apresentamos dados relativos às datas de análise 10/10/2008, 21/07/2009 e 20/10/2009. Apresentamos nas seções 7.4.1 e 7.4.2 tabelas contendo os parâmetros calibrados e comparações de preços

e volatilidades de mercado contra aqueles advindos de calibrações. Na seção 7.4.3 mostramos gráficos de superfície de volatilidade comparando números advindos de dados mercado contra pontos calibrados, representativos das referidas tabelas, para facilitar a visualização. Além disso, graficamos o comportamento de cada parâmetro em função do vencimento. Na seção 7.4.5, aplicamos aos conjuntos 1, 2 e 3 o método FFT sob a função característica do modelo de Black e Scholes (equação 2.19), comparando solução de Black e Scholes (equação 2.14).

# 7.4.1 Calibração Pelo Procedimento Carr e Madan de Apreçamento

A partir do conjunto de dados de 20/10/2008, com relação ao procedimento sugerido por Carr e Madan, as tabelas das figuras 7.1, 7.2 e 7.3 representam, respectivamente, resultados referentes a preços (sobre os quais as calibrações foram feitas), volatilidades e parâmetros calibrados. Já o gráfico da figura 7.4 apresenta da evolução dos parâmetros calibrados ao longo dos vários prazos calibrados, dispostos na tabela 7.3.

De forma análoga, as tabelas das figuras 7.5, 7.6, 7.7 e o gráfico da figura 7.8 são relativos ao conjunto de dados de 21/7/2009; enquanto as tabelas e gráfico das figuras 7.9, 7.10, 7.11 e 7.12 referem-se ao conjunto de dados de 20/10/2009.

Comparando as tabelas 7.1, 7.5 e 7.9 com respeito aos erros obtidos para diferentes prazos, o conjunto 1 (de 20/10/2008) apresentou, invariavelmente, os maiores valores ao se comparar prazos equivalentes entre os conjuntos. O conjunto 3 (20/10/2009) apresentou os menores erros (com exceção dos pontos de 14 e 21 meses). Isto pode ser notado no exame dos gráficos da seção 7.4.3, que comparam volatilidades de mercado com as calibradas pelos procedimentos: os referentes ao conjunto 1 mostram maior descolamento das superfícies calibradas em relação à superfície de mercado. Nota-se que, além da inclinação elevada (caracterizada por elevados valores de correlação,  $\rho$ , conforme a tabela da figura 7.3), as curvas de volatilidades implícitas do conjunto 1 apresentam pontos de inflexão ao redor dos deltas 50 a 65 (vide gráficos das figuras 7.25 a 7.30), não presentes nos demais conjuntos. Aparentemente, a correlação - que é importante para gerar inclinação - num valor limite, isto é, sem liberdade para aumentar, e a superfície com inflexão são limitações à calibração.

Para todos os conjuntos vemos que os parâmetros variam entre os prazos - conforme as tabelas de parâmetros (7.3, 7.7 e 7.11) - contrariando a idéia de que um

conjunto de parâmetros deva ser suficiente para calibrar todos os prazos de opções.

Analisando os três conjuntos, vemos que a velocidade de reversão à média da variância ( $\kappa$ ) acompanha a volatilidade da mesma ( $\varepsilon$ ). Além disso, verificamos que a correlação ( $\rho$ ) decresce com relação aos prazos, exceto para o primeiro conjunto, onde permanece em valores elevados, conforme já mencionado.

No caso do conjunto 1, de 20/10/2008, os valores da volatilidade da variância ( $\varepsilon$ ) foram elevados, variando de 61,77% a.a. à 132,33% a.a.; representando o período da crise subprime de elevada volatilidade no mercado. Os elevados valores de volatilidade da variância ( $\varepsilon$ ) também estão refletidos na concavidade da superfície de volatilidade implícita (gráficos das figuras 7.25 ao 7.30). Nota-se, novamente, a elevada inclinação dos smiles para os vários prazos, refletida no parâmetro de correlação ( $\rho$ ) elevado (próximo a 1).

Ainda com respeito ao conjunto 1 de dados, de acordo com o gráfico de parâmetros ao longo do tempo (figura 7.4), a volatilidade da variância decrescente aponta que o mercado apreçava na época uma melhoria num horizonte maior de tempo. Ademais, os valores da variância de longo prazo ( $\theta$ ) obtidos foram menores que os demais conjuntos, muito próximos de zero para todos os prazos calibrados. Já os valores da velocidade de reversão à média ( $\kappa$ ) apresentaram-se elevados para os prazos inferiores (7,3337, para três meses), decrescendo no caso de prazos superiores (2,1406, para 2 anos), sendo que, mesmo nestes casos, os valores obtidos foram maiores que aqueles referentes aos demais conjuntos calibrados, conforme pode ser visto comparando-se as tabelas de parâmetros (tabelas das figuras 7.3, 7.7 e 7.11). Em suma, para este período de crise, observamos elevada volatilidade da variância ( $\varepsilon$ ), com reversão à uma média de variância de longo prazo ( $\theta$ ) próxima de zero e elevada velocidade de reversão ( $\kappa$ ), enquanto a elevada inclinação do smile é representada por elevada correlação ( $\rho$ ).

No conjunto 2, de 21/07/2009, a volatilidade da variância ( $\varepsilon$ ) e a velocidade de reversão à média ( $\kappa$ ) crescem até o prazo de 12 meses, conforme a tabela da figura 7.7 e gráfico 7.8. Padrão semelhante é verificado no conjunto 3, de 20/10/2009, onde os valores máximos destes parâmetros ocorreram no prazo de 14 meses (vide tabela e gráfico das figuras 7.11 e 7.12). Notamos valores de volatilidade da variância ( $\varepsilon$ ) menores para estes conjuntos de dados: o conjunto 1, de 20/10/2008 apresentou média de 82,68%, com valores máximo e mínimo de 128,01% e 61,77%, respectivamente, enquanto o conjunto 2, de 21/07/2009, apresentou valores menores (média de 68,2%, máximo de 82,98% e mínimo de 55,80%), o mesmo se verificando para o conjunto 3, de 20/10/2009 (média de 63,04%, máximo de 91,01% e mínimo de 49%). Semelhantemente, a velocidade de reversão à média ( $\kappa$ ) apresentou o mesmo

padrão: no conjunto 1, média de 4,3801, máximo de 7,3337 e mínimo de 2,1406; ao passo que no conjunto 2 observamos também valores menores (média de 1,3645, máximo de 2,1751 e mínimo de 0,5952), idem para o conjunto 3 (média de 0,7180, máximo de 1,8022 e mínimo de 0,0100).

A variância de longo prazo  $(\theta)$  apresentou valores maiores para os conjuntos 2 e 3 que aqueles referentes ao conjunto 1 (próximo a zero). No caso do conjunto 2, obtivemos média de 6,87%, máximo de 15,94% e mínimo de 5,02%; e no conjunto 3 média de 8,31%, máximo de 12,74% e mínimo de 5,99%.

A correlação  $(\rho)$ , em comparação com o conjunto 1, onde apresentou valores próximos a 1, conforme já mencionado, decresceu para a região de 0,5 para os conjuntos 2 e 3. Mais precisamente, média de 0,4746, máximo de 0,5229 e mínimo de 0,4034 para o conjunto 2 e média de 0,4295, máximo de 0,5345 e mínimo de 0,3065 para o conjunto 3.

### Conjunto 1: 20/10/2008

Prazo			Pre	cos de Opçõe	es de Compra	ì		Precos de Sv	vaps de Variância	(Erro Quadrático)^0.5
(meses)	Conjunto			delt		-				x 1E5
(	, ,	25	35	50	- 65	75	85	VAR SWAP (d)	VAR SWAP (d+1)	
3	Mercado	56,58	80,52	122,61	170,83	205,09	253,82	0,10896	0,10779	978,62
	Calibração	55,65	81,92	122,22	169,04	204,99	252,52	0,10948	0,10830	
5	Mercado	61,87	86,05	130,64	175,78	209.79	256.65	0.07708	0.07665	1.966,48
	Calibração	60,70	87,62	126,96	173,14	208,42	254,23	0,07911	0,07846	
6	Mercado	64,21	88,94	134,31	179,72	212,56	258,28	0,06922	0,06889	1.604,65
	Calibração	62,47	91,25	132,23	178,52	212,29	255,00	0,07000	0,06949	
7	Mercado	66,52	94,41	138,77	186,42	219,77	264,88	0,06531	0,06518	933,64
	Calibração	65,44	94,42	138,72	186,08	220,10	261,73	0,06622	0,06580	
8	Mercado	68,65	98,44	143,08	192,45	226,60	271,45	0,06207	0,06191	848,10
	Calibração	68,27	97,73	143,98	192,07	226,30	266,85	0,06272	0,06236	
9	Mercado	70,68	101,56	147,33	197,72	232,30	277,23	0.05930	0,05919	831,96
	Calibração	70,25	100,81	148,63	197,65	232,10	272,24	0,05974	0,05944	,
10	Mercado	72,78	104,78	152,09	203,66	239,04	284,53	0,05745	0,05737	849,96
	Calibração	72,36	103,96	153,40	203,73	238,85	279,32	0,05788	0,05761	
11	Mercado	74,58	107,46	155,82	208,60	243,71	288,76	0,05543	0,05532	862,36
	Calibração	74,12	106,63	157,32	208,38	243,57	283,54	0,05583	0,05559	
12	Mercado	76,31	110,02	159,39	212,89	248,77	293,84	0,05372	0,05367	939,38
	Calibração	75,76	109,11	161,00	212,82	248,32	288,13	0,05418	0,05397	
13	Mercado	78,23	112,91	163,72	217,65	255,99	302,81	0,05265	0,05259	2.102,41
	Calibração	77,72	108,68	160,50	215,87	255,68	301,30	0,05422	0,05401	
14	Mercado	80,00	115,56	167,72	222,03	262,49	311,12	0,05158	0,05152	2.243,22
	Calibração	79,46	111,03	164,02	220,74	261,61	308,64	0,05322	0,05302	
15	Mercado	81,63	117,98	171,30	226,13	268,08	318,15	0,05061	0,05056	2.374,76
	Calibração	81,07	113,16	167,20	225,09	266,79	314,91	0,05230	0,05212	
17	Mercado	84,48	122,23	177,35	233,39	277,17	329,10	0,04878	0,04873	2.602,26
	Calibração	83,90	116,83	172,67	232,46	275,34	324,82	0,05056	0,05040	
19	Mercado	87,15	126,17	182,97	240,26	285,66	339,27	0,04698	0,04693	2.896,03
	Calibração	86,45	120,15	177,60	239,13	283,07	333,77	0,04889	0,04875	
21	Mercado	89,42	129,49	187,77	246,07	292,77	347,67	0,04520	0,04518	2.659,95
	Calibração	92,56	124,66	180,45	242,55	288,46	343,21	0,04623	0,04610	
24	Mercado	91,74	132,76	192,46	251,47	299,21	354,81	0,04264	0,04259	2.126,87
	Calibração	94,64	128,38	186,64	250,66	296,79	350,90	0,04328	0,04318	

Figura 7.1: Conjunto 1 (20/10/2008): comparação entre preços obtidos na calibração do modelo de Heston utilizando transformada rápida de Fourier e preços de mercado.

Prazo			Volatilid	ades de Op	ções de Co	mpra	
(meses)	Conjunto			delt		•	
		25	35	50	65	75	85
3	Mercado	40,55%	36,56%	33,03%	29,76%	27,06%	25,08%
	Calibração	40,71%	36,36%	33,05%	29,91%	27,06%	25,11%
5	Mercado	35,79%	31,48%	28,42%	24,71%	22,40%	20,64%
	Calibração	35,97%	31,24%	28,58%	24,95%	22,47%	20,71%
6	Mercado	34,60%	30,31%	27,22%	23,56%	21,18%	19,44%
	Calibração	34,86%	29,95%	27,31%	23,67%	21,19%	19,53%
7	Mercado	33,89%	30,52%	26,62%	23,18%	20,80%	18,97%
	Calibração	34,02%	30,52%	26,63%	23,20%	20,78%	19,06%
8	Mercado	33,36%	30,41%	26,21%	22,89%	20,53%	18,66%
	Calibração	33,40%	30,48%	26,14%	22,91%	20,55%	18,79%
9	Mercado	33,00%	30,16%	25,96%	22,64%	20,29%	18,41%
	Calibração	33,04%	30,23%	25,86%	22,65%	20,30%	18,55%
10	Mercado	32,83%	30,09%	25,94%	22,59%	20,25%	18,36%
	Calibração	32,87%	30,16%	25,83%	22,58%	20,26%	18,50%
11	Mercado	32,64%	29,95%	25,80%	22,49%	20,08%	18,15%
	Calibração	32,68%	30,02%	25,68%	22,50%	20,09%	18,28%
12	Mercado	32,53%	29,89%	25,74%	22,40%	20,03%	18,08%
	Calibração	32,58%	29,96%	25,61%	22,41%	20,06%	18,23%
13	Mercado	32,58%	29,98%	25,86%	22,41%	20,20%	18,31%
	Calibração	32,62%	30,28%	26,14%	22,50%	20,22%	18,35%
14	Mercado	32,62%	30,07%	25,98%	22,42%	20,35%	18,52%
	Calibração	32,66%	30,37%	26,29%	22,48%	20,39%	18,59%
15	Mercado	32,67%	30,15%	26,07%	22,44%	20,47%	18,69%
	Calibração	32,71%	30,45%	26,42%	22,50%	20,52%	18,78%
17	Mercado	32,79%	30,32%	26,24%	22,54%	20,64%	18,93%
	Calibração	32,83%	30,65%	26,63%	22,59%	20,71%	19,05%
19	Mercado	32,92%	30,49%	26,39%	22,65%	20,80%	19,14%
	Calibração	32,97%	30,83%	26,85%	22,70%	20,90%	19,29%
21	Mercado	33,05%	30,64%	26,55%	22,76%	20,96%	19,34%
	Calibração	32,83%	30,91%	27,17%	22,92%	21,11%	19,46%
24	Mercado	33,26%	30,86%	26,78%	22,93%	21,19%	19,62%
	Calibração	33,06%	31,09%	27,27%	22,93%	21,13%	19,72%

Figura 7.2: Conjunto 1 (20/10/2008): comparação entre volatilidades implícitas obtidas na calibração do modelo de Heston utilizando transformada rápida de Fourier e volatilidades de mercado.

Prazo		Parâme	etros de He	ston	
(meses)	Volatilidade Inicial	θ	К	ρ	ε
3	49,70%	-	7,3337	0,8429	128,01%
5	49,70%	0,0012	6,7196	0,8233	132,33%
6	49,70%	-	6,3247	0,9999	100,41%
7	49,70%	0,0018	5,8230	0,9999	94,64%
8	49,70%	0,0028	5,4299	0,9960	81,89%
9	49,70%	0,0038	5,0964	0,9999	77,19%
10	49,70%	0,0044	4,7359	0,9999	74,69%
11	49,70%	0,0053	4,4892	0,9999	73,99%
12	49,70%	0,0063	4,2647	0,9999	74,06%
13	49,70%	-	3,5609	0,9999	74,46%
14	49,70%	-	3,3308	0,9999	71,60%
15	49,70%	-	3,1309	0,9999	69,16%
	40 =004				a= 100/
17	49,70%	-	2,7974	0,9999	65,12%
10	40.700/		0 F040	0.0000	61 770/
19	49,70%	-	2,5319	0,9999	61,77%
21	40 <del>7</del> 00/		2 2711	0 8052	77 260/
21	49,70%	-	2,3714	0,8953	77,26%
24	49,70%	_	2,1406	0,9559	66,27%
<u> </u>	+3,1∪/0	-	2,1400	0,9009	00,27 %

Figura 7.3: Conjunto 1 (20/10/2008): parâmetros obtidos nas calibrações do modelo de Heston utilizando transformada rápida de Fourier.

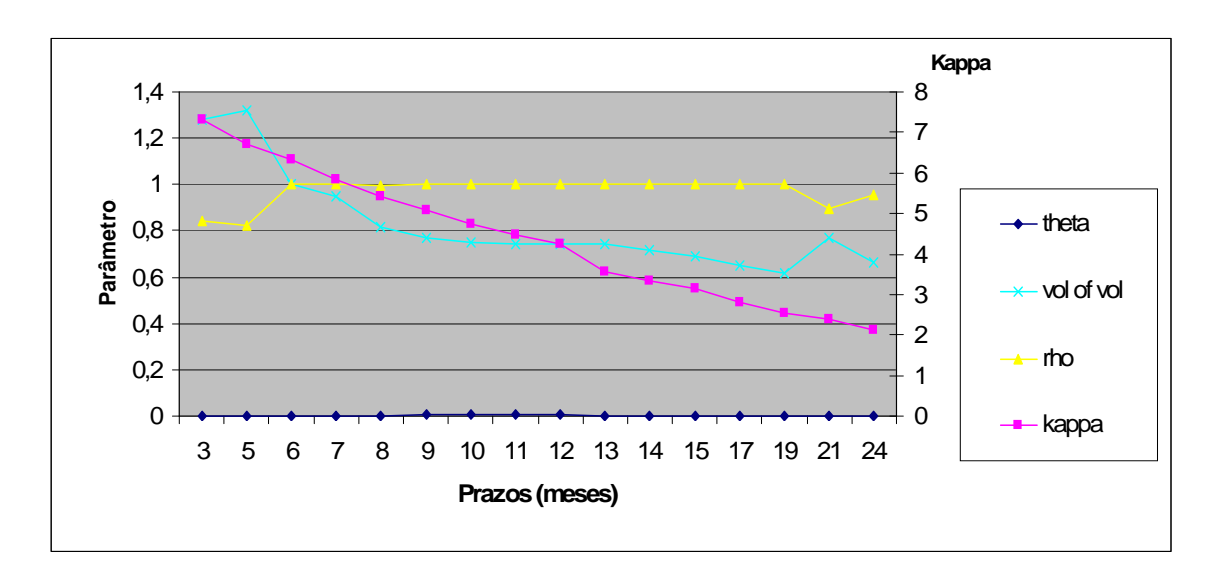


Figura 7.4: Conjunto 1 (20/10/2008): gráfico de evolução temporal dos parâmetros obtidos nas calibrações do modelo de Heston utilizando transformada rápida de Fourier.

### Conjunto 2: 21/07/2009

Prazo			Pre	ços de Opçõ	es de Compra	a		Preços de Sv	vaps de Variância	(Erro Quadrático)^0.
(meses)	Conjunto			delt	a					x 1E5
		25	35	50	65	75			VAR SWAP (d+1)	
3	Mercado	29,38	42,33	65,57	95,55	122,89	164,09	0,03859	0,03864	729,21
	Calibração	29,03	42,82	65,58	94,90	122,02	163,14	0,03868	0,03880	
5	Mercado	37,95	54,44	83,95	121,59	155,73	207,16	0,03965	0,03966	616,4
	Calibração	37,57	55,05	83,83	120,90	154,99	206,38	0,03971	0,03979	
6	Mercado	41,39	59,29	91,31	132,06	168,86	224,12	0,03982	0,03983	578,2
	Calibração	41,01	59,94	91,15	131,36	168,19	223,44	0,03987	0,03993	
7	Mercado	43,46	62,21	95,72	138,31	176,70	234,14	0,03988	0,03988	553,1
	Calibração	43,09	62,88	95,53	137,61	176,07	233,53	0,03993	0,03998	
8	Mercado	47,23	67,51	103,75	149,67	190,82	251,96	0,03986	0,03986	524,0
	Calibração	46,85	68,22	103,52	148,96	190,25	251,43	0,03990	0,03994	
9	Mercado	49,76	71,08	109,16	157,31	200,27	263,70	0,03977	0,03976	508,6
	Calibração	49,38	71,82	108,90	156,58	199,74	263,25	0,03981	0,03984	
10	Mercado	52,06	74,32	114,03	164,17	208,66	273,97	0,03963	0,03962	490,0
	Calibração	51,68	75,07	113,76	163,43	208,17	273,55	0,03967	0,03969	
11	Mercado	54,19	77,35	118,60	170,54	216,42	283,41	0,03945	0,03944	468,6
	Calibração	53,82	78,11	118,31	169,82	215,99	283,02	0,03949	0,03950	
12	Mercado	56,16	80,16	122,80	176,33	223,45	291,80	0,03926	0,03925	444,3
	Calibração	55,80	80,91	122,49	175,64	223,06	291,45	0,03929	0,03930	
13	Mercado	58,01	82,74	126,69	181,63	229,92	299,48	0,03904	0,03903	401,2
	Calibração	57,72	83,05	127,00	181,66	228,88	297,25	0,03911	0,03911	
14	Mercado	58,60	83,57	127,93	183,33	231,98	301,93	0,03896	0,03894	664,6
	Calibração	59,19	84,55	127,45	182,34	230,57	300,20	0,03901	0,03902	
15	Mercado	61,35	87,42	133,69	191,14	241,44	313,04	0,03849	0,03847	952,6
	Calibração	61,16	88,54	134,83	192,47	241,66	311,23	0,03794	0,03794	
17	Mercado	64,24	91,46	139,70	199,26	251,14	324,21	0,03787	0,03785	893,9
	Calibração	64,06	92,73	140,65	200,49	251,51	322,93	0,03737	0,03737	
19	Mercado	66,80	95,05	145,01	206,32	259,50	333,67	0,03724	0,03723	270,1
	Calibração	66,59	95,59	144,48	206,23	259,27	333,25	0,03726	0,03726	
21	Mercado	69,01	98,13	149,52	212,22	266,35	341,14	0,03664	0,03663	308,5
	Calibração	68,78	98,78	148,84	212,13	266,31	341,08	0,03665	0,03665	
24	Mercado	71,65	101,79	154,77	218,87	273,69	348,44	0,03574	0,03573	716,6
	Calibração	71,19	101,62	152,37	217,23	272,90	348,80	0,03594	0,03593	

Figura 7.5: Conjunto 2 (21/07/2009): comparação entre preços obtidos na calibração do modelo de Heston utilizando transformada rápida de Fourier e preços de mercado.

Prazo			Volatilid	ades de Op	ções de Co	mpra	
(meses)	Conjunto			delt		•	
		25	35	50	65	75	85
3	Mercado	21,97%	20,05%	18,40%	17,32%	16,89%	16,86%
	Calibração	22,03%	20,00%	18,39%	17,33%	16,90%	16,85%
5	Mercado	22,49%	20,44%	18,69%	17,51%	17,04%	17,01%
	Calibração	22,55%	20,38%	18,69%	17,53%	17,04%	17,01%
6	Mercado	22,63%	20,54%	18,76%	17,57%	17,08%	17,05%
	Calibração	22,68%	20,48%	18,76%	17,58%	17,09%	17,04%
7	Mercado	22,71%	20,60%	18,80%	17,60%	17,11%	17,07%
	Calibração	22,76%	20,54%	18,80%	17,61%	17,11%	17,06%
8	Mercado	22,83%	20,68%	18,87%	17,65%	17,15%	17,08%
	Calibração	22,88%	20,63%	18,88%	17,67%	17,15%	17,08%
9	Mercado	22,91%	20,74%	18,91%	17,69%	17,18%	17,09%
	Calibração	22,96%	20,68%	18,92%	17,71%	17,18%	17,09%
10	Mercado	22,98%	20,80%	18,96%	17,73%	17,20%	17,10%
	Calibração	23,03%	20,74%	18,97%	17,75%	17,21%	17,10%
11	Mercado	23,05%	20,85%	19,01%	17,77%	17,23%	17,11%
	Calibração	23,09%	20,80%	19,01%	17,78%	17,23%	17,11%
12	Mercado	23,11%	20,92%	19,06%	17,81%	17,26%	17,12%
	Calibração	23,16%	20,86%	19,07%	17,82%	17,26%	17,12%
13	Mercado	23,19%	20,97%	19,11%	17,84%	17,29%	17,13%
	Calibração	23,22%	20,95%	19,10%	17,84%	17,30%	17,13%
14	Mercado	23,21%	20,99%	19,12%	17,85%	17,30%	17,14%
	Calibração	23,15%	20,92%	19,14%	17,87%	17,31%	17,14%
15	Mercado	23,31%	21,07%	19,19%	17,90%	17,34%	17,16%
	Calibração	23,33%	20,99%	19,16%	17,88%	17,34%	17,16%
17	Mercado	23,41%	21,15%	19,26%	17,95%	17,38%	17,18%
	Calibração	23,43%	21,07%	19,24%	17,93%	17,38%	17,18%
19	Mercado	23,51%	21,23%	19,34%	18,00%	17,43%	17,21%
	Calibração	23,53%	21,20%	19,35%	18,00%	17,43%	17,21%
21	Mercado	23,61%	21,32%	19,41%	18,06%	17,47%	17,24%
	Calibração	23,64%	21,28%	19,43%	18,06%	17,48%	17,24%
24	Mercado	23,77%	21,46%	19,53%	18,15%	17,55%	17,30%
	Calibração	23,81%	21,47%	19,59%	18,18%	17,55%	17,30%

Figura 7.6: Conjunto 2 (21/07/2009): comparação entre volatilidades implícitas obtidas na calibração do modelo de Heston utilizando transformada rápida de Fourier e volatilidades de mercado.

Prazo		Parâme	etros de He	ston	
(meses)	Volatilidade Inicial	θ	κ	ρ	3
3	17,41%	0,1594	0,5952	0,5229	69,72%
5	17,41%	0,1119	0,6949	0,5067	63,09%
6	17,41%	0,0894	0,8709	0,4984	62,80%
7	17,41%	0,0805	0,9758	0,4924	63,23%
8	17,41%	0,0665	1,2696	0,4845	65,94%
9	17,41%	0,0613	1,4290	0,4787	68,02%
10	17,41%	0,0567	1,6638	0,4740	72,02%
11	17,41%	0,0534	1,9176	0,4698	77,01%
12	17,41%	0,0512	2,1751	0,4661	82,98%
13	17,41%	0,0512	2,0550	0,4708	82,40%
14	17,41%	0,0517	1,9142	0,4815	80,07%
15	17,41%	0,0502	1,7890	0,4913	69,06%
17	17,41%	0,0508	1,4959	0,4800	64,03%
19	17,41%	0,0534	1,1889	0,4402	63,67%
21	17,41%	0,0541	1,0317	0,4325	59,72%
24	17,41%	0,0572	0,7660	0,4034	55,80%

Figura 7.7: Conjunto 2 (21/07/2009): parâmetros obtidos nas calibrações do modelo de Heston utilizando transformada rápida de Fourier.

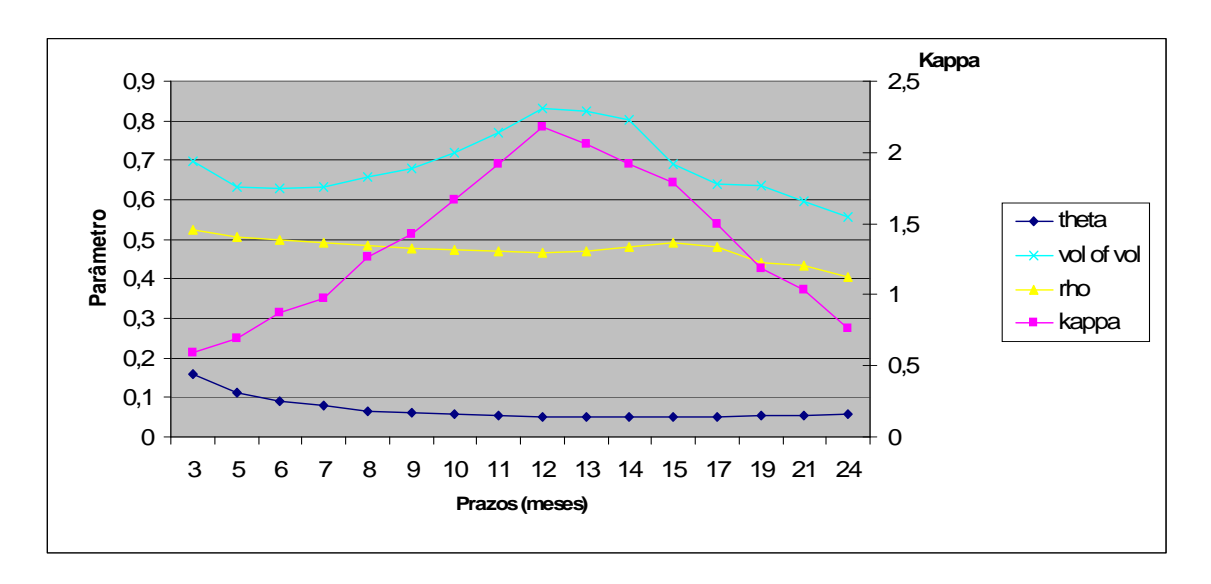


Figura 7.8: Conjunto 2 (21/07/2009): gráfico de evolução temporal dos parâmetros obtidos nas calibrações do modelo de Heston utilizando transformada rápida de Fourier.

### Conjunto 3: 20/10/2009

Prazo			Pre	cos de Opçõe	es de Compra	ì		Precos de Sv	vaps de Variância	(Erro Quadrático)^0.5
(meses)	Conjunto			delt		-				x 1E5
(	, , ,	25	35	50	65	75	85	VAR SWAP (d)	VAR SWAP (d+1)	
3	Mercado	26,23	37,96	58,06	84,36	108,61	143,75	0,03589	0,03592	594,73
	Calibração	25,99	38,18	58,29	83,79	107,72	143,19	0,03603	0,03602	
_	Manada	04.04	10.11	75.00	400.00	440.04	405.57	0.00770	0.00700	405.45
5	Mercado	34,21	49,41	75,26	109,03	140,21	185,57	0,03778	0,03782	425,15
	Calibração	34,00	49,62	75,49	108,44	139,40	185,23	0,03789	0,03788	
6	Mercado	37,63	54,30	82,61	119,51	153,60	203,09	0.03867	0,03872	333,23
	Calibração	37,45	54,49	82,82	118,97	152,89	202,95	0,03876	0,03876	
7	Managla	40.77	E0 00	00.05	400.40	405.70	040.00	0.02055	0.02050	250.45
7	Mercado	40,77	58,80	89,35	129,10	165,76	218,83	0,03955	0,03958	256,15
	Calibração	40,63	58,95	89,55	128,62	165,17	218,89	0,03960	0,03961	
8	Mercado	43,67	62,93	95,52	137,90	176,91	233,18	0.04027	0,04031	202,07
	Calibração	43,57	63,04	95,72	137,48	176,40	233,38	0,04031	0,04032	,
9	Mercado	46,37	CC 77	404.07	440.00	407.05	040.40	0.04094	0.04097	454.00
9		,	66,77	101,27	146,08	187,25	246,43	- ,	-,	154,93
	Calibração	46,31	66,83	101,45	145,73	186,85	246,79	0,04097	0,04097	
10	Mercado	48,84	70,26	106,52	153,53	196,68	258,46	0,04146	0,04148	125,64
	Calibração	48,80	70,29	106,69	153,25	196,37	258,97	0,04146	0,04148	
11	Mercado	51,06	73,44	111,29	160,32	205,27	269,45	0,04178	0,04179	112,16
	Calibração	51,05	73,40	111,48	160,12	204,94	269,86	0,04177	0,04180	
12	Mercado	51,95	74,71	113,20	163,07	208,77	273,98	0,04187	0,04188	110,53
	Calibração	51,96	74,64	113,40	162,90	208,48	274,43	0,04187	0,04189	.,
	-									
13	Mercado	54,97	79,01	119,71	172,39	220,70	289,11	0,04225	0,04226	117,47
	Calibração	55,02	78,87	119,91	172,35	220,44	289,59	0,04225	0,04226	
14	Mercado	55,56	79,86	121,00	174,22	223,03	292,04	0,04230	0,04231	871,25
	Calibração	55,04	78,53	119,73	172,98	221,72	292,10	0,04210	0,04211	01.1,20
	•									
15	Mercado	57,20	82,19	124,52	179,22	229,41	300,00	0,04245	0,04245	125,71
	Calibração	57,27	82,03	124,67	179,29	229,17	300,64	0,04243	0,04244	
17	Mercado	60,10	86,30	130,71	187,90	240,31	313,35	0.04250	0,04250	176,16
11	Calibração	60,23	86,09	130,76	188,03	240,35	314,48	0,04247	0,04248	170,10
	Odiibidgdo	00,20	00,00	100,10	100,00	210,00	011,10	0,01211	0,01210	
19	Mercado	63,67	91,36	138,34	198,34	253,16	328,64	0,04216	0,04215	239,55
	Calibração	63,86	91,15	138,22	198,68	253,40	330,27	0,04211	0,04211	
21	Mercado	65,80	94,40	142,99	204,51	260,66	337,37	0,04173	0,04173	319,15
21	Calibração	66,03	94,40	142,99	204,51	261,31	339,54	0,04173	0,04168	319,15
	Calibraçã0	00,03	9 <del>4</del> ,10	142,01	200,01	201,31	333,34	0,04107	0,04100	
24	Mercado	68,49	98,22	148,82	212,06	269,59	347,42	0,04101	0,04100	445,95
	Calibração	68,77	97,99	148,15	212,78	270,78	350,47	0,04092	0,04093	

Figura 7.9: Conjunto 3 (20/10/2009): comparação entre preços obtidos na calibração do modelo de Heston utilizando transformada rápida de Fourier e preços de mercado.

Prazo			Volatilid	ades de Op	cões de Co	mpra	
(meses)	Conjunto			delt			
(/		25	35	50	65	75	85
3	Mercado	21,34%	19,57%	17,71%	16,62%	16,22%	16,02%
	Calibração	21,39%	19,55%	17,70%	16,63%	16,23%	16,02%
5	Mercado	22,05%	20,19%	18,20%	17,06%	16,66%	16,53%
	Calibração	22,09%	20,16%	18,19%	17,07%	16,67%	16,53%
6	Mercado Calibração	22,38% 22,40%	20,47% 20,45%	18,45% 18,43%	17,27% 17,28%	16,88% 16,89%	16,76% 16,76%
	•	,	,	,		,	·
7	Mercado	22,70%	20,76%	18,69%	17,49%	17,10%	16,98%
	Calibração	22,72%	20,74%	18,68%	17,50%	17,10%	16,98%
8	Mercado	22,98%	21,00%	18,89%	17,68%	17,29%	17,17%
	Calibração	22,99%	20,99%	18,88%	17,69%	17,29%	17,17%
9	Mercado	23,25%	21,22%	19,09%	17,87%	17,47%	17,36%
	Calibração	23,25%	21,22%	19,08%	17,87%	17,47%	17,36%
10	Mercado	23,47%	21,41%	19,26%	18,03%	17,63%	17,53%
	Calibração	23,47%	21,41%	19,25%	18,03%	17,64%	17,53%
11	Mercado	23,62%	21,55%	19,38%	18,15%	17,77%	17,67%
	Calibração	23,63%	21,55%	19,37%	18,15%	17,77%	17,67%
12	Mercado	23,68%	21,60%	19,43%	18,20%	17,82%	17,73%
	Calibração	23,68%	21,61%	19,42%	18,20%	17,82%	17,73%
13	Mercado	23,88%	21,78%	19,61%	18,39%	18,04%	17,98%
	Calibração	23,88%	21,79%	19,60%	18,39%	18,04%	17,98%
14	Mercado	23,92%	21,82%	19,64%	18,42%	18,08%	18,02%
	Calibração	23,98%	21,91%	19,69%	18,44%	18,08%	18,02%
15	Mercado	24,03%	21,92%	19,74%	18,53%	18,20%	18,15%
	Calibração	24,03%	21,93%	19,73%	18,53%	18,20%	18,15%
17	Mercado	24,23%	22,09%	19,91%	18,70%	18,40%	18,36%
	Calibração	24,22%	22,10%	19,91%	18,70%	18,40%	18,36%
19	Mercado	24,43%	22,27%	20,10%	18,88%	18,59%	18,57%
	Calibração	24,41%	22,28%	20,11%	18,87%	18,59%	18,57%
21	Mercado	24,52%	22,36%	20,21%	18,96%	18,69%	18,67%
	Calibração	24,50%	22,37%	20,22%	18,96%	18,69%	18,67%
24	Mercado	24,63%	22,47%	20,36%	19,07%	18,80%	18,79%
	Calibração	24,60%	22,48%	20,38%	19,06%	18,80%	18,79%

Figura 7.10: Conjunto 3 (20/10/2009): comparação entre volatilidades implícitas obtidas na calibração do modelo de Heston utilizando transformada rápida de Fourier e volatilidades de mercado.

Prazo		Parâme	etros de He	ston	
(meses)	Volatilidade Inicial	θ	κ	ρ	ε
3	19,16%	0,0700	0,0100	0,5345	58,38%
5	19,51%	0,1089	0,0772	0,5043	50,82%
6	19,51%	0,1274	0,1055	0,4910	49,28%
7	19,51%	0,1061	0,1834	0,4800	49,00%
8	19,51%	0,0846	0,3165	0,4704	50,02%
9	19,51%	0,0748	0,4578	0,4599	51,96%
10	18,56%	0,0922	0,4826	0,4523	53,90%
11	17,11%	0,0886	0,7308	0,4472	60,58%
12	17,11%	0,0820	0,8344	0,4411	62,81%
13	17,11%	0,0651	1,4063	0,4187	77,11%
14	17,11%	0,0599	1,8022	0,4039	91,01%
15	17,11%	0,0617	1,6452	0,4012	85,46%
17	17,11%	0,0662	1,2648	0,3772	78,07%
19	17,11%	0,0697	0,9988	0,3514	72,04%
21	17,11%	0,0746	0,7805	0,3322	65,77%
24	17,11%	0,0984	0,3921	0,3065	52,37%

Figura 7.11: Conjunto 3 (20/10/2009): parâmetros obtidos nas calibrações do modelo de Heston utilizando transformada rápida de Fourier.

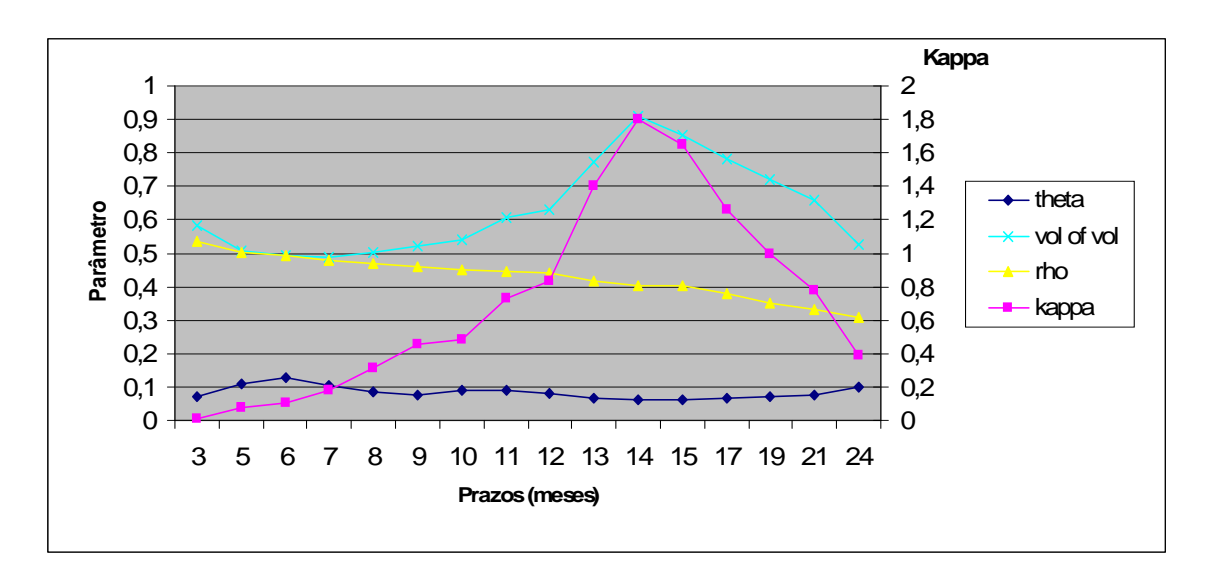


Figura 7.12: Conjunto 3 (20/10/2009): gráfico de evolução temporal dos parâmetros obtidos nas calibrações do modelo de Heston utilizando transformada rápida de Fourier.

## 7.4.2 Calibração Pelo Método de Expansão Assintótica de Apreçamento

Assim como no caso do método de Carr e Madan, para o método de expansão assintótica, as tabelas das figuras 7.13, 7.14 e 7.15 representam, respectivamente, tabelas com resultados referentes a preços (sobre os quais as calibrações foram feitas), volatilidades e parâmetros calibrados para o conjunto 1, de 20/10/2008. Já o gráfico da figura 7.16 apresenta a evolução dos parâmetros calibrados ao longo dos vários prazos calibrados, dispostos na tabela 7.15.

De forma análoga, as tabelas das figuras 7.17, 7.18, 7.19 e o gráfico da figura 7.20 são relativos ao conjunto de dados de 21/7/2009; enquanto as tabelas 7.21, 7.22, 7.23 e o gráfico 7.24 referem-se ao conjunto de dados de 20/10/2009.

Com respeito aos erros obtidos nas calibrações de preços, assim como no caso do procedimento de Carr e Madan, a comparação das tabelas 7.13, 7.17 e 7.21 mostra que o conjunto 1 de dados, referente a 20/10/2008, apresentou novamente os maiores valores, exceto nos casos de três e sete meses. Os menores valores ocorreram para o conjunto 2, de 21/7/2009 (exceto pelo ponto de três meses). Além dos fatos apontados na seção 7.4.1, apontamos aqui que o método de expansão assintótica pressupõe que a volatilidade da variância ( $\varepsilon$ ) seja pequena, o que não acontece principalmente durante na crise de 2008 dos títulos subprime. Como conseqüência, os erros obtidos na calibração em média foram superiores ao método da seção 7.4.1.

Aqui também verificamos que os parâmetros calibrados variam com relação ao prazo de vencimento, conforme as tabelas das figuras 7.15, 7.19 e 7.23. Também notamos que a velocidade de reversão à média da variância ( $\kappa$ ) acompanha a volatilidade da mesma ( $\varepsilon$ ), tal como no caso da seção 7.4.1. Adicionalmente, a correlação ( $\rho$ ) decresce com relação aos prazos, exceto para o primeiro conjunto, onde permanece em valores elevados.

Para o conjunto 1, de 20/10/2008, tal como nas calibrações da seção 7.4.1, a tabela da figura 7.15 mostra elevados valores de volatilidade da variância ( $\varepsilon$ ) para este período de crise, variando de 48,03% à 231,50%. Neste caso, também obtivemos valores de correlação ( $\rho$ ) próximos a um e variância de longo prazo ( $\theta$ ) próxima a zero. Os valores da velocidade de reversão à média ( $\kappa$ ) também apresentaram-se elevados (partindo de 21,42 para 3 meses) no caso deste conjunto e, reproduzindo os resultados da seção 7.4.1, decrescem ao longo dos prazos, juntamente com aqueles da volatilidade da variância ( $\varepsilon$ ). Novamente, neste conjunto, o valor mínimo da velocidade de reversão à média ( $\kappa$ ), 2,1134, foi superior àqueles advindos dos demais conjuntos (vide tabelas das figuras 7.19 e 7.23).

O conjunto 2, de 21/7/2009, apresentou padrão semelhante de decrescimento para os parâmetros de volatilidade da variância ( $\varepsilon$ ) e velocidade de reversão à média da variância ( $\kappa$ ), segundo a tabela da figura 7.19 e o gráfico da figura 7.20; enquanto o conjunto 3, de 20/10/2009, apresentou um padrão semelhante àquele do seu análogo no processo de calibração da seção 7.4.1, ou seja, crescimento até 14 meses (vide tabela e gráfico das figuras 7.23 e 7.24, respectivamente).

Para os conjuntos 2 e 3 verificamos também valores menores de volatilidade da variância  $(\varepsilon)$  em comparação com os obtidos no conjunto 1. De fato, neste conjunto obtivemos média 84,12% e valores máximo e mínimo de 231,50% e 48,03%, respectivamente, ao passo que para o conjunto 2 obtivemos média de 41,91% e valores máximo e mínimo de 63,54% e 29,77%, respectivamente, enquanto no conjunto 3 a média foi de 48,15% e os valores máximo e mínimo foram de 57,41% e 34,51%. Conforme já mencionado, a velocidade de reversão à média  $(\kappa)$  para os conjuntos 2 e 3 apresentou valores menores que a do conjunto 1: este apresentou média de 5,3938 e valor máximo de 21,4216 e mínimo de 2,1134, ao passo que o conjunto 2 apresentou média de 0,1848, valor máximo de 0,2632 e mínimo de 0,1369 e o conjunto 3 média de 0,4823, valor máximo de 1,1297 e mínimo de 0,1105.

Tal como no caso da seção 7.4.1, a variância de longo prazo  $(\theta)$  apresentou valores maiores para os conjuntos 2 e 3 em comparação com o conjunto 1 (valores próximos a zero). Também com relação ao análogo da seção 7.4.1, os valores relativos ao conjunto 2 foram mais elevados. No caso do conjunto 2, obtivemos média de 19,71%, máximo de 31,45% e mínimo de 11,60%; e no conjunto 3 média de 10,69%, máximo de 22,54% e mínimo de 6,94%.

A correlação  $(\rho)$ , conforme já mencionado, permaneceu em valores elevados, próximos a 1, para o conjunto 1. Para os conjuntos 2 e 3, este parâmetro oscilou em torno de 0,40, apresentando o mesmo comportamento de queda que o da seção 7.4.1. Para o conjunto 2, de 21/7/2009, observamos média de 0,4252, máximo de 0,5107 e mínimo de 0,3640; enquanto que para o conjunto 3, de 20/10/2009, obtivemos média de 0,3892, máximo de 0,5396 e mínimo de 0,2570.

### Conjunto 1: 20/10/2008

Prazo			Pre	cos de Opçõe	es de Compra	1		Precos de Su	vaps de Variância	(Erro Quadrático)^0.5
(meses)	Conjunto		delta					1 10000 00 01	rapo do variancia	x 1E5
(1110000)	Conjunto	25	35	50	65	75	85	VAR SWAP (d)	VAR SWAP (d+1)	X 120
3	Mercado	56,58	80,52	122,61	170,83	205,09	253,82	0,10896	0,10779	613,95
	Calibração	56,10	81,25	122,18	169,86	205,70	251,74	0,10952	0,10901	,
	,	,	- / -	, -	,		- /	-,	-,	
5	Mercado	61,87	86,05	130,64	175,78	209,79	256,65	0,07708	0,07665	1.003,89
	Calibração	61,13	87,44	128,78	175,96	210,45	253,56	0,07759	0,07711	
	•									
6	Mercado	64,21	88,94	134,31	179,72	212,56	258,28	0,06922	0,06889	1.013,89
	Calibração	63,37	90,54	132,85	180,07	213,75	255,22	0,06958	0,06907	
7	Mercado	66,52	94,41	138,77	186,42	219,77	264,88	0,06531	0,06518	675,85
	Calibração	66,68	93,19	138,48	186,96	221,39	262,66	0,06579	0,06536	
8	Mercado	68,65	98,44	143,08	192,45	226,60	271,45	0,06207	0,06191	1.162,77
	Calibração	69,27	95,65	143,03	193,08	228,59	270,23	0,06262	0,06226	
9	Mercado	70,68	101,56	147,33	197,72	232,30	277,23	0,05930	0,05919	2.226,80
	Calibração	68,86	96,95	147,56	200,99	238,43	281,34	0,05974	0,05944	
40	Managala	70.70	404.70	450.00	202.00	220.04	204.52	0.05745	0.05707	4.547.00
10	Mercado	72,78	104,78	152,09	203,66	239,04	284,53	0,05745	0,05737	1.547,96
	Calibração	73,83	100,88	151,16	204,42	241,90	284,80	0,05802	0,05774	
11	Mercado	74,58	107,46	155,82	208,60	243,71	288,76	0,05543	0,05532	1.735,34
''	Calibração	74,56 75,83	107,46	155,62	208,99	243,71	290,09	0,05602	0,05577	1.735,34
	Calibração	75,05	100,00	134,40	200,33	247,10	230,03	0,03002	0,00011	
12	Mercado	76,31	110,02	159,39	212,89	248,77	293,84	0.05372	0,05367	1.901,90
'-	Calibração	77,70	105,12	157,59	213,34	252,28	295,70	0,05436	0,05414	1.001,00
	oaayao	,. 0	.00,.2	101,00	2.0,0.	202,20	200,.0	0,00.00	0,00	
13	Mercado	78,23	112,91	163,72	217,65	255,99	302,81	0,05265	0,05259	2.017,73
	Calibração	79,69	107,56	161,41	218,82	259,13	304,16	0,05336	0,05315	
	•									
14	Mercado	80,00	115,56	167,72	222,03	262,49	311,12	0,05158	0,05152	2.146,68
	Calibração	81,53	109,79	164,87	223,84	265,34	311,90	0,05235	0,05216	
15	Mercado	81,63	117,98	171,30	226,13	268,08	318,15	0,05061	0,05056	2.273,33
	Calibração	83,25	111,81	167,98	228,34	270,80	318,57	0,05143	0,05125	
17	Mercado	84,48	122,23	177,35	233,39	277,17	329,10	0,04878	0,04873	2.506,83
	Calibração	86,35	115,26	173,30	236,00	279,93	329,33	0,04965	0,04950	
40	Managala	07.45	400 47	400.07	040.00	205.00	220.07	0.04000	0.04000	0.740.50
19	Mercado	87,15	126,17	182,97	240,26	285,66	339,27	0,04698	0,04693	2.740,58
	Calibração	89,22	118,41	178,06	242,94	288,22	339,13	0,04795	0,04781	
21	Mercado	89,42	129,49	187,77	246,07	292,77	347,67	0,04520	0,04518	2.975,82
	Calibração	91,69	129,49	181,88	248,63	295,00	347,07	0,04520	0,04615	2.373,02
	Cambração	51,05	121,01	101,00	270,00	200,00	J-1,00	0,04021	0,04013	
24	Mercado	91,74	132,76	192,46	251,47	299,21	354,81	0.04264	0,04259	3.291,05
	Calibração	94,31	123,44	185,11	253,74	301,00	353,80	0,04381	0,04370	2.231,00

Figura 7.13: Conjunto 1 (20/10/2008): comparação entre preços obtidos na calibração do modelo de Heston utilizando expansão assintótica e preços de mercado.

Prazo			Volatilid	lades de Op	ções de Co	mpra	
(meses)	Conjunto			delt			
		25	35	50	65	75	85
3	Mercado	40,55%	36,56%	33,03%	29,76%	27,06%	25,08%
	Calibração	40,63%	36,45%	33,05%	29,84%	27,02%	25,13%
5	Mercado	35,79%	31,48%	28,42%	24,71%	22,40%	20,64%
	Calibração	35,91%	31,27%	28,50%	24,69%	22,36%	20,73%
6	Mercado	34,60%	30,31%	27,22%	23,56%	21,18%	19,44%
	Calibração	34,73%	30,06%	27,29%	23,53%	21,12%	19,52%
7	Mercado	33,89%	30,52%	26,62%	23,18%	20,80%	18,97%
	Calibração	33,87%	30,67%	26,64%	23,14%	20,70%	19,03%
8	Mercado	33,36%	30,41%	26,21%	22,89%	20,53%	18,66%
	Calibração	33,30%	30,68%	26,22%	22,85%	20,41%	18,69%
	•	,	,	,	,	,	•
9	Mercado	33,00%	30,16%	25,96%	22,64%	20,29%	18,41%
	Calibração	33,18%	30,57%	25,95%	22,43%	19,92%	18,31%
10	Mercado	32,83%	30,09%	25,94%	22,59%	20,25%	18,36%
	Calibração	32,73%	30,41%	26,01%	22,54%	20,07%	18,35%
11	Mercado	32,64%	29,95%	25,80%	22,49%	20,08%	18,15%
	Calibração	32,52%	30,29%	25,92%	22,47%	19,85%	18,12%
12	Mercado	32,53%	29,89%	25,74%	22,40%	20,03%	18,08%
	Calibração	32,41%	30,25%	25,90%	22,38%	19,80%	18,04%
13	Mercado	32,58%	29,98%	25,86%	22,41%	20,20%	18,31%
10	Calibração	32,45%	30,35%	26,06%	22,34%	20,03%	18,27%
14	Mercado	32,62%	30,07%	25,98%	22,42%	20,35%	18,52%
	Calibração	32,49%	30,45%	26,22%	22,32%	20,22%	18,50%
15	Mercado	32,67%	30,15%	26,07%	22,44%	20,47%	18,69%
	Calibração	32,54%	30,54%	26,35%	22,33%	20,35%	18,67%
17	Mercado	32,79%	30,32%	26,24%	22,54%	20,64%	18,93%
	Calibração	32,65%	30,74%	26,58%	22,41%	20,54%	18,92%
19	Mercado	32,92%	30,49%	26,39%	22,65%	20,80%	19,14%
	Calibração	32,76%	30,93%	26,81%	22,52%	20,71%	19,14%
21	Mercado	33,05%	30,64%	26,55%	22,76%	20,96%	19,34%
	Calibração	32,89%	31,11%	27,05%	22,64%	20,89%	19,35%
24	Mercado	33,26%	30,86%	26,78%	22,93%	21,19%	19,62%
	Calibração	33,09%	31,36%	27,40%	22,84%	21,14%	19,65%

Figura 7.14: Conjunto 1 (20/10/2008): comparação entre volatilidades implícitas obtidas na calibração do modelo de Heston utilizando expansão assintótica e volatilidades de mercado.

Prazo		Parâm	etros de He	ston	
(meses)	Volatilidade Inicial	θ	К	ρ	ε
3	49,70%	0,0827	21,4216	0,9998	231,50%
5	49,70%	0,0295	9,7679	0,9908	134,07%
6	49,70%	0,0000	6,3700	0,9650	100,04%
7	49,70%	-	5,7503	0,9999	91,39%
8	49,70%	-	5,2547	0,9999	85,74%
9	49,70%	0,0038	5,0964	0,9999	77,19%
10	49,70%	-	4,4597	0,9999	76,77%
11	49,70%	-	4,1626	0,9999	73,54%
12	49,70%	-	3,8949	0,9999	70,58%
13	49,70%	-	3,6236	0,9999	67,26%
14	49,70%	-	3,3906	0,9999	64,36%
15	49,70%	-	3,1885	0,9999	61,87%
17	49,70%	-	2,8523	0,9999	57,72%
19	49,70%	-	2,5855	0,9999	54,34%
21	49,70%	-	2,3691	0,9999	51,51%
24	49,70%	-	2,1134	0,9999	48,03%

Figura 7.15: Conjunto 1 (20/10/2008): parâmetros obtidos nas calibrações do modelo de Heston utilizando expansão assintótica.

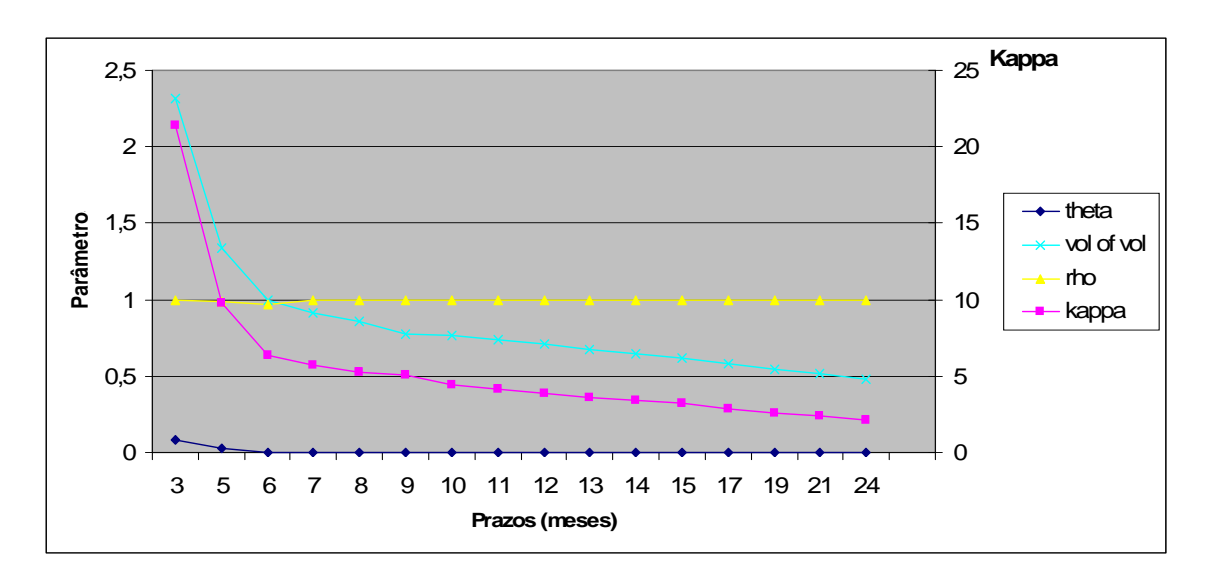


Figura 7.16: Conjunto 1 (20/10/2008): gráfico de evolução temporal dos parâmetros obtidos nas calibrações do modelo de Heston utilizando expansão assintótica.

### Conjunto 2: 21/07/2009

Prazo (meses)	Conjunto	Preços de Opções de Compra						Preços de Swaps de Variância		(Erro Quadrático)^0.
		delta							` x 1E5 ´	
		25	35	50	65	75			VAR SWAP (d+1)	
3	Mercado	29,38	42,33	65,57	95,55	122,89	164,09	0,03859	0,03859	873,27
	Calibração	29,05	42,51	65,98	95,51	121,76	161,20	0,03868	0,03880	
5	Mercado	37,95	54,44	83,95	121,59	155,73	207,16	0,03965	0,03965	677,35
	Calibração	37,67	54,54	84,30	121,78	154,77	203,99	0,03972	0,03980	
6	Mercado	41,39	59,29	91,31	132,06	168,86	224,12	0,03982	0,03982	593,82
	Calibração	41,15	59,34	91,63	132,35	168,04	220,98	0,03988	0,03995	
7	Mercado	43,46	62,21	95,72	138,31	176,70	234,14	0,03988	0,03988	542,56
	Calibração	43,26	62,22	96,02	138,67	175,98	231,07	0,03993	0,03999	
8	Mercado	47,23	67,51	103,75	149,67	190,82	251,96	0,03986	0,03986	454,98
	Calibração	47,09	67,46	103,99	150,15	190,34	249,10	0,03989	0,03994	
9	Mercado	49,76	71,08	109,16	157,31	200,27	263,70	0,03977	0,03977	401,62
	Calibração	49,67	70,99	109,35	157,87	199,96	261,03	0,03979	0,03983	
10	Mercado	52,06	74,32	114,03	164,17	208,66	273,97	0,03963	0,03963	359,46
	Calibração	52,01	74,17	114,18	164,81	208,55	271,52	0,03964	0,03967	
11	Mercado	54,19	77,35	118,60	170,54	216,42	283,41	0,03945	0,03945	332,54
	Calibração	54,20	77,15	118,70	171,29	216,54	281,20	0,03945	0,03948	
12	Mercado	56,16	80,16	122,80	176,33	223,45	291,80	0,03926	0,03926	325,64
	Calibração	56,23	79,89	122,85	177,20	223,78	289,83	0,03925	0,03927	
13	Mercado	58,01	82,74	126,69	181,63	229,92	299,48	0,03904	0,03904	329,9
	Calibração	58,12	82,43	126,67	182,63	230,44	297,74	0,03902	0,03904	
14	Mercado	58,60	83,57	127,93	183,33	231,98	301,93	0,03896	0,03896	333,3
	Calibração	58,72	83,25	127,89	184,36	232,56	300,25	0,03893	0,03896	
15	Mercado	61,35	87,42	133,69	191,14	241,44	313,04	0,03849	0,03849	356,19
	Calibração	61,53	87,04	133,54	192,36	242,28	311,65	0,03846	0,03847	
17	Mercado	64,24	91,46	139,70	199,26	251,14	324,21	0,03787	0,03787	396,1
	Calibração	64,48	91,01	139,44	200,66	252,31	323,20	0,03782	0,03784	
19	Mercado	66,80	95,05	145,01	206,32	259,50	333,67	0,03724	0,03724	456,1
	Calibração	67,12	94,52	144,63	207,95	261,05	333,10	0,03718	0,03719	
21	Mercado	69,01	98,13	149,52	212,22	266,35	341,14	0,03664	0,03664	526,5
	Calibração	69,41	97,51	149,01	214,08	268,30	341,04	0,03657	0,03657	
24	Mercado	71,65	101,79	154,77	218,87	273,69	348,44	0,03574	0,03574	652,9
	Calibração	72,17	101,01	154,05	221,05	276,31	349,19	0,03565	0,03565	

Figura 7.17: Conjunto 2 (21/07/2009): comparação entre preços obtidos na calibração do modelo de Heston utilizando expansão assintótica e preços de mercado.

Prazo		Volatilidades de Opções de Compra								
(meses)	Conjunto	delta								
,		25	35	50	65	75	85			
3	Mercado	21,97%	20,05%	18,40%	17,32%	16,89%	16,86%			
	Calibração	22,02%	20,03%	18,38%	17,32%	16,90%	16,85%			
5	Mercado	22,49%	20,44%	18,69%	17,51%	17,04%	17,01%			
	Calibração	22,53%	20,43%	18,67%	17,51%	17,05%	17,00%			
6	Mercado	22,63%	20,54%	18,76%	17,57%	17,08%	17,05%			
	Calibração	22,66%	20,54%	18,75%	17,56%	17,09%	17,04%			
7	Mercado	22,71%	20,60%	18,80%	17,60%	17,11%	17,07%			
	Calibração	22,74%	20,60%	18,79%	17,59%	17,11%	17,06%			
8	Mercado	22,83%	20,68%	18,87%	17,65%	17,15%	17,08%			
	Calibração	22,85%	20,69%	18,86%	17,64%	17,15%	17,08%			
9	Mercado	22,91%	20,74%	18,91%	17,69%	17,18%	17,09%			
	Calibração	22,92%	20,75%	18,91%	17,68%	17,18%	17,09%			
10	Mercado	22,98%	20,80%	18,96%	17,73%	17,20%	17,10%			
	Calibração	22,99%	20,81%	18,95%	17,72%	17,20%	17,10%			
11	Mercado	23,05%	20,85%	19,01%	17,77%	17,23%	17,11%			
	Calibração	23,04%	20,87%	19,00%	17,76%	17,23%	17,11%			
12	Mercado	23,11%	20,92%	19,06%	17,81%	17,26%	17,12%			
	Calibração	23,11%	20,94%	19,06%	17,80%	17,26%	17,12%			
13	Mercado	23,19%	20,97%	19,11%	17,84%	17,29%	17,13%			
	Calibração	23,18%	20,99%	19,11%	17,83%	17,29%	17,13%			
14	Mercado	23,21%	20,99%	19,12%	17,85%	17,30%	17,14%			
	Calibração	23,20%	21,01%	19,13%	17,84%	17,29%	17,14%			
15	Mercado	23,31%	21,07%	19,19%	17,90%	17,34%	17,16%			
	Calibração	23,29%	21,09%	19,20%	17,88%	17,33%	17,16%			
17	Mercado	23,41%	21,15%	19,26%	17,95%	17,38%	17,18%			
	Calibração	23,38%	21,18%	19,27%	17,93%	17,37%	17,18%			
19	Mercado	23,51%	21,23%	19,34%	18,00%	17,43%	17,21%			
	Calibração	23,48%	21,27%	19,35%	17,98%	17,42%	17,21%			
21	Mercado	23,61%	21,32%	19,41%	18,06%	17,47%	17,24%			
	Calibração	23,58%	21,36%	19,43%	18,03%	17,46%	17,24%			
24	Mercado	23,77%	21,46%	19,53%	18,15%	17,55%	17,30%			
-	Calibração	23,72%	21,50%	19,55%	18,11%	17,53%	17,30%			

Figura 7.18: Conjunto 2 (21/07/2009): comparação entre volatilidades implícitas obtidas na calibração do modelo de Heston utilizando expansão assintótica e volatilidades de mercado.

Prazo	Parâmetros de Heston							
(meses)	Volatilidade Inicial	θ	κ	ρ	3			
3	17,41%	0,3145	0,2632	0,5107	63,54%			
5	17,41%	0,2474	0,2460	0,4815	54,39%			
6	17,41%	0,2255	0,2383	0,4678	51,23%			
7	17,41%	0,2145	0,2332	0,4583	49,57%			
8	17,41%	0,2317	0,1824	0,4446	46,09%			
9	17,41%	0,2273	0,1686	0,4355	44,02%			
10	17,41%	0,2090	0,1702	0,4274	42,33%			
11	17,41%	0,2157	0,1502	0,4211	40,51%			
12	17,41%	0,2184	0,1369	0,4156	38,94%			
13	17,41%	0,1895	0,1521	0,4097	37,94%			
14	17,41%	0,1994	0,1394	0,4084	37,39%			
15	17,41%	0,1668	0,1562	0,4017	35,80%			
17	17,41%	0,1386	0,1771	0,3939	34,26%			
19	17,41%	0,1210	0,1935	0,3853	33,06%			
21	17,41%	0,1160	0,1877	0,3773	31,72%			
24	17,41%	0,1182	0,1618	0,3640	29,77%			

Figura 7.19: Conjunto 2 (21/07/2009): parâmetros obtidos nas calibrações do modelo de Heston utilizando expansão assintótica.

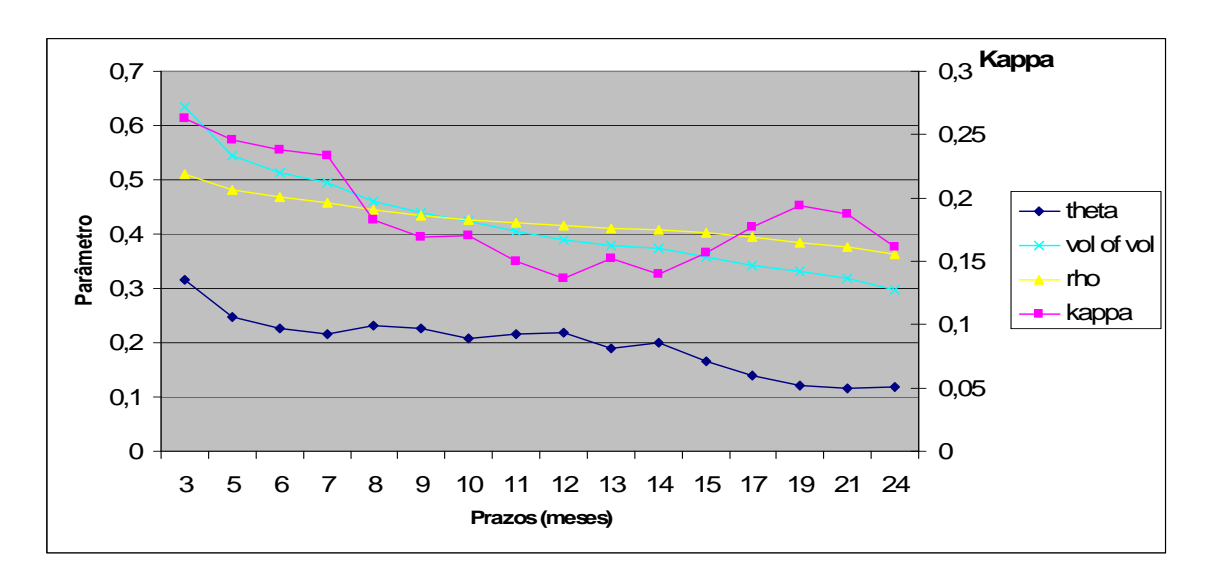


Figura 7.20: Conjunto 2 (21/07/2009): gráfico de evolução temporal dos parâmetros obtidos nas calibrações do modelo de Heston utilizando expansão assintótica.

## Conjunto 3: 20/10/2009

Prazo			Pre	ços de Opçõ		Preços de Sv	vaps de Variância	(Erro Quadrático)^0.		
(meses)	Conjunto	delta							x 1E5	
		25	35	50	65	75			VAR SWAP (d+1)	
3	Mercado	26,23	37,96	58,06	84,36	108,61	143,75	0,03589	0,03592	950,61
	Calibração	26,00	37,88	58,75	84,49	107,43	141,08	0,03604	0,03604	
5	Mercado	34,21	49,41	75,26	109,03	140,21	185,57	0,03778	0,03782	831,34
	Calibração	34,06	49,12	76,09	109,42	139,03	182,47	0,03790	0,03790	
6	Mercado	37,63	54,30	82,61	119,51	153,60	203,09	0,03867	0,03872	773,2
	Calibração	37,54	53,89	83,46	120,07	152,53	200,00	0,03878	0,03877	
7	Mercado	40,77	58,80	89,35	129,10	165,76	218,83	0,03955	0,03958	733,84
	Calibração	40,76	58,27	90,23	129,83	164,86	215,85	0,03962	0,03962	
8	Mercado	43,67	62,93	95,52	137,90	176,91	233,18	0,04027	0,04031	708,23
	Calibração	43,74	62,29	96,41	138,79	176,18	230,36	0,04031	0,04033	
9	Mercado	46,37	66,77	101,27	146,08	187,25	246,43	0,04094	0,04097	692,5
	Calibração	46,52	66,00	102,14	147,14	186,75	243,86	0,04095	0,04098	
10	Mercado	48,84	70,26	106,52	153,53	196,68	258,46	0,04146	0,04148	698,1
	Calibração	49,07	69,38	107,37	154,78	196,43	256,19	0,04144	0,04148	
11	Mercado	51,06	73,44	111,29	160,32	205,27	269,45	0,04178	0,04179	719,3
	Calibração	51,37	72,43	112,12	161,75	205,28	267,50	0,04173	0,04177	
12	Mercado	53,09	76,35	115,66	166,60	213,29	279,75	0,04187	0,04188	743,9
	Calibração	53,46	75,24	116,50	168,17	213,44	277,94	0,04182	0,04185	
13	Mercado	54,97	79,01	119,71	172,39	220,70	289,11	0,04225	0,04226	785,3
	Calibração	55,42	77,78	120,50	174,18	221,18	287,80	0,04218	0,04220	
14	Mercado	56,72	81,50	123,48	177,74	227,53	297,65	0,04230	0,04231	803,6
	Calibração	57,21	80,19	124,25	179,67	228,12	296,52	0,04222	0,04224	
15	Mercado	58,36	83,83	127,00	182,72	233,84	305,50	0,04245	0,04245	844,6
	Calibração	58,92	82,42	127,74	184,84	234,69	304,73	0,04235	0,04237	
17	Mercado	60,10	86,30	130,71	187,90	240,31	313,35	0,04250	0,04250	899,3
	Calibração	60,74	84,77	131,40	190,24	241,47	313,02	0,04239	0,04241	
19	Mercado	63,67	91,36	138,34	198,34	253,16	328,64	0,04216	0,04215	1.002,4
	Calibração	64,44	89,60	138,87	201,15	254,95	329,10	0,04201	0,04203	
21	Mercado	65,80	94,40	142,99	204,51	260,66	337,37	0,04173	0,04173	1.085,3
	Calibração	66,67	92,50	143,33	207,71	262,96	338,46	0,04158	0,04159	
24	Mercado	68,49	98,22	148,82	212,06	269,59	347,42	0,04101	0,04100	1.214,7
	Calibração	69,48	96,11	148,84	215,81	272,68	349,45	0,04083	0,04084	

Figura 7.21: Conjunto 3 (20/10/2009): comparação entre preços obtidos na calibração do modelo de Heston utilizando expansão assintótica e preços de mercado.

Prazo		Volatilidades de Opções de Compra									
(meses)	Conjunto			delt							
		25	35	50	65	75	85				
3	Mercado	21,34%	19,57%	17,71%	16,62%	16,22%	16,02%				
	Calibração	21,39%	19,59%	17,67%	16,61%	16,23%	16,03%				
5	Mercado	22,05%	20,19%	18,20%	17,06%	16,66%	16,53%				
	Calibração	22,08%	20,21%	18,16%	17,05%	16,67%	16,53%				
6	Mercado	22,38%	20,47%	18,45%	17,27%	16,88%	16,76%				
	Calibração	22,39%	20,51%	18,40%	17,26%	16,89%	16,76%				
7	Mercado	22,70%	20,76%	18,69%	17,49%	17,10%	16,98%				
	Calibração	22,70%	20,80%	18,64%	17,48%	17,10%	16,98%				
8	Mercado	22,98%	21,00%	18,89%	17,68%	17,29%	17,17%				
	Calibração	22,97%	21,05%	18,85%	17,67%	17,29%	17,17%				
9	Mercado	23,25%	21,22%	19,09%	17,87%	17,47%	17,36%				
	Calibração	23,23%	21,29%	19,05%	17,85%	17,47%	17,36%				
10	Mercado	23,47%	21,41%	19,26%	18,03%	17,63%	17,53%				
	Calibração	23,44%	21,48%	19,22%	18,01%	17,64%	17,53%				
11	Mercado	23,62%	21,55%	19,38%	18,15%	17,77%	17,67%				
	Calibração	23,59%	21,63%	19,35%	18,13%	17,77%	17,67%				
12	Mercado	23,75%	21,67%	19,49%	18,27%	17,90%	17,82%				
	Calibração	23,71%	21,75%	19,46%	18,25%	17,90%	17,82%				
13	Mercado	23,88%	21,78%	19,61%	18,39%	18,04%	17,98%				
	Calibração	23,84%	21,87%	19,58%	18,37%	18,04%	17,97%				
14	Mercado	24,00%	21,89%	19,71%	18,50%	18,17%	18,11%				
	Calibração	23,95%	21,98%	19,68%	18,48%	18,16%	18,11%				
15	Mercado	24,11%	21,99%	19,81%	18,60%	18,28%	18,24%				
	Calibração	24,06%	22,08%	19,78%	18,57%	18,28%	18,24%				
17	Mercado	24,23%	22,09%	19,91%	18,70%	18,40%	18,36%				
	Calibração	24,17%	22,19%	19,89%	18,68%	18,39%	18,36%				
19	Mercado	24,43%	22,27%	20,10%	18,88%	18,59%	18,57%				
	Calibração	24,35%	22,38%	20,08%	18,85%	18,59%	18,57%				
21	Mercado	24,52%	22,36%	20,21%	18,96%	18,69%	18,67%				
	Calibração	24,44%	22,48%	20,20%	18,93%	18,68%	18,67%				
24	Mercado	24,63%	22,47%	20,36%	19,07%	18,80%	18,79%				
	Calibração	24,54%	22,59%	20,36%	19,03%	18,80%	18,79%				

Figura 7.22: Conjunto 3 (20/10/2009): comparação entre volatilidades implícitas obtidas na calibração do modelo de Heston utilizando expansão assintótica e volatilidades de mercado.

Prazo	Parâmetros de Heston									
(meses)	Volatilidade	θ	К	ρ	ε					
3	Inicial 18,96%	0,0900	0,1199	0,5396	57,41%					
	10,0070	0,0000	0,1100	0,0000	07,1170					
5	19,47%	0,0900	0,1200	0,4980	48,94%					
6	19,68%	0,0996	0,1105	0,4783	46,50%					
7	19,40%	0,1164	0,1769	0,4628	45,72%					
8	19,17%	0,0981	0,3084	0,4467	45,99%					
9	18,41%	0,0991	0,4449	0,4307	47,34%					
10	17,25%	0,1164	0,4662	0,4159	48,06%					
11	17,11%	0,0858	0,7739	0,3956	51,59%					
12	17,11%	0,0809	0,8308	0,3816	51,78%					
13	17,11%	0,0716	1,0797	0,3563	56,01%					
14	17,11%	0,0694	1,1297	0,3437	56,70%					
15	17,11%	0,0766	0,8702	0,3306	52,50%					
17	17,11%	0,0871	0,6402	0,3170	48,37%					
19	17,11%	0,1110	0,3728	0,2938	42,18%					
21	17,11%	0,1935	0,1559	0,2801	36,87%					
24	17,11%	0,2255	0,1160	0,2570	34,51%					

Figura 7.23: Conjunto 3 (20/10/2009): parâmetros obtidos nas calibrações do modelo de Heston utilizando expansão assintótica.

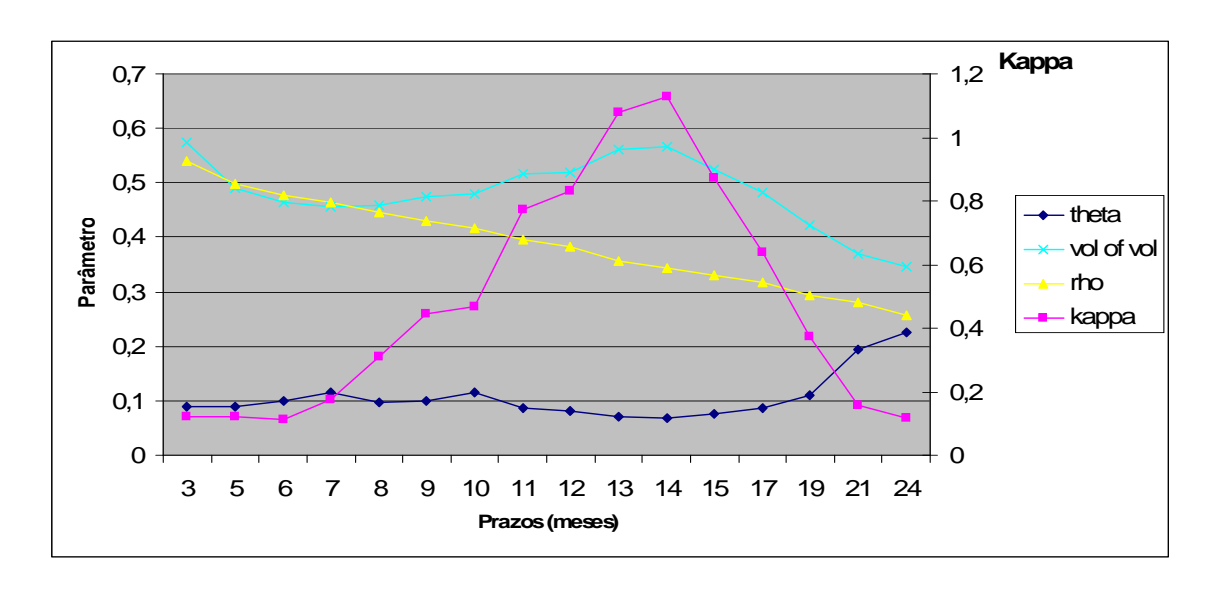


Figura 7.24: Conjunto 3 (20/10/2009): gráfico de evolução temporal dos parâmetros obtidos nas calibrações do modelo de Heston utilizando expansão assintótica.

### 7.4.3 Gráficos de Superfície de Volatilidade Calibrados

Nesta seção apresentamos gráficos da superfície de volatilidade comparativos entre dados de mercado, calibração pelo apreçamento Carr e Madan e calibração pelo apreçamento assintótico. Para os conjuntos 20/10/2008, 21/07/2009 e 20/10/2009, os gráficos reproduzem as tabelas de volatilidade das duas seções anteriores para 3 meses, 6 meses, 9 meses, 12 meses, 19 meses e 24 meses.

### Conjunto 20/10/2008

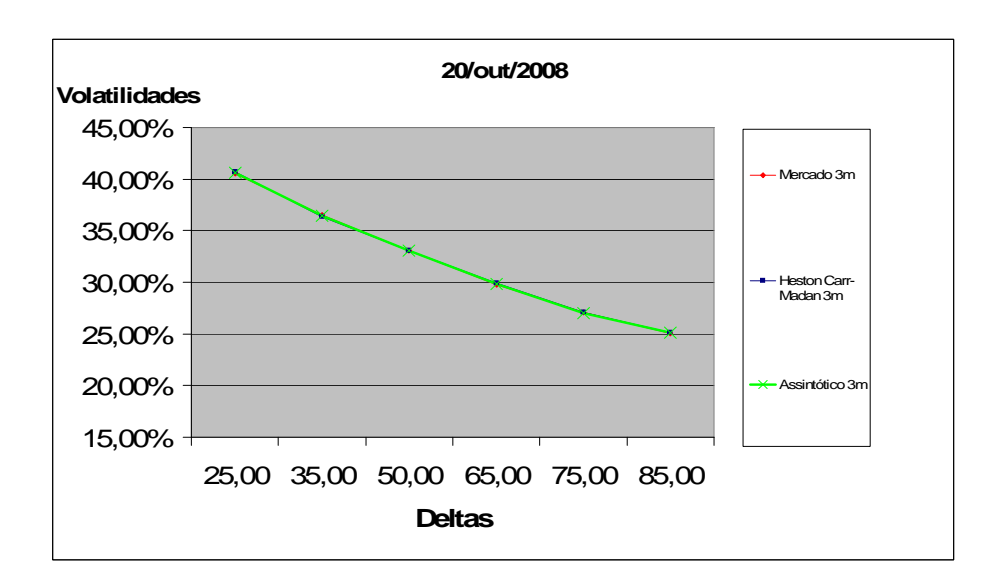


Figura 7.25: Conjunto 1 (20/10/2008): comparação entre smile (i) de mercado, (ii) calibrado por transformada rápida de Fourier e (iii) calibrado por expansão assintótica para 3 meses.

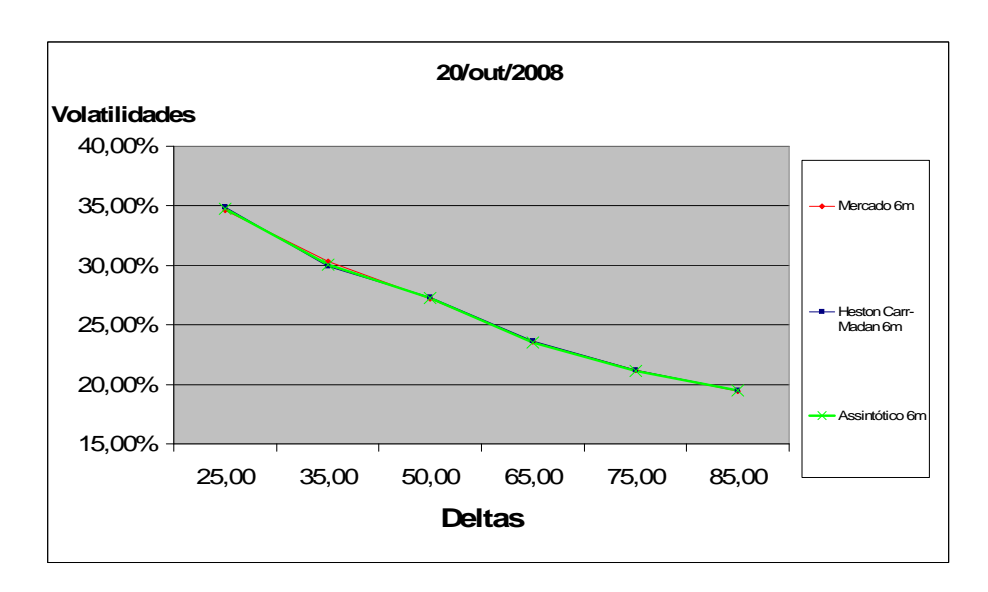


Figura 7.26: Conjunto 1 (20/10/2008): comparação entre smile (i) de mercado, (ii) calibrado por transformada rápida de Fourier e (iii) calibrado por expansão assintótica para 6 meses.

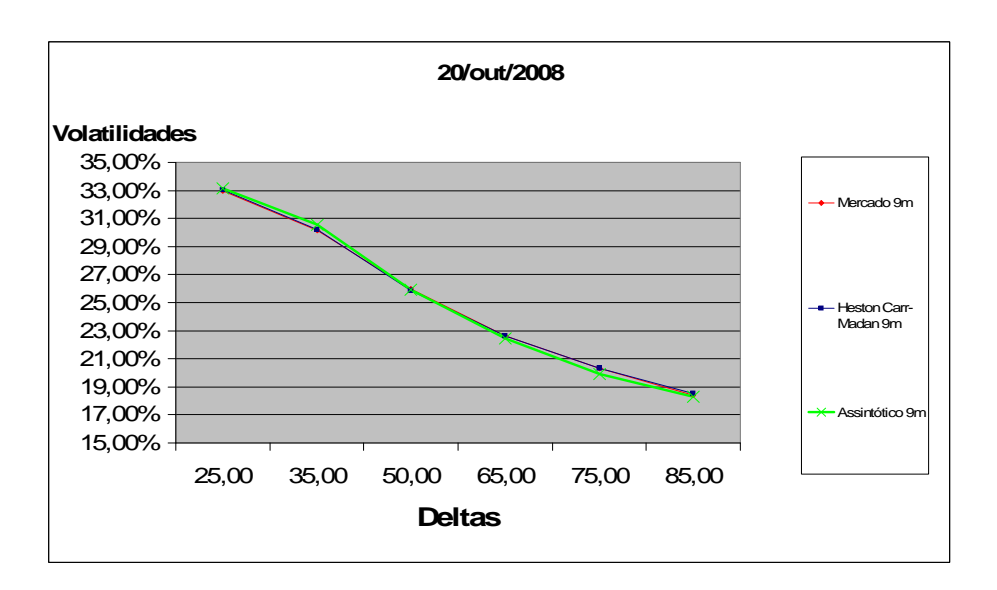


Figura 7.27: Conjunto 1 (20/10/2008): comparação entre smile (i) de mercado, (ii) calibrado por transformada rápida de Fourier e (iii) calibrado por expansão assintótica para 9 meses.

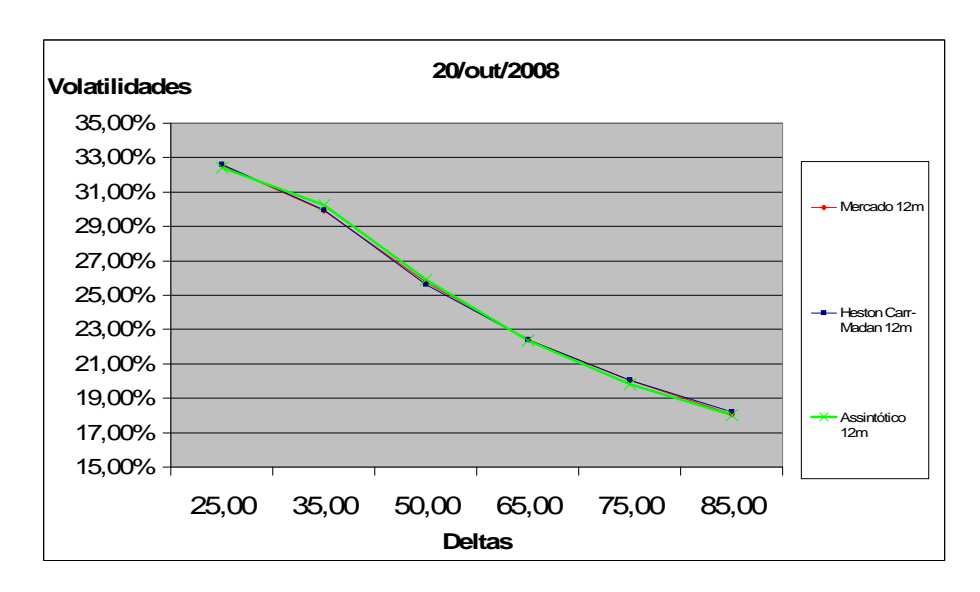


Figura 7.28: Conjunto 1 (20/10/2008): comparação entre smile (i) de mercado, (ii) calibrado por transformada rápida de Fourier e (iii) calibrado por expansão assintótica para 12 meses.

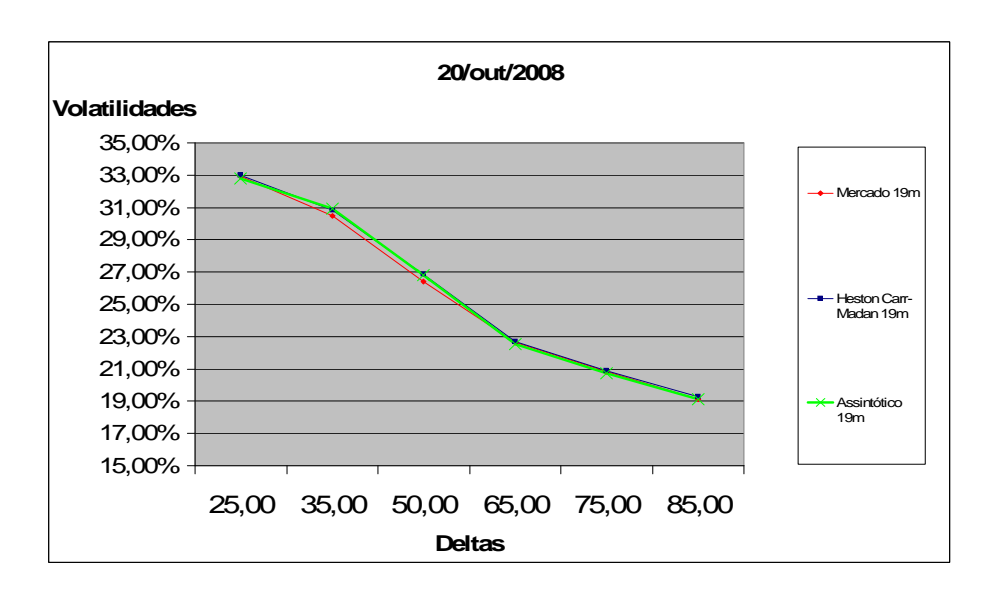


Figura 7.29: Conjunto 1 (20/10/2008): comparação entre smile (i) de mercado, (ii) calibrado por transformada rápida de Fourier e (iii) calibrado por expansão assintótica para 19 meses.

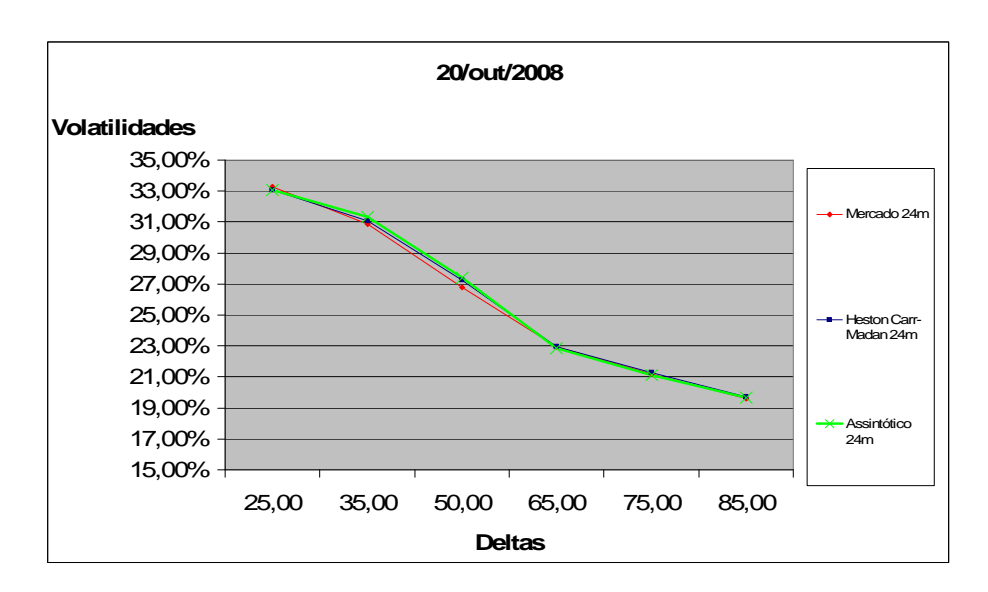


Figura 7.30: Conjunto 1 (20/10/2008): comparação entre smile (i) de mercado, (ii) calibrado por transformada rápida de Fourier e (iii) calibrado por expansão assintótica para 24 meses.

### Conjunto 21/07/2009

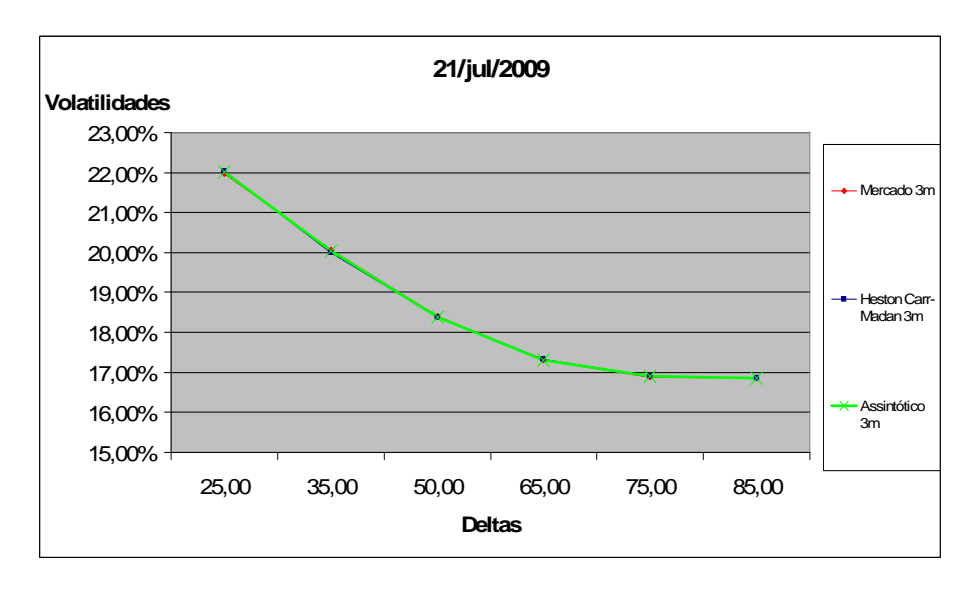


Figura 7.31: Conjunto 2 (21/07/2009): comparação entre smile (i) de mercado, (ii) calibrado por transformada rápida de Fourier e (iii) calibrado por expansão assintótica para 3 meses.

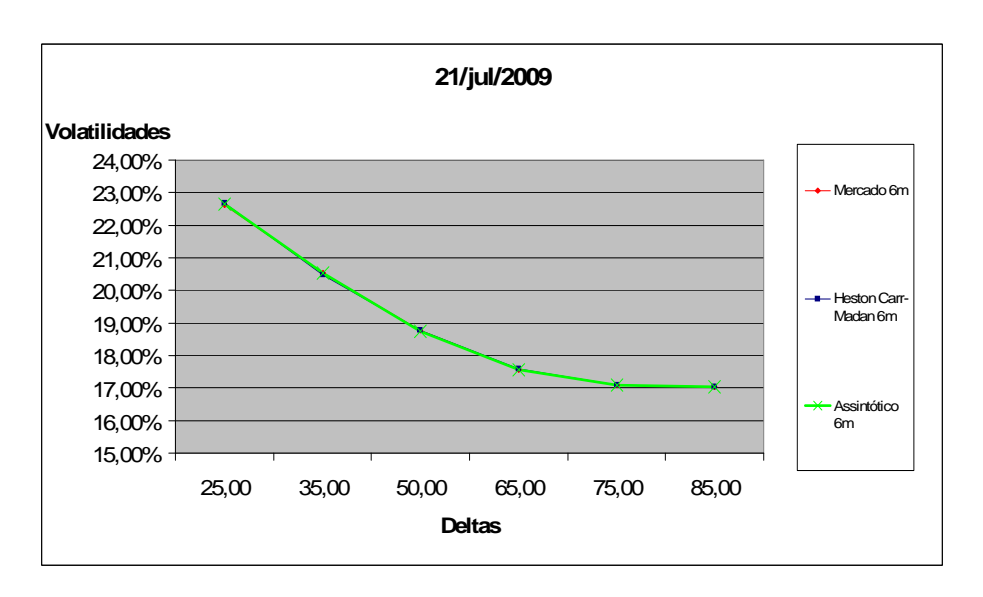


Figura 7.32: Conjunto 2 (21/07/2009): comparação entre smile (i) de mercado, (ii) calibrado por transformada rápida de Fourier e (iii) calibrado por expansão assintótica para 6 meses.

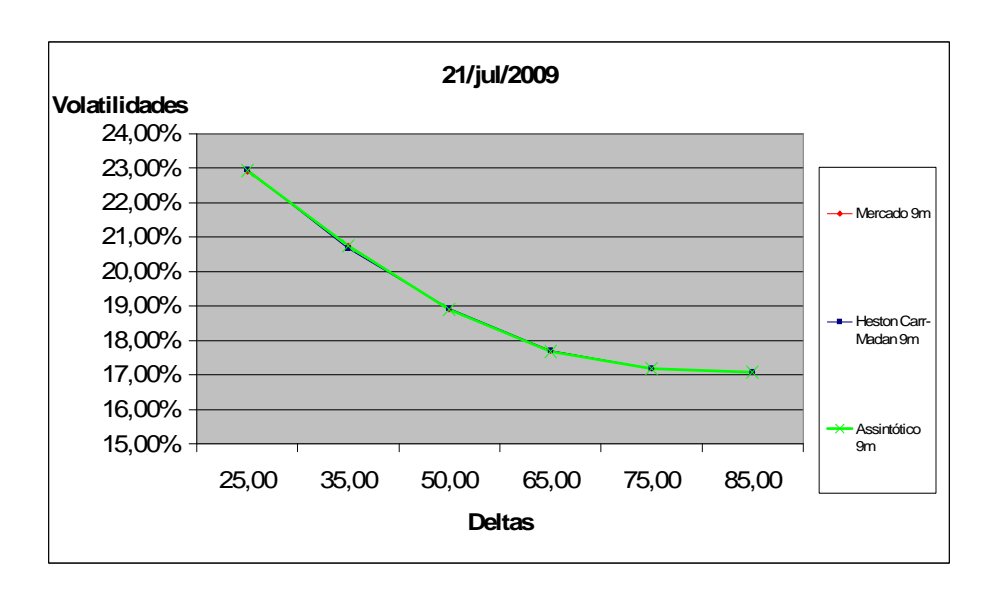


Figura 7.33: Conjunto 2 (21/07/2009): comparação entre smile (i) de mercado, (ii) calibrado por transformada rápida de Fourier e (iii) calibrado por expansão assintótica para 9 meses.

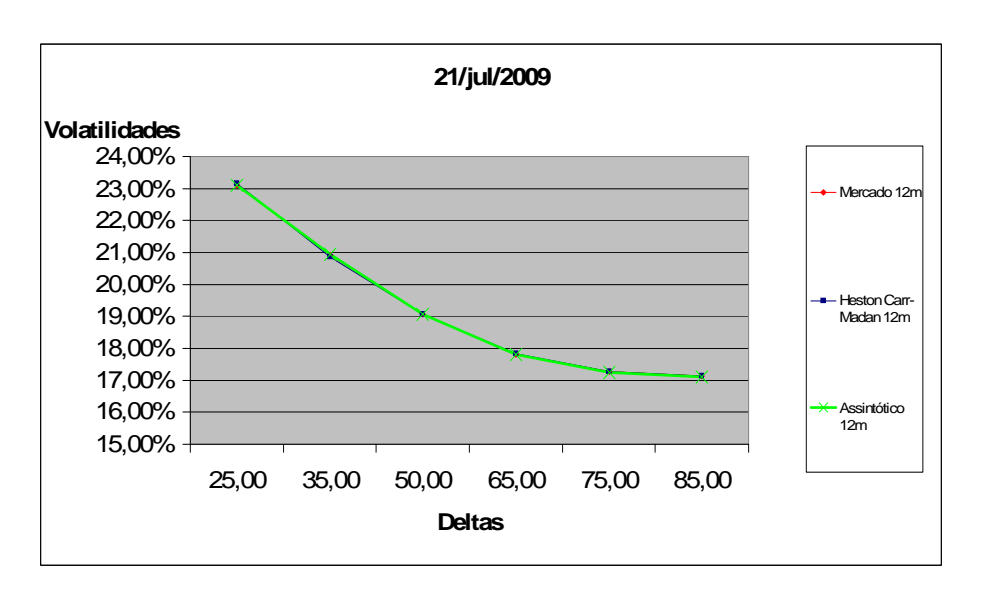


Figura 7.34: Conjunto 2 (21/07/2009): comparação entre smile (i) de mercado, (ii) calibrado por transformada rápida de Fourier e (iii) calibrado por expansão assintótica para 12 meses.

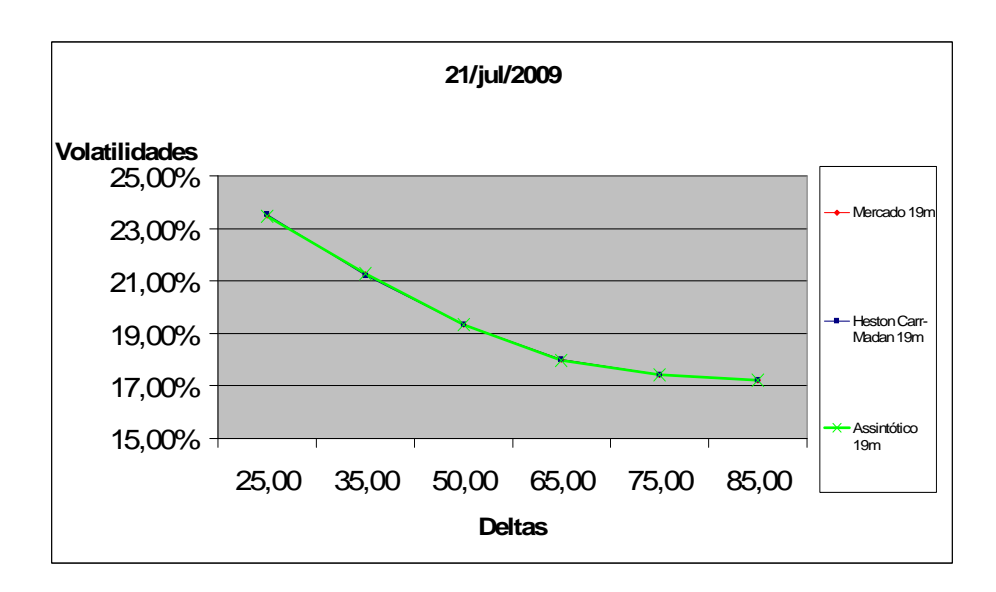


Figura 7.35: Conjunto 2 (21/07/2009): comparação entre smile (i) de mercado, (ii) calibrado por transformada rápida de Fourier e (iii) calibrado por expansão assintótica para 19 meses.

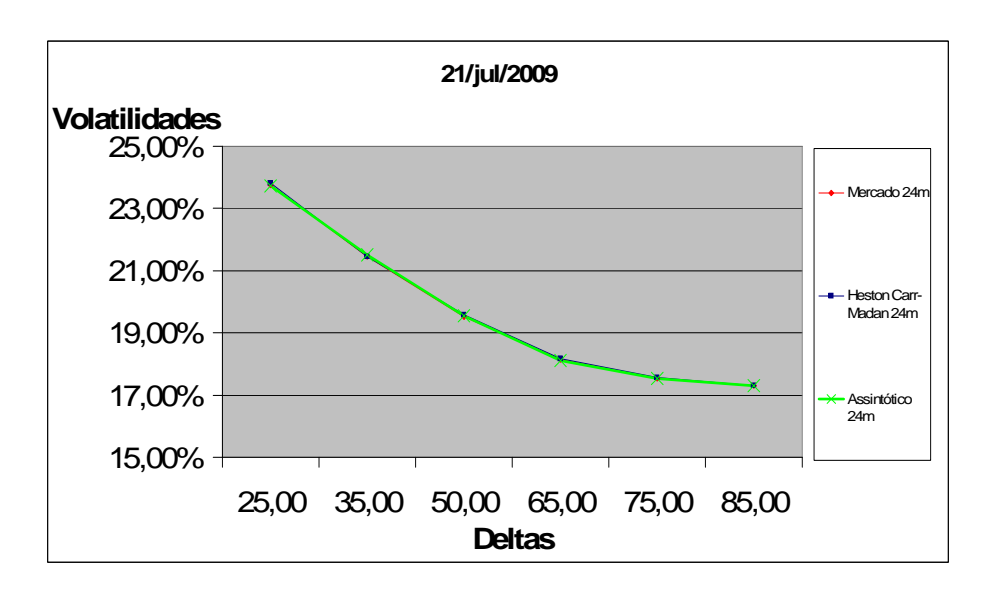


Figura 7.36: Conjunto 2 (21/07/2009): comparação entre smile (i) de mercado, (ii) calibrado por transformada rápida de Fourier e (iii) calibrado por expansão assintótica para 24 meses.

### Conjunto 20/10/2009

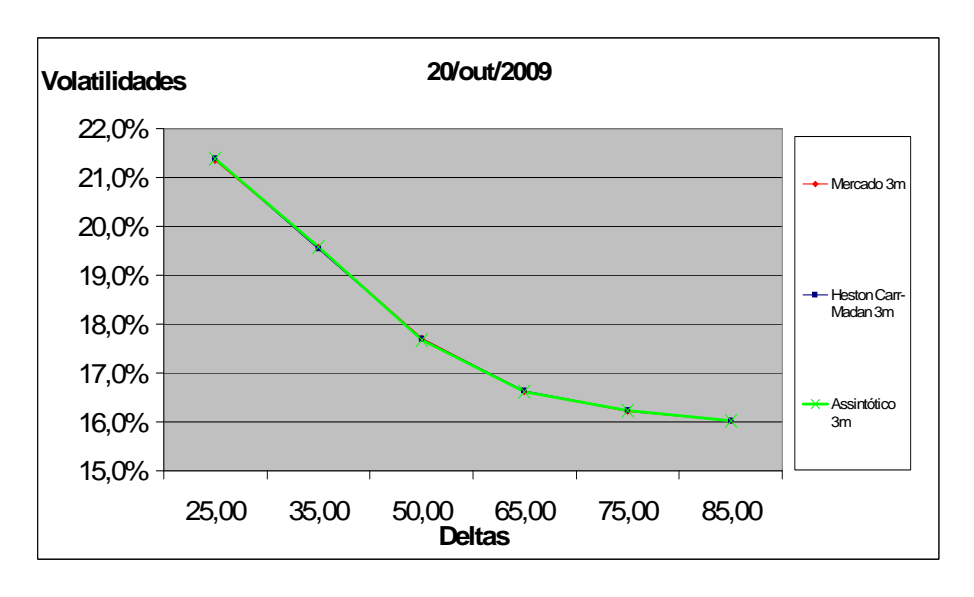


Figura 7.37: Conjunto 3 (20/10/2009): comparação entre smile (i) de mercado, (ii) calibrado por transformada rápida de Fourier e (iii) calibrado por expansão assintótica para 3 meses.

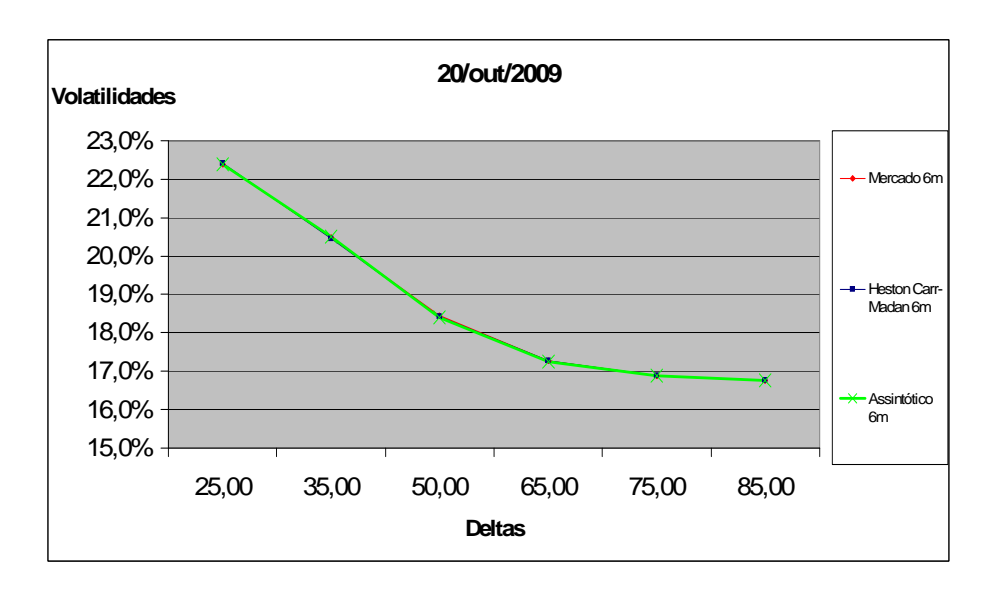


Figura 7.38: Conjunto 3 (20/10/2009): comparação entre smile (i) de mercado, (ii) calibrado por transformada rápida de Fourier e (iii) calibrado por expansão assintótica para 6 meses.

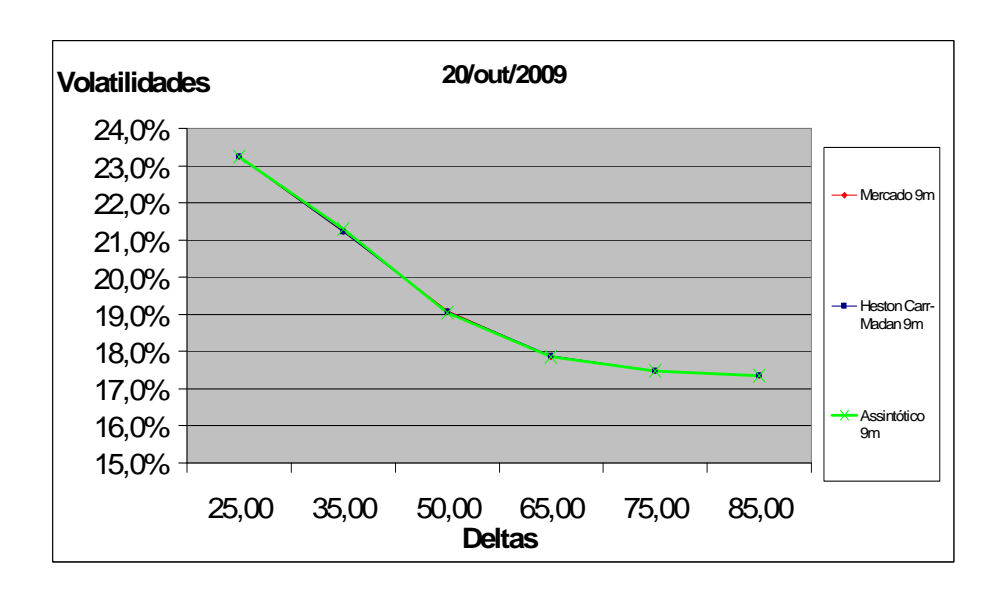


Figura 7.39: Conjunto 3 (20/10/2009): comparação entre smile (i) de mercado, (ii) calibrado por transformada rápida de Fourier e (iii) calibrado por expansão assintótica para 9 meses.

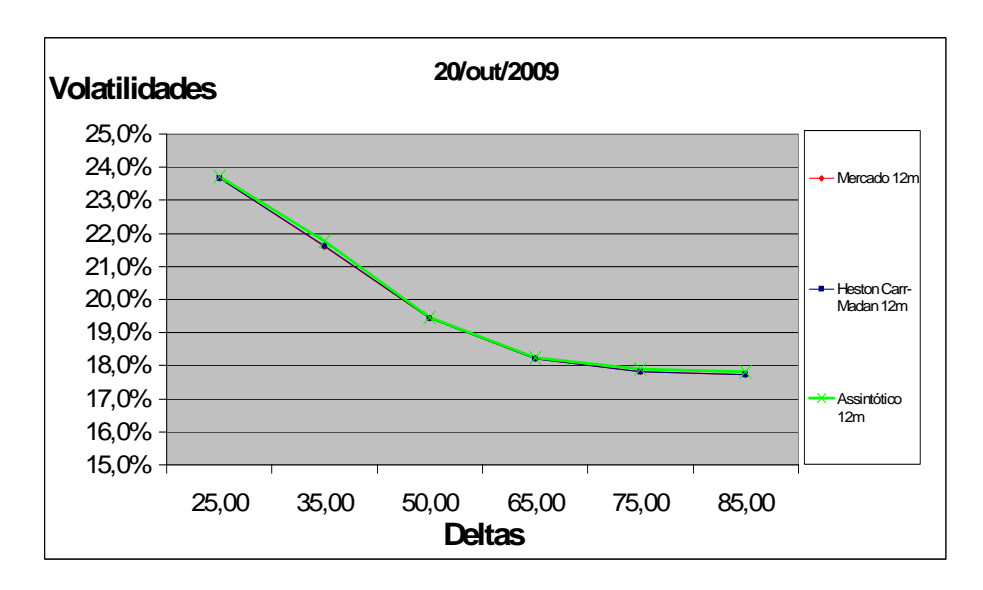


Figura 7.40: Conjunto 3 (20/10/2009): comparação entre smile (i) de mercado, (ii) calibrado por transformada rápida de Fourier e (iii) calibrado por expansão assintótica para 12 meses.

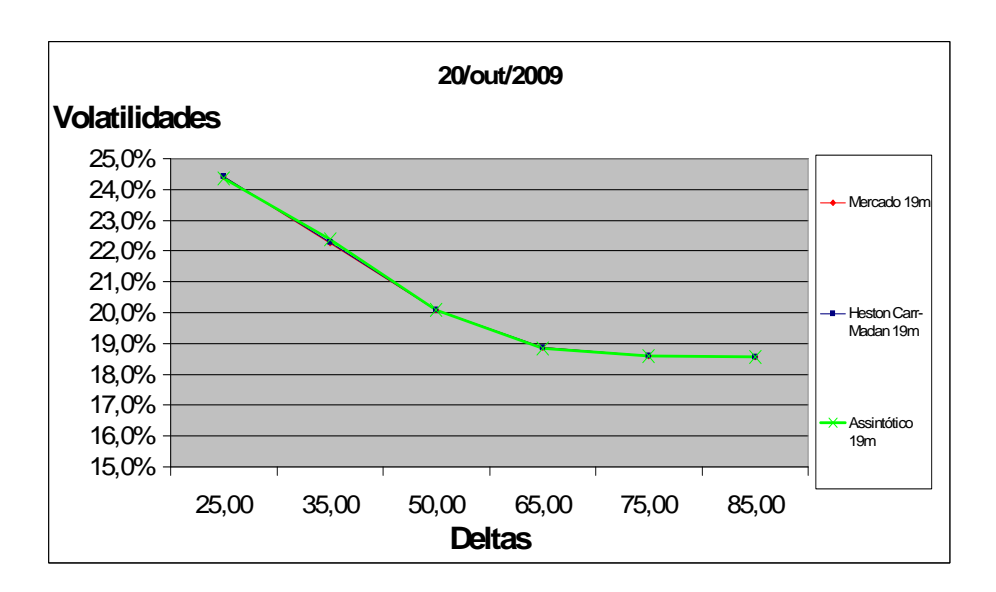


Figura 7.41: Conjunto 3 (20/10/2009): comparação entre smile (i) de mercado, (ii) calibrado por transformada rápida de Fourier e (iii) calibrado por expansão assintótica para 19 meses.

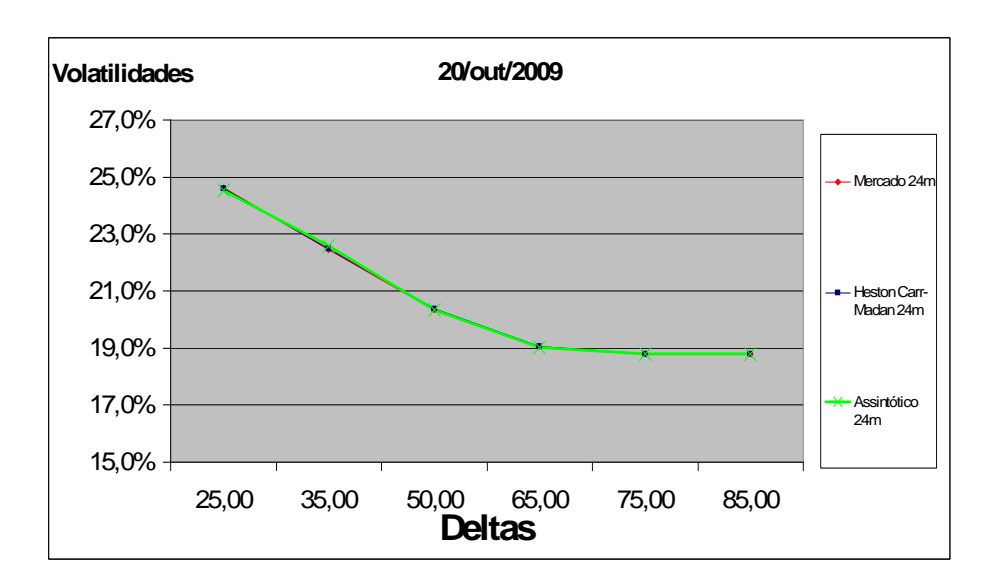


Figura 7.42: Conjunto 3 (20/10/2009): comparação entre smile (i) de mercado, (ii) calibrado por transformada rápida de Fourier e (iii) calibrado por expansão assintótica para 24 meses.

## 7.4.4 Aplicação de Parâmetros Calibrados a Pontos Fora da Amostra

Dados os conjuntos de parâmetros calibrados que apresentados nas seções 7.4.1 e 7.4.2, apresentamos agora resultados de aplicações de tais conjuntos ao cálculo de preços referentes a pontos da superfície de volatilidade que não participaram das calibrações.

Para cada conjunto de calibração (20/10/2008, 21/07/2009 e 20/10/2009), selecionamos dois prazos (9 e 12 meses) e preços de exercício correspondentes a dois deltas que não participaram das calibrações (deltas 30 e 70). Aplicando a estes conjuntos de dados, prazos e deltas os parâmetros calibrados correspondentes, apresentados nas seções 7.4.1 e 7.4.2, calculamos preços para opções de compra européias através do método de transformada rápida de Fourier (FFT) e do método de calibração assintótica, obtendo erros de forma semelhante à equação 7.4<sup>6</sup>:

$$Erro(i,T) = \frac{C_{mercado}^{i}(T) - C_{te\acute{o}rico}^{i}(T)}{C_{mercado}^{i}(T)},$$
(7.5)

onde  $C^i_{mercado}(T)$  e  $C^i_{teórico}(T)$  são, respectivamente, os preços de mercado e teórico (métodos FFT ou assintótico) para os deltas i=30, 70 e prazos (em meses) T=9, 12.

Os resultados relativos aos métodos de transformada rápida de Fourier e assintótico estão nas tabelas das figuras 7.43 e 7.44, respectivamente. A última coluna de cada tabela refere-se aos erros médios obtidos nos procedimentos de calibração, calculados dividindo-se os erros de calibração apresentados nas seções 7.4.1 e 7.4.2 por  $\sqrt{6}$  afim de comparar com o erros individuais relacionados aos pontos fora da amostra, uma vez que os erros de calibração foram calculados como a raiz quadrada de soma quadrática de desvios envolvendo 6 pontos de calibração (6 opções).

Os erros obtidos no método de transformada de Fourier em geral foram menores que aqueles obtidos no método de expansão assintótica. Somente os casos de preços de exercício relativos ao delta 30 para os prazos de 9 e 12 meses referentes ao conjunto 2 e o delta 70 para o prazo de 9 meses no conjunto 3 apresentaram maiores erros advindos do método FFT. Contudo, nestes casos, a razão entre erros obtidos nos dois métodos ficou menor do que nos casos onde os erros obtidos na expansão assintótica foram maiores<sup>7</sup>. Ou seja, onde os erros relacionados ao método FFT

<sup>&</sup>lt;sup>6</sup>Aqui também apresentamos multiplicados por um fator 1E5.

<sup>&</sup>lt;sup>7</sup>Consideramos o maior erro dividido pelo menor erro.

foram maiores, isto ocorreu em proporção superior aos casos em que o método de expansão assintótica apresentou maiores erros.

No caso do método de transformada rápida de Fourier, nos prazos considerados, os erros obtidos para os pontos fora da amostra de calibração foram superiores aos erros dos pontos que participaram da calibração, em pelo menos um dos deltas. Na maior parte dos casos, foi para o caso relativo ao delta 30. Já no caso do método de expansão assintótica, comparação semelhante pode ser feita, contudo sob erros absolutos maiores.

Conjunto		Conjunto	Preços			X 1E5	_
de	Prazo (meses)		delt	a	delta		Erro médio Calibração
Calibração			30,00	70,00	30,00	70,00	
Conjunto 1	9	Mercado FFT	86,05 85,41	214,87 214,70	743,17	79,49	339,65
Conjunto 1	12	Mercado FFT	92,98 92,43	231,06 230,53	586,54	231,64	383,50
Conjunto 2	9	Mercado FFT	200,27 199,74	263,70 263,25	261,97	172,73	207,67
Conjunto 2	12	Mercado FFT	223,45 223,06	291,80 291,45	175,30	120,68	181,39
Conjunto 3	9	Mercado FFT	56,39 56,39	165,08 164,57	5,81	310,16	63,25
Conjunto 3	12	Mercado FFT	64,51 65,03	188,18 188,25	807,43	36,49	45,12

Figura 7.43: Apreçamento de opções de compra pelo método da transformada rápida de Fourier (FFT) para preços de exercício relativos a deltas fora dos pontos de calibração.

Conjunto de	Prazo (meses)	Conjunto	Preços delta		Erro ) de	X 1E5	Erro médio Calibração
Calibração	T Tazo (meses)	Conjunto	30,00	70,00	30,00	70,00	Ello Iliculo Galibração
Conjunto 1	9	Mercado FFT	86,05 82,05	214,87 219,57	4.639,89	2.184,09	909,09
Conjunto 1	12	Mercado FFT	92,98 90,41	231,06 232,74	2.755,62	723,70	776,45
Conjunto 2	9	Mercado FFT	200,27 199,96	263,70 261,03	151,80	1.012,71	163,96
Conjunto 2	12	Mercado FFT	223,45 223,78	291,80 289,83	147,73	674,39	132,94
Conjunto 3	9	Mercado FFT	56,39 55,75	165,08 165,50	1.129,21	255,68	282,73
Conjunto 3	12	Mercado FFT	64,51 63,72	188,18 189,20	1.225,70	545,28	303,71

Figura 7.44: Apreçamento de opções de compra pelo método de expansão assintótica para preços de exercício relativos a deltas fora dos pontos de calibração.

## 7.4.5 Aplicação do Método FFT ao Modelo de Black e Scholes

Apresentamos nesta subseção os resultados da aplicação do método de Carr e Madan, representado pelas equações (4.8) e (4.10), ao modelo de Black e Scholes, sob a função característica (2.19), estendendo a comparação realizada na seção 4.3.1. Utilizamos o mesmo valor de  $\alpha$  que na calibração de Heston, ou seja, 1,65. Cemomparamos os resultados com os valores de mercado, obtidos pela equação (2.14). Os erros quadráticos médios são calculados da mesma forma que em (7.4). Os resultados para os dados de 20/10/2008 (conjunto 1), 21/7/2009 (conjunto 2) e 20/10/2009 (conjunto 3) estão dispostos nas tabelas das figuras 7.45, 7.46 e 7.47, respectivamente. Em média, os menores erros quadráticos ocorreram para o conjunto 1, de 20/10/2008, seguido pelo conjunto 2, de 21/7/2009 e pelo conjunto 3, de 20/10/2009. Ressaltamos que esta aplicação não envolve calibração, mas simples aplicação de fórmula.

Prazo (meses)			(Erro Quadrático)^0.5					
	Conjunto	0.5	25	delt		75	0.5	x 1E5
		25	35	50	65	75	85	
3	Mercado	56,58	80,52	122,61	170,83	205,09	253,82	7,91
-	FFT	56,58	80,52	122,61	170,83	205,08	253,81	.,
		,	,	,	·	,		
5	Mercado	61,87	86,05	130,64	175,78	209,79	256,65	6,15
	FFT	61,87	86,05	130,64	175,78	209,78	256,65	
6	Mercado	64,21	88,94	134,31	179,72	212,56	258,28	5,12
O	FFT	64,21	88,94	134,31	179,72	212,56	258,27	5,12
		,	,-	,	,	,		
7	Mercado	66,46	94,17	138,64	186,17	219,50	264,71	4,44
	FFT	66,45	94,17	138,64	186,16	219,49	264,70	
8	Mercado	68,65	98,44	143,08	192,45	226,60	271,45	4,11
0	FFT	68,65	98,44	143,08	192,45	226,60	271,45	4,11
		00,00	00,11	1-10,00	102,10	220,00	27 1,10	
9	Mercado	70,68	101,56	147,33	197,72	232,30	277,23	4,76
	FFT	70,68	101,55	147,33	197,72	232,29	277,23	
10	Mercado	72,78	104 70	152,09	202.66	239.04	204.52	E 25
10	FFT	72,78 72,78	104,78 104,78	152,09	203,66 203,66	239,04	284,53 284,52	5,35
		12,10	104,70	132,00	200,00	200,00	204,32	
11	Mercado	74,58	107,46	155,82	208,60	243,71	288,76	5,24
	FFT	74,58	107,46	155,82	208,60	243,70	288,75	
12	Mercado	76.04	110.00	159,39	212.00	248,77	293,84	F 20
12	FFT	76,31 76,31	110,02 110,02	159,39	212,89 212,88	248,77	293,83	5,38
		70,51	110,02	100,00	212,00	240,70	255,05	
13	Mercado	78,23	112,91	163,72	217,65	255,99	302,81	5,67
	FFT	78,23	112,90	163,71	217,65	255,98	302,81	
14	Maraada	70.00	115.00	167.22	224 57	264.02	210.27	6.20
14	Mercado FFT	79,82 79,82	115,29 115,28	167,32 167,31	221,57 221,56	261,83 261,82	310,27 310,26	6,32
	1111	13,02	113,20	107,51	221,30	201,02	310,20	
15	Mercado	81,63	117,98	171,30	226,13	268,08	318,15	6,10
	FFT	81,63	117,98	171,30	226,13	268,07	318,14	
47	Maria	04.45	100.10	477.00	000.04	077.40	000.00	0.44
17	Mercado FFT	84,45 84,45	122,19 122,19	177,28 177,28	233,34 233,33	277,10 277,10	329,03 329,02	6,11
	FFI	04,40	122,19	177,20	233,33	211,10	329,02	
19	Mercado	87,15	126,17	182,97	240,26	285,66	339,27	6,45
	FFT	87,15	126,16	182,97	240,25	285,66	339,26	
04		00.46	100.10	407.77	0.40.07	000 77	0.47.07	7.40
21	Mercado	89,42	129,49	187,77	246,07	292,77	347,67	7,18
	FFT	89,42	129,49	187,77	246,06	292,76	347,66	
24	Mercado	91,74	132,76	192,46	251,47	299,21	354,81	8,53
	FFT	91,73	132,75	192,46	251,46	299,20	354,80	•

Figura 7.45: Conjunto 1 (20/10/2008): comparação entre preços de opções de compra utilizando transformada rápida de Fourier (FFT) e preços de mercado para o modelo de Black e Scholes.

Prazo	Preços de Opções de Compra							(Erro Quadrático)^0.5
(meses)	Conjunto	delta						x 1E5
. ,		25,00	35,00	50,00	65,00	75,00	85,00	
3	Mercado	29,38	42,33	65,57	95,55	122,89	164,09	410,72
	FFT	29,39	42,41	65,73	95,59	122,72	163,74	
5	Maraada	27.05	E 1 11	02.05	101 50	155 70	207.16	27.20
5	Mercado FFT	37,95 37,95	54,44 54,45	83,95 83,96	121,59 121,58	155,73 155,69	207,16 207,12	37,29
	FFI	31,93	54,45	03,90	121,56	155,69	201,12	
6	Mercado	41,39	59,29	91,31	132,06	168,86	224,12	12,10
	FFT	41,39	59,30	91,32	132,06	168,84	224,12	, -
7	Mercado	44,32	63,42	97,53	140,88	179,90	238,21	6,29
	FFT	44,32	63,42	97,54	140,88	179,90	238,22	
	Maranda	47.00	07.54	400.75	440.07	400.00	254.00	0.00
8	Mercado FFT	47,23 47,23	67,51 67,52	103,75 103,75	149,67 149,67	190,82 190,82	251,96 251,97	6,69
	111	41,23	07,52	103,73	143,07	190,02	231,31	
9	Mercado	49,76	71,08	109,16	157,31	200,27	263,70	6,72
	FFT	49,76	71,08	109,16	157,31	200,27	263,71	-,
10	Mercado	52,06	74,32	114,03	164,17	208,66	273,97	6,23
	FFT	52,06	74,32	114,03	164,17	208,66	273,97	
11	Maranda	E4.40	77.05	440.00	470.54	040 40	202.44	F 70
11	Mercado FFT	54,19 54,19	77,35 77,35	118,60 118,60	170,54 170,55	216,42 216,43	283,41 283,41	5,78
	111	34,13	11,55	110,00	170,55	210,43	200,41	
12	Mercado	56,16	80,16	122,80	176,33	223,45	291,80	4,79
	FFT	56,16	80,16	122,80	176,34	223,46	291,81	,
13	Mercado	58,01	82,74	126,69	181,63	229,92	299,48	3,46
	FFT	58,01	82,74	126,69	181,64	229,92	299,49	
1.1	Maraada	E0 E6	04.04	120.02	106.02	225.25	205.72	2.47
14	Mercado FFT	59,56 59,56	84,91 84,91	129,93 129,94	186,03 186,03	235,25 235,25	305,73 305,74	2,47
	111	55,50	U <del>1</del> ,∃1	123,34	100,03	200,20	303,14	
15	Mercado	61,35	87,42	133,69	191,14	241,44	313,04	1,59
	FFT	61,35	87,42	133,69	191,14	241,44	313,04	,
17	Mercado	64,19	91,40	139,61	199,15	251,02	324,11	0,40
	FFT	64,19	91,40	139,61	199,15	251,02	324,11	
10	Maraada	66.00	05.05	145.01	206.22	250.50	222.67	2.74
19	Mercado FFT	66,80 66,80	95,05 95,05	145,01 145,00	206,32 206,32	259,50 259,50	333,67 333,66	2,74
	1 [	00,00	30,00	140,00	200,32	203,00	555,00	
21	Mercado	69,01	98,13	149,52	212,22	266,35	341,14	4,60
I	FFT	69,01	98,13	149,52	212,22	266,35	341,13	,
24	Mercado	71,65	101,79	154,77	218,87	273,69	348,44	7,43
	FFT	71,65	101,79	154,76	218,87	273,68	348,43	

Figura 7.46: Conjunto 2 (21/07/2009): comparação entre preços de opções de compra utilizando transformada rápida de Fourier (FFT) e preços de mercado para o modelo de Black e Scholes.

			Preç	(Erro Quadrático)^0.5				
Prazo (meses) Conjunto		delta						x 1E5
	'	25,00	35,00	50,00	65,00	75,00	85,00	
3	Mercado	26,23	37,96	58,06	84,36	108,61	143,75	538,19
	FFT	26,24	38,05	58,25	84,42	108,43	143,33	
-	Manada	04.04	10.11	75.00	400.00	4.40.04	405.57	40.74
5	Mercado	34,21	49,41	75,26	109,03	140,21	185,57	49,74
	FFT	34,22	49,41	75,27	109,02	140,17	185,52	
6	Mercado	37,63	54,30	82,61	119,51	153,60	203,09	15,33
Ů	FFT	37,63	54,30	82,62	119,50	153,58	203,08	.0,00
		,	, ,	- ,-	-,	,	,	
7	Mercado	40,77	58,80	89,35	129,10	165,76	218,83	4,99
	FFT	40,77	58,80	89,35	129,10	165,76	218,83	
8	Mercado	43,67	62,93	95,52	137,90	176,91	233,18	2,37
	FFT	43,67	62,93	95,52	137,90	176,90	233,17	
9	Maraada	46.27	66.77	101.07	146.00	107.05	246 42	2.22
9	Mercado FFT	46,37 46,37	66,77 66,77	101,27 101,27	146,08 146,08	187,25 187,25	246,43 246,42	3,32
	111	40,37	00,77	101,21	140,00	107,23	240,42	
10	Mercado	48,84	70,26	106,52	153,53	196,68	258,46	5,48
	FFT	48,84	70,26	106,52	153,52	196,67	258,45	2,
11	Mercado	51,06	73,44	111,29	160,32	205,27	269,45	6,90
	FFT	51,06	73,43	111,28	160,32	205,27	269,44	
40		50.00	70.05	445.00	400.00	040.00	070 75	0.70
12	Mercado	53,09	76,35	115,66	166,60	213,29	279,75	8,72
	FFT	53,09	76,34	115,66	166,59	213,28	279,74	
13	Mercado	54,97	79,01	119,71	172,39	220,70	289,11	9,82
10	FFT	54,97	79,01	119,71	172,38	220,69	289,10	0,02
		- 1,-1	,	,.		,		
14	Mercado	56,72	81,50	123,48	177,74	227,53	297,65	11,09
	FFT	56,72	81,50	123,47	177,73	227,52	297,64	
15	Mercado	58,36	83,83	127,00	182,72	233,84	305,50	12,67
	FFT	58,36	83,83	126,99	182,72	233,83	305,49	
17	Mercado	61,16	87,79	132,95	191,01	244,16	317,99	15,76
l ''	FFT	61,15	87,79	132,93	191,00	244,16	317,99	13,70
		01,10	51,10	102,07	101,00	,	317,07	
19	Mercado	63,67	91,36	138,34	198,34	253,16	328,64	17,31
	FFT	63,66	91,36	138,33	198,32	253,14	328,62	•
21	Mercado	65,80	94,40	142,99	204,51	260,66	337,37	19,47
ĺ	FFT	65,80	94,39	142,98	204,49	260,64	337,34	
24	Moroodo	60 40	00 22	140.00	212.06	260 50	247 42	24.62
24	Mercado FFT	68,49 68,48	98,22 98,21	148,82 148,81	212,06 212,04	269,59 269,57	347,42 347.30	21,63
	ICI	00,40	JU,∠ I	140,01	Z1Z,U4	203,37	347,39	

Figura 7.47: Conjunto 3 (20/10/2009): comparação entre preços de opções de compra utilizando transformada rápida de Fourier (FFT) e preços de mercado para o modelo de Black e Scholes.

# Capítulo 8

# Conclusões

Iniciamos este trabalho apresentando as características inerentes ao modelo de Black e Scholes que divergem das práticas de mercado para o apreçamento de opções européias vanillas. Notamos que este apreça opções adotando diferentes valores de volatilidade para diferentes valores de preços de exercícios (strikes), através das chamadas superfícies de volatilidades implícitas, ou smiles. A partir deste fato estilizado, perguntamo-nos como esta dependência com preços de exercícios pode surgir dentro da teoria, e não de forma ad-hoc. Como proposta utilizamos o modelo de Heston, descrito no capítulo 3, que introduz modificações no processo log-normal do modelo de Black e Scholes para comportar volatilidade estocástica, incorporando reversão à média da mesma.

Conforme vimos, o modelo de Heston não apresenta solução fechada para opções vanillas, e adotamos o procedimento de Carr e Madan [Carr e Madan, 1999], que envolve o método de transformada rápida de Fourier, ou fast Fourier transform (FFT). Para tanto, mostramos como chegar à função característica no modelo de Heston. Como procedimento alternativo para a implementação do modelo de Heston, estudamos expansão assintótica para o limite de baixa volatilidade da variância  $(\varepsilon)$ .

Prosseguindo em nosso estudo, no capítulo 7 descrevemos o procedimento de calibração de preços para os parâmetros do modelo. Para analisar o comportamento do modelo de Heston em diferentes condições, selecionamos três conjuntos de dados: o primeiro deles, de 20/10/2008, situado na crise de títulos subprime, onde o mercado apresentou maior volatilidade; enquanto o segundo, de 21/07/2009, e o terceiro, de 20/10/2009, estão relacionados a um período subseqüente de menor volatilidade. Cada conjunto era composto de opções de compra vanillas de diferentes preços de exercícios (deltas de 25 à 85) e prazos de vencimentos (de 3 à 24 meses).

Uma novidade neste trabalho foi que, para gerar estabilidade nas calibrações, além de utilizar opções de compra, introduzimos swaps de variância. Tais produtos, apreçados no modelo de Heston, dependem de dois parâmetros: a velocidade de reversão à média  $(\kappa)$  e variância de longo prazo  $(\theta)$ . Como a liquidez destes swaps no mercado brasileiro não é razoável, para gerar preços dos mesmos, em cada prazo de calibração, utilizamos dois swaps, criados sinteticamente sob o modelo de Demeterfi et~al, com carteiras de opções de compra e venda sob smile. Assim, a utilização dos swaps de variância na calibração ajuda a balizar dois importantes parâmetros: a velocidade de reversão à média  $(\kappa)$  e variância de longo prazo  $(\theta)$ .

Inicialmente calibramos preços de opções e swaps de variância utilizando o procedimento de Carr e Madan (seção 7.4.1) e depois utilizando expansão assintótica (seção 7.4.2), para os vários vencimentos, dentro de cada conjunto de calibração. Em todos os conjuntos notamos que os parâmetros variam de acordo com prazos de vencimento, contrariando a idéia de que um conjunto de parâmetros deva servir a todos os prazos de vencimento. Notamos também que a velocidade de reversão à média ( $\kappa$ ) acompanha a volatilidade da variância ( $\varepsilon$ ). Além disso, a correlação ( $\rho$ ), mais elevada para superfícies mais inclinadas na direção dos deltas, decresce ao longo dos prazos, com exceção do conjunto 1, de 20/10/2008, onde permanece em valores elevados. Os prazos mais curtos e deltas muito no dinheiro (in the money) e fora do dinheiro (out of the money) representam maior dificuldade de calibração. Este fato foi notado também em Fouque e Lorig [Fouque e Lorig, 2009], ao passo que Nóbrega aponta opções fora do dinheiro como aquelas de maior dificuldade de calibração.

No conjunto 1, de 20/10/2008, referente a um período de volatilidade elevada na crise subprime, além de elevados valores de correlção  $(\rho)$ , como já mencionamos, observamos altos valores de volatilidade da variância  $(\varepsilon)$  e velocidade de reversão à média  $(\kappa)$ , porém decrescentes ao longo dos prazos, sinalizando uma melhoria nas condições do mercado. Neste sentido, o conjunto 1 apresentou valores menores que os demais para a variância de longo prazo  $(\theta)$ . Nos dois procedimentos (FFT e expansão assintótica), os maiores erros de calibração ocorreram para este conjunto, em parte devido a elevados valores de correlação  $(\rho)$ , limitando a margem para variação de parâmetros e em parte devido à superfície apresentar inflexão. No caso da expansão assintótica, acrescenta-se o fato de estarmos num regime de alta volatilidade de variância  $(\varepsilon)$ , contrariando a hipótese de baixo valor para este parâmetro.

Nos conjuntos 2 (de 21/07/2009) e 3 (de 20/10/2009), observamos valores menores para os parâmetros de volatilidade da variância ( $\varepsilon$ ), velocidade de reversão à média ( $\kappa$ ) e correlação ( $\rho$ ) que aqueles observados no conjunto 1. Contudo,

com exceção do método de expansão assintótica para o segundo conjunto, os dois primeiros parâmetros tiveram comportamento crescente ao longo dos prazos, até 12 a 14 meses, decrescendo novamente em seguida. Num período de menos turbulência, como nestes conjuntos 2 e 3, o mercado apreçava maior estresse nestes prazos.

Em seguida, calculamos preços de opções utilizando o modelo de Heston a pontos fora da amostra de calibração utilizando o método de transformada rápida de Fourier (FFT) e de expansão assintótica. No método de expansão assintótica obtivemos erros em geral superiores àqueles da calibração, enquanto no método FFT, houve pontos cujos erros ficaram abaixo dos erros relativos à calibração.

Adicionalmente, aplicamos o método FFT ao modelo de Black e Scholes. Os erros quadráticos, por não envolver calibração, foram menores, em comparação àqueles obtidos na calibração do modelo de Heston.

Diante destes resultados, podemos sugerir futuros métodos a serem aplicados. Primeiro, com relação à variabilidade dos parâmetros observada, pode-se admitir que os parâmetros de fato variam, mas adotaríamos um processo por pedaços (piecewise), onde cada parâmetro é constante em um intervalo até o vencimento. Neste caso, ao invés de valores iniciais nulos em 3.26 e 3.27, teríamos o final de cada período determinando condições iniciais ao subseqüente. Com relação à utilização do método de expansão assintótica para altos valores de volatilidade da variância ( $\varepsilon$ ), poderíamos utilizar uma expansão sob a hipótese de  $1/\varepsilon$ . Finalmente, o sentido deste trabalho de calibração sobre opções vanillas reside na utilização dos parâmetros calibrados em opções exóticas, tais como opções com barreiras e swaps de volatilidade.

# Capítulo 9

# **Apêndices**

# Apêndice A

Iniciamos este apêndice demonstrando as relações de comutação 5.39 e 5.40. Com respeito à relação 5.39, temos:

$$[D, \mathcal{L}^{(0)}] = D\mathcal{L}^{(0)} - \mathcal{L}^{(0)}D = 0. \tag{9.1}$$

Demonstração:

$$[D, \mathcal{L}^{(0)}] = F \partial_F \mathcal{L}^{(0)} - \mathcal{L}^{(0)}(F \partial_F)$$

$$= F\partial_F [\overset{\checkmark}{\partial_\tau} - \frac{1}{2}\alpha^{-1}(\vartheta - \beta)F^2\partial_{FF}] - [\overset{\checkmark}{\partial_\tau} - \frac{1}{2}\alpha^{-1}(\vartheta - \beta)F^2\partial_{FF}](F\partial_F).$$

Como

$$F\partial_F(F^2\partial_{FF}) = F(2F\partial_{FF} + F^2\partial_{FFF}) = 2F^2\partial_{FF} + F^3\partial_{FFF}$$
 (9.2)

e

$$F^2\partial_{FF}(F\partial_F) = F^2\partial_F[\partial_F(F\partial_F)] = F^2\partial_F(\partial_F + F\partial_{FF}) = F^2\partial_{FF} + F^2\partial_{FF} + F^3\partial_{FFF}$$

$$=2F^2\partial_{FF} + F^3\partial_{FFF},\tag{9.3}$$

então

$$[D, \mathcal{L}^{(0)}] = -\frac{1}{2}\alpha^{-1}(\vartheta - \beta) \left[ F \partial_F (F^2 \partial_{FF}) - F^2 \partial_{FF} (F \partial_F) \right]$$

$$= -\frac{1}{2}\alpha^{-1}D(D-1)\left[2F^{2}\partial_{FF} + F^{3}\partial_{FFF} - \left(2F^{2}\partial_{FF} + F^{3}\partial_{FFF}\right)\right] = 0.$$

cqd.

Com relação à relação 5.40, temos:

$$[\partial_{\vartheta}, \mathcal{L}^{(0)}] = \partial_{\vartheta} \mathcal{L}^{(0)} - \mathcal{L}^{(0)} \partial_{\vartheta} = -\frac{1}{2} \alpha^{-1} D(D-1). \tag{9.4}$$

Demonstração:

$$[\partial_{\vartheta}, \mathcal{L}^{(0)}] = \partial_{\vartheta} \mathcal{L}^{(0)} - \mathcal{L}^{(0)} \partial_{\vartheta}$$

$$= \partial_{\vartheta} \overset{\checkmark}{\partial_{\tau}} - \frac{1}{2} \alpha^{-1} \left\{ \partial_{\vartheta} \left[ (\vartheta - \beta) D(D-1) \right] \right\} - \partial_{\vartheta} \ \partial_{\tau}^{\checkmark} + \frac{1}{2} \alpha^{-1} \left\{ \left[ (\vartheta - \beta) D(D-1) \right] \right\} \partial_{\vartheta}$$

$$= -\frac{1}{2}\alpha^{-1}D(D-1) - \frac{1}{2}\alpha^{-1}(\vartheta - \beta)\partial_{\vartheta} [D(D-1)] + \frac{1}{2}\alpha^{-1} \{ [(\vartheta - \beta)D(D-1)] \} \partial_{\vartheta}.$$

Como as derivadas em F e  $\vartheta$  comutam, temos, no terceiro termo,

$$\frac{1}{2}\alpha^{-1}\left\{\left[(\vartheta-\beta)D(D-1)\right]\right\}\partial_{\vartheta} = \frac{1}{2}\alpha^{-1}(\vartheta-\beta)\partial_{\vartheta}[D(D-1)].$$

Assim,

$$[\partial_{\vartheta}, \mathcal{L}^{(0)}] = -\frac{1}{2}\alpha^{-1}D(D-1) - \frac{1}{2}\alpha^{-1}(\vartheta - \beta)\partial_{\vartheta}\left[D(D-1)\right] + \frac{1}{2}\alpha^{-1}(\vartheta - \beta)\partial_{\vartheta}\left[D(D-1)\right]$$

$$= -\frac{1}{2}\alpha^{-1}D(D-1).$$

cqd.

A seguir demostramos algumas identidades necessárias às deduções apresentadas na seção 5.3, empregando a definição 5.31. A expressão para D(D-1) foi deduzida em 5.35.

•  $D^2(D-1)$ 

Utilizando 5.35:

$$D^{2}(D-1) = D[D(D-1)] = F\partial_{F}(F^{2}\partial_{FF}) = F(2F)\partial_{FF} + F^{3}\partial_{FFF} =$$

$$=2F^2\partial_{FF} + F^3\partial_{FFF} \equiv 2F^2\partial_F^2 + F^3\partial_F^3. \tag{9.5}$$

 $\bullet$  N'(x)

Dada a definição da função acumulada normal, N(x), a derivada com relação ao argumento é dada por:

$$N'(x) = \frac{e^{-x^2/2}}{\sqrt{2\pi}}. (9.6)$$

 $\bullet$  N''(x)

Dada a derivada , N'(x), da função acumulada normal, a segunda derivada com relação ao argumento é dada por:

$$N''(x) = -xN'(x). (9.7)$$

•  $d_+^2$ ,  $d_-d_+^2$  e  $d_-d_+^3$ 

Dadas as definições em 5.106,

$$d_{+}^{2} = (d_{-} + \sqrt{\gamma})^{2} = d_{-}^{2} + 2d_{-}\sqrt{\gamma} + \gamma$$
(9.8)

$$d_{-}d_{+}^{2} = d_{-}(d_{-}^{2} + 2d_{-}\sqrt{\gamma} + \gamma) = d_{-}^{3} + 2d_{-}^{2}\sqrt{\gamma} + \gamma d_{-}$$

$$(9.9)$$

$$d_{-}d_{+}^{3} = d_{-}(d_{-}^{3} + 3d_{-}^{2}\sqrt{\gamma} + 3d_{-}\gamma + \gamma\sqrt{\gamma}). \tag{9.10}$$

•  $\partial_F(d_+)$  e  $\partial_F(d_-)$ 

$$\partial_F(d_+) = \partial_F(d_-) = \frac{1}{F\sqrt{\gamma}}. (9.11)$$

•  $\partial_F N(d_+)$  e  $\partial_F N(d_-)$ 

Inicialmente, notamos que

$$N'(d_{-}) = \frac{F}{K}N'(d_{+}). \tag{9.12}$$

Utilizando a definição 5.106 e 9.11:

$$\partial_F N(d_+) = N'(d_+) \frac{d(d_+)}{dF} = N'(d_+) \frac{1}{F\sqrt{\gamma}}$$
(9.13)

$$\partial_F N(d_-) = N'(d_-) \frac{d(d_-)}{dF} = N'(d_-) \frac{1}{F\sqrt{\gamma}} = N'(d_+) \frac{1}{K\sqrt{\gamma}}, \tag{9.14}$$

onde usamos 9.12.

•  $\partial_F N'(d_+) \in \partial_F^2 N'(d_+)$ 

De 9.11 e 9.7, temos:

$$\partial_F N'(d_+) = \frac{\partial N'(d_+)}{\partial d_+} \frac{\partial d_+}{\partial F} = -d_+ N'(d_+) \frac{1}{F\sqrt{\gamma}}.$$
 (9.15)

Em seguida, empregamos 9.15 e 9.13 para calcular

$$\partial_F^2 N'(d_+) = -\frac{\partial_F(d_+)N'(d_+)}{F\sqrt{\gamma}} - \frac{d_+\partial_F(N'(d_+))}{F\sqrt{\gamma}} + d_+N'(d_+)\frac{1}{F^2\sqrt{\gamma}}$$

$$= -\frac{N'(d_+)}{F^2\gamma} + \frac{d_+^2 N'(d_+)}{F^2\gamma} + d_+N'(d_+)\frac{1}{F^2\sqrt{\gamma}}.$$
(9.16)

•  $\partial_F(d_+d_-)$ 

De 5.107 e 9.11:

$$\partial_{F}(d_{+}d_{-}) = \partial_{F}((d_{+} - \sqrt{\gamma}) d_{-}) = \partial_{F}d_{+}^{2} - \sqrt{\gamma}\partial_{F}d_{+} = 2d_{+}\partial_{F}d_{+} - \sqrt{\gamma}\partial_{F}d_{+} =$$

$$= \frac{2d_{+}}{F\sqrt{\gamma}} - \frac{1}{F}.$$
(9.17)

•  $\partial_F^2(d_+d_-)$ 

De 9.17 e 9.11:

$$\partial_F^2(d_+d_-) = \partial_F(\partial_F(d_+d_-)) = \partial_F(\frac{2d_+}{F\sqrt{\gamma}} - \frac{1}{F})$$

$$= \frac{2\partial_F d_+}{F\sqrt{\gamma}} - \frac{2d_+}{F^2\sqrt{\gamma}} + \frac{1}{F^2} = \frac{2}{F^2\gamma} - \frac{2d_+}{F^2\sqrt{\gamma}} + \frac{1}{F^2}.$$
(9.18)

•  $\partial_F^2(F\partial_F)$ 

$$\partial_F^2(F\partial_F) = \partial_F(\partial_F(F\partial_F)) = \partial_F(\partial_F + F\partial_F^2) = \partial_F^2 + \partial_F^2 + F\partial_F^3 = 2\partial_F^2 + F\partial_F^3.$$
 (9.19)

•  $\partial_F^3(F\partial_F)$ 

De 9.19,

$$\partial_F^3(F\partial_F) = \partial_F(\partial_F^2(F\partial_F)) = \partial_F(2\partial_F^2 + F\partial_F^3) = 2\partial_F^3 + \partial_F^3 + F\partial_F^4 = 3\partial_F^3 + F\partial_F^4. \tag{9.20}$$

•  $D^2(D-1)^2$ 

De 9.5, 9.19 e 9.20:

$$D^{2}(D-1)^{2} = D^{2}(D-1)(D-1)$$

$$= (2F^{2}\partial_{F}^{2} + F^{3}\partial_{F}^{3})(F\partial_{F} - 1)$$

$$= 2F^{2}\partial_{F}^{2}(F\partial_{F}) - 2F^{2}\partial_{F}^{2} + F^{3}\partial_{F}^{3}(F\partial_{F}) - F^{3}\partial_{F}^{3}$$

$$= 2F^{2}(2\partial_{F}^{2} + F\partial_{F}^{3}) - 2F^{2}\partial_{F}^{2} + 3F^{3}\partial_{F}^{3} + F^{4}\partial_{F}^{4} - F^{3}\partial_{F}^{3}$$

$$= 2F^{2}\partial_{F}^{2} + 4F^{3}\partial_{F}^{3} + F^{4}\partial_{F}^{4}. \tag{9.21}$$

•  $D^3(D-1)$ 

$$D^{3}(D-1) = D^{3}D(D-1)$$

$$= F\partial_{F}(F\partial_{F}(F^{2}\partial_{F}^{2}))$$

$$= F\partial_{F}(F(2F\partial_{F}^{2} + F^{2}\partial_{F}^{3})) = F\partial_{F}(2F^{2}\partial_{F}^{2} + F^{3}\partial_{F}^{3}))$$

$$= F(4F\partial_{F}^{2} + 2F^{2}\partial_{F}^{3} + 3F^{2}\partial_{F}^{3} + F^{3}\partial_{F}^{4})$$

$$= 4F^{2}\partial_{F}^{2} + 5F^{3}\partial_{F}^{3} + F^{4}\partial_{F}^{4}. \tag{9.22}$$

 $\bullet$   $D^2$ 

$$D^{2} = F\partial_{F}(F\partial_{F}) = F(\partial_{F} + F\partial_{F}^{2}) = F\partial_{F} + F^{2}\partial_{F}^{2}.$$
 (9.23)

Calculemos  $\partial_F \tilde{C}^{(0)}$ ,  $\partial_F^2 \tilde{C}^{(0)}$ ,  $\partial_F^3 \tilde{C}^{(0)}$  e  $\partial_F^4 \tilde{C}^{(0)}$  a partir de 5.108 e das equações 9.12, 9.13 e 9.14:

•  $\partial_F \tilde{C}^{(0)}$ 

$$\partial_F \tilde{C}^{(0)} = N(d_+) + F \partial_F (N(d_+)) - K \partial_F (N(d_-))$$

$$= N(d_+) + F \partial_F (N(d_+)) - K \partial_F (N(d_-)) = N(d_+). \tag{9.24}$$

•  $\partial_F^2 \tilde{C}^{(0)}$ 

$$\partial_{FF}\tilde{C}^{(0)} = \partial_F(\partial_F\tilde{C}^{(0)}) = \partial_F(N(d_+)) = N'(d_+)\frac{1}{F\sqrt{\gamma}}.$$
 (9.25)

•  $\partial_F^3 \tilde{C}^{(0)}$ 

$$\partial_F^3 \tilde{C}^{(0)} = \partial_F (\partial_F^2 \tilde{C}^{(0)}) = N''(d_+) \left(\frac{1}{F\sqrt{\gamma}}\right)^2 + N'(d_+) \left(-\frac{1}{F^2}\right) \frac{1}{\sqrt{\gamma}}.$$

Devido à 9.7:

$$\partial_F^3 \tilde{C}^{(0)} = -d_+ N'(d_+) \left(\frac{1}{F\sqrt{\gamma}}\right)^2 - N'(d_+) \left(\frac{1}{F^2}\right) \frac{1}{\sqrt{\gamma}}.$$
 (9.26)

•  $\partial_F^4 \tilde{C}^{(0)}$ 

$$\partial_F^4 \tilde{C}^{(0)} = \partial_F (\partial_F^3 \tilde{C}^{(0)}) = -\frac{\partial d_+}{\partial F} N^{'}(d_+) \frac{1}{F^2} \frac{1}{\gamma} + 2d_+ N^{'}(d_+) \frac{1}{F^3} \frac{1}{\gamma} +$$

$$-d_{+}\frac{1}{F^{2}}\frac{1}{\gamma}\left(-d_{+}N^{'}(d_{+})\frac{\partial d_{+}}{\partial F}\right)+d_{+}\frac{N^{'}(d_{+})}{F\sqrt{\gamma}}\frac{1}{F^{2}}\frac{1}{\sqrt{\gamma}}+2N^{'}(d_{+})\frac{1}{F^{3}}\frac{1}{\sqrt{\gamma}}=$$

$$= -\frac{1}{F^3} \frac{1}{\gamma \sqrt{\gamma}} N'(d_+) + 3 \frac{1}{F^3} \frac{1}{\gamma} d_+ N'(d_+) + \frac{d_+^2}{F^3} \frac{1}{\gamma \sqrt{\gamma}} N'(d_+) + 2 \frac{1}{F^3} \frac{1}{\sqrt{\gamma}} N(d_+), \quad (9.27)$$

onde usamos 9.7.

• 
$$D^2(D-1)\tilde{C}^{(0)}$$

Partindo de 9.5 e utilizando 9.25, 9.26 e 5.107:

$$D^{2}(D-1)\tilde{C}^{(0)} = (2F^{2}\partial_{F}^{2} + F^{3}\partial_{F}^{3})\tilde{C}^{(0)}$$

$$= 2F^{2}N'(d_{+})\frac{1}{F\sqrt{\gamma}} - F^{3}d_{+}N'(d_{+})\left(\frac{1}{F\sqrt{\gamma}}\right)^{2} - F^{3}N'(d_{+})\left(\frac{1}{F^{2}}\right)\frac{1}{\sqrt{\gamma}}$$

$$= FN'(d_{+})\frac{1}{\sqrt{\gamma}} - d_{+}N'(d_{+})\frac{F}{\sqrt{\gamma}} = N'(d_{+})\frac{F}{\gamma}(\sqrt{\gamma} - d_{+})$$

$$= -N'(d_{+})\frac{F}{\gamma}d_{-} = -N'(d_{-})\frac{K}{\gamma}d_{-}. \tag{9.28}$$

• 
$$D^2(D-1)^2\tilde{C}^{(0)}$$

Aplicamos 9.21 à  $\tilde{C}^{(0)}$ , tendo em vista 9.25, 9.26 e 9.27. Em seguida, utilizamos as relações 5.107 e 9.8 para agrupar os termos.

$$D^{2}(D-1)^{2}\tilde{C}^{(0)} = (2F^{2}\partial_{F}^{2} + 4F^{3}\partial_{F}^{3} + F^{4}\partial_{F}^{4})\tilde{C}^{(0)} =$$

$$= \frac{F}{\gamma\sqrt{\gamma}}N'(d_{+})(d_{-}d_{+} - 1) \equiv \Lambda. \tag{9.29}$$

• 
$$D^3(D-1)\tilde{C}^{(0)}$$

Da mesma forma que procedemos para chegar a 9.29, aplicamos 9.22 à  $\tilde{C}^{(0)}\colon$ 

$$D^{3}(D-1)\tilde{C}^{(0)} = (4F^{2}\partial_{F}^{2} + 5F^{3}\partial_{F}^{3} + F^{4}\partial_{F}^{4})\tilde{C}^{(0)} =$$

$$= -\frac{F}{\gamma\sqrt{\gamma}}N'(d_{+})\left(1 - d_{-}^{2}\right). \tag{9.30}$$

• 
$$D^4(D-1)^2\tilde{C}^{(0)}$$

De 9.29 e 9.23, temos:

$$D^{4}(D-1)^{2}\tilde{C}^{(0)} = D^{2}(D^{2}(D-1)^{2}\tilde{C}^{(0)}) = D^{2}(\frac{F}{\gamma\sqrt{\gamma}}N'(d_{+})(d_{-}d_{+}-1)) = D^{2}(\Lambda)$$
$$= F\partial_{F}(\Lambda) + F^{2}\partial_{F}^{2}(\Lambda). \tag{9.31}$$

Calculemos cada um dos termos desta equação:

$$\partial_{F}(\Lambda) = \frac{F}{\gamma \sqrt{\gamma}} (\partial_{F} N'(d_{+})) (d_{-}d_{+} - 1) + \frac{1}{\gamma \sqrt{\gamma}} N'(d_{+}) (d_{-}d_{+} - 1) + \frac{F}{\gamma \sqrt{\gamma}} N'(d_{+}) \partial_{F} (d_{-}d_{+}).$$

De 9.17 e 9.15:

$$\begin{split} \partial_F(\Lambda) &= \frac{F}{\gamma\sqrt{\gamma}} (-d_+ N'(d_+) \frac{1}{F\sqrt{\gamma}}) \left( d_- d_+ - 1 \right) + \frac{1}{\gamma\sqrt{\gamma}} N'(d_+) \left( d_- d_+ - 1 \right) + \\ &\quad + \frac{F}{\gamma\sqrt{\gamma}} N'(d_+) \left( \frac{2d_+}{F\sqrt{\gamma}} - \frac{1}{F} \right) = \\ &= \frac{d_+}{\gamma^2} N'(d_+) - \frac{d_+ (d_- d_+)}{\gamma^2} N'(d_+) - \frac{1}{\gamma\sqrt{\gamma}} N'(d_+) + \frac{(d_- d_+)}{\gamma\sqrt{\gamma}} N'(d_+) + \\ &\quad + \frac{2d_+}{\gamma^2} N'(d_+) - \frac{1}{\gamma\sqrt{\gamma}} N'(d_+) = \end{split}$$

$$= 3\frac{d_{+}}{\gamma^{2}}N'(d_{+}) - \frac{d_{+}(d_{-}d_{+})}{\gamma^{2}}N'(d_{+}) - 2\frac{1}{\gamma\sqrt{\gamma}}N'(d_{+}) + \frac{(d_{-}d_{+})}{\gamma\sqrt{\gamma}}N'(d_{+}). \tag{9.32}$$

$$\partial_{F}^{2}(\Lambda) = \partial_{F}(\partial_{F}(\Lambda)) =$$

$$= \partial_{F}\left[\frac{F}{\gamma\sqrt{\gamma}}(\partial_{F}N'(d_{+}))(d_{-}d_{+} - 1) + \frac{1}{\gamma\sqrt{\gamma}}N'(d_{+})(d_{-}d_{+} - 1) + \frac{F}{\gamma\sqrt{\gamma}}N'(d_{+})\partial_{F}(d_{-}d_{+})\right] =$$

$$= \frac{F}{\gamma\sqrt{\gamma}}(\partial_{F}^{2}N'(d_{+}))(d_{-}d_{+} - 1) + \frac{1}{\gamma\sqrt{\gamma}}(\partial_{F}N'(d_{+}))(d_{-}d_{+} - 1) +$$

$$+ \frac{F}{\gamma\sqrt{\gamma}}(\partial_{F}N'(d_{+}))\partial_{F}(d_{-}d_{+}) + \frac{1}{\gamma\sqrt{\gamma}}\partial_{F}(N'(d_{+}))(d_{-}d_{+} - 1) +$$

$$+ \frac{1}{\gamma\sqrt{\gamma}}N'(d_{+})\partial_{F}(d_{-}d_{+}) + \frac{F}{\gamma\sqrt{\gamma}}N'(d_{+})\partial_{F}(d_{-}d_{+}) +$$

$$+ \frac{F}{\gamma\sqrt{\gamma}}\partial_{F}(N'(d_{+}))\partial_{F}(d_{-}d_{+}) + \frac{F}{\gamma\sqrt{\gamma}}N'(d_{+})\partial_{F}^{2}(d_{-}d_{+}) .$$

Utilizamos 9.18, 9.17, 9.15 e 9.16, resultando em:

$$\partial_F^2(\Lambda) = -5\frac{d_+^2 N'(d_+)}{F\gamma^2 \sqrt{\gamma}} - \frac{(d_- d_+) N'(d_+)}{F\gamma^2 \sqrt{\gamma}} + \frac{d_+^2 N'(d_+)(d_- d_+)}{F\gamma^2 \sqrt{\gamma}} + \frac{3\frac{N'(d_+)}{F\gamma^2 \sqrt{\gamma}}}{F\gamma^2 \sqrt{\gamma}} + 5\frac{d_+ N'(d_+)}{F\gamma^2} - \frac{d_- d_+^2 N'(d_+)}{F\gamma^2} - \frac{-\frac{N'(d_+)}{F\gamma\sqrt{\gamma}}}{F\gamma\sqrt{\gamma}}.$$
(9.33)

Voltamos à equação 9.31. Usamos 9.33 e 9.32 e, para simplificar termos, empregamos 9.10, 9.9, 9.12 e 5.107, de forma que podemos finalmente escrever:

$$D^{4}(D-1)^{2}\tilde{C}^{(0)} = \frac{N'(d_{-})K}{\gamma^{2}\sqrt{\gamma}} \left[ 3 - 3d_{-}^{2} - 3d_{-}d_{+} + d_{-}^{3}d_{+} \right]. \tag{9.34}$$

## Apêndice B

Nesta seção apresentamos a demonstração da relação 6.13:

$$f(U) = f(K) + f'(K)[(U - K)^{+} - (K - U)^{+}] +$$

$$\int_{K}^{\infty} f''(z)(U - z)^{+} dz + \int_{0}^{K} f''(z)(z - U)^{+} dz.$$

### Demonstração

Do teorema fundamental do cálculo:

$$f(S) = f(K) + 1_{S>K} \int_{K}^{S} f'(u)du - 1_{S

$$= f(K) + 1_{S>K} \int_{K}^{S} \left[ f'(K) + \int_{K}^{u} f''(v)dv \right] du - 1_{S
(9.35)$$$$

Aplicando Fubini:

$$f(S) = f(K) + 1_{S>K} f'(K)(S - K) + 1_{S>K} \int_{K}^{S} \left[ \int_{K}^{u} f''(v) dv \right] du$$

$$-1_{S

$$= f(K) + f'(K) \left[ (S - K)^{+} - (K - S)^{+} \right] + 1_{S>K} \int_{K}^{S} \left[ \int_{K}^{u} f''(v) dv \right] du$$

$$+1_{S$$$$

Mudança de ordem de integração:

$$\int_{K}^{S} \left[ \int_{K}^{u} (.) dv \right] du = \int_{K}^{S} \left[ \int_{v}^{S} (.) du \right] dv \tag{9.37}$$

$$\int_{S}^{K} \left[ \int_{u}^{K} (.) dv \right] du = \int_{S}^{K} \left[ \int_{S}^{v} (.) du \right] dv. \tag{9.38}$$

Então,

$$f(S) = f(K) + f'(K) \left[ (S - K)^{+} - (K - S)^{+} \right] + 1_{S > K} \int_{K}^{S} \left[ \int_{v}^{S} f''(v) du \right] dv$$

$$+ 1_{S < K} \int_{S}^{K} \left[ \int_{S}^{v} f''(v) du \right] dv. \tag{9.39}$$

Integrando em u:

$$f(S) = f(K) + f'(K) \left[ (S - K)^{+} - (K - S)^{+} \right] + 1_{S > K} \int_{K}^{S} f''(v)(S - v) dv$$
$$+ 1_{S < K} \int_{S}^{K} f''(v)(v - S) dv. \tag{9.40}$$

Reescrevemos as integrais da seguinte forma:

$$f(S) = f(K) + f'(K) \left[ (S - K)^{+} - (K - S)^{+} \right] + \int_{K}^{\infty} f''(v)(S - v)^{+} dv$$
$$+ \int_{0}^{K} f''(v)(v - S)^{+} dv. \tag{9.41}$$

Na primeira integral, v pode variar de K até  $\infty$ , pois o integrando automaticamente zera quando v>S. Analogamente, na segunda integral, v pode

variar de 0 até K, pois o integrando também zera quando v < S..

## Apêndice C

A seguir definimos processos *affine*, a partir de Singleton [Singleton, 2001] e Duffie *et al.* [Duffie et al, 2000].

Suponha que há um processo de Markov  $Y_t$  em um subconjunto D de  $\mathbb{R}^{\mathbb{N}}$  satisfazendo a equação diferencial estocástica

$$dY_t = \mu(Y_t, t)dt + \sigma(Y_t, t)dW_t, \tag{9.42}$$

onde  $\mu:D\to\mathbb{R}^{\mathbb{N}}$  e  $\sigma:D\to\mathbb{R}^{\mathbb{NXN}}$ . A difusão  $Y_t$  é "affine" se

$$\mu(y) = \theta + \kappa y \tag{9.43}$$

$$\sigma(y)\sigma(y') = h + \sum_{j=1}^{N} y_j H^{(j)},$$
 (9.44)

onde  $\theta$  é N X 1,  $\kappa$  é N X N e h e  $H^{(j)}$  são N X N e simétricos. A função característica do processo  $Y_T$  condicionada à informação presente e passada é dada por

$$\phi_t(\tau, u) = E[e^{iu'Y_T}|Y_t], \qquad u \in \mathbb{R}^{\mathbb{N}},$$

com  $\tau = T - t$ . Duffie et al. [Duffie et al, 2000] provam que para um processo affine, a função característica tem a forma:

$$\phi_t(\tau, u) = e^{\alpha_t(u) + \beta_t'(u)Y_t}, \qquad (9.45)$$

onde  $\alpha$  e  $\beta$  satisfazem equações de Riccati:

$$\dot{\beta}(t) = -\kappa' \beta_t - \frac{1}{2} \beta_t H \beta_t \tag{9.46}$$

$$\dot{\alpha}(t) = -\theta'\beta_t - \frac{1}{2}\beta_t h\beta_t, \qquad (9.47)$$

sujeitos a  $\beta_T(u) = 0$  e  $\alpha_T(u) = 0$ .

# Referências Bibliográficas

- [Black e Scholes,1973] Black, F. & Scholes, M. (1973). 'The Pricing of Options and Corporate Liabilities', Journal of Political Economy 81 (3): 637–654.
- [Bakshi et al. 1997] Bakshi, G, Cao C., Chen Z. (1997). 'Empirical performance of alternative option pricing models', *Journal of Finance* **52**, 2003-2049.
- [Bates, 1996] Bates, D. (1996), 'Jumps and Stochastic Volatility: Exchange Rate Processes Implicit in Deutschemark Options', Review of Financial Studies 9, 69-108.
- [Björk, 2004] Björk, T. (2004), 'Arbitrage Theory in Continuous Time', second edition, Oxford University Press, Oxford.
- [Carr e Madan, 1999] Carr, P., Madan, D. B. (1999), 'Option Valuation Using the Fast Fourier Transform', Journal of Computational Finance 2, 61-73.
- [Caticha et al. 2005] Caticha, N., Leite, V., Toledo, C., Vicente, R. (2005), 'Underlying Dynamics of Typical Fluctuations of an Emerging Market Price Index: The Heston Model from Minutes to Months', arXiv:physics/0506101v1 [physics.soc-ph], http://arxiv.org/PS\_cache/physics/pdf/0506/0506101v1.pdf
- [Cox e Ross, 1975] Cox, J., Ross, S. (1975), 'The Pricing of Options for Jump Processes', Working Paper no. 2-75, Rodney L. Center for Financial Research, University of Pennsylvania, April 1975.
- [Cunha e Lemgruber, 2003] Cunha, D., Lemgruber, E. F. (2002), 'Opções de Dólar no Brasil com Taxas de Juro e

- de Cupom Estocásticos', Working Paper, Risktech. http://www.risktech.com.br/Artigos/ArtigosCient%C3%ADficos.asp
- [Demeterfi et al, 1999] Demeterfi, K., Derman, E., Kamal, M., Zou, J. (1999), 'More Than You Ever Wanted to Know About Volatility Swaps', Quantitative Strategies Research Notes. Goldman Sachs.
- [Duffie et al, 2000] Due, D., Pan, J., Singleton, K. (2000). 'Transform Analysis and Asset Pricing for Affine Jump-Diffusions'. *Econometrica* **68**, 1343-1376.
- [Dupire, 1994] Dupire, B. (1994), 'Pricing with a Smile', Risk 7 (1), 18-20.
- [Fouque et al., 2000] Fouque, J.P., Papanicolau, G., Sircar, K. (2000), *Derivatives* in Financial Markets with Stochastic Volatility, first edition, Cambridge University Press, New York, NY.
- [Fouque e Lorig, 2009] Fouque, (2009), $^{\prime}A$ J., Lorig, Μ. Fast Mean-Reverting Correction to Heston's Stochastic Volatility Model', Apresentação WCMF 2009. na http://www.pstat.ucsb.edu/WCMF/slides/LorigWCMF.pdf
- [Garman e Kohlhagen, 1983]
- [Heston, 1993] Heston, S. L. (1993), 'A Closed-Form Solution for Options with Stochastic Volatility with Applications to Bond and Currency Options', The Review of Financial Studies 6 (2), 327-343.
- [Hull e White, 1987] Hull, J., White, A. (1987), 'The Pricing of Options on Assets with Stochastic Volatilities', *Journal of Finance* **42**, 281-300.
- [Hull e White, 1988] Hull, J., White, A. (1988), 'An Analysis of the Bias in Option Pricing Caused by a Stochastic Volatility', Advances in Futures and Options Research 3, 29-61.
- [Hull, 1993] Hull, J. (1993), Options, Futures, and Others Derivatives, second edition, Prentice-Hall, Inc., Englewood Cliffs, New Jersey.
- [Lipton, 2001] Lipton, A. (2001), Mathematical Methods for Foreign Exchange, first edition, World Scientific Publishing Co., Singapore.
- [Merton, 1973] Merton, R. (1973), 'The Theory of rational Option Pricing', Bell Journal of Economics and Management Science 4 (1), 141–183.

- [Merton, 1976] Merton, R. (1976), 'Option Pricing when Underlying Stock Returns are Discontinuous', Journal of Financial Economics 3 (1-2), 125-144.
- [Mikosch, 1998] Mikosch, T. (1998), Elementary Stochastic Calculus with Finance in View, first edition, World Scientific Publishing Co., River Edge, New Jersey.
- [Nobrega, 2003] Nobrega, M. (2003), 'Derivativos de Câmbio: Implementação do Modelo de Heston para o Mercado Brasileiro', Dissertação de Mestrado em Modelagem Matemática em Finanças - FEA/IME - USP.
- [Press et al, 1992] Flannery, B.P., Press, W.H., Teukolsky, S.A., Vetterling, W. T. (1992), Numerical Recepies in C: the art of scientific computing, second edition, Cambridge University Press, Cambridge. http://www.nrbook.com/a/bookcpdf.php.
- [Rubinstein, 1994] Rubinstein, M. (1994), 'Implied Binomial Trees', Journal of Finance 69 (3), 771-818.
- [Singleton, 2001] Singleton, K. (2001), 'Estimation of Affine Asset Pricing Models
  Using the Empirical Characteristic Function', Stanford University
  working paper e NBER.
- [Stein e Stein, 1991] Stein, E. M., Stein J. C. (1991), 'Stock Price Distributions with Stochastic Volatility: An Analytical Approach', Review of Financial Studies 4, 727-752
- [Wilmott, 1998] Wilmott, P. (1998), Derivatives: The Theory and Practice of Financial Engineering, first edition, John Wiley & Sons Ltd., Chichester.